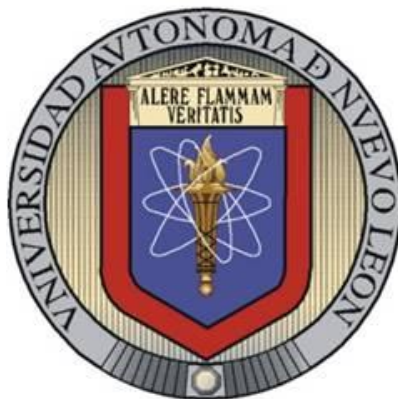


UNIVERSIDAD AUTÓNOMA DE NUEVO LEÓN

FACULTAD DE MEDICINA



EL ONCOGEN WNT1 Y LA EXPRESIÓN DE LAS PROTEÍNAS AUF1 EN CÉLULAS PC12

Por

M.C. IVAN ALBERTO MARINO MARTÍNEZ

Como requisito parcial para obtener el Grado de DOCTOR EN CIENCIAS
con Especialidad en Biología Molecular e Ingeniería Genética

Agosto, 2009

ÍNDICE

	Pag.
Índice	
Lista de Figuras	
Lista de tablas	
Abreviaturas	
Resumen	
Capítulo I. Introducción	1
1.1 Introducción general	1
1.2 Vía de señalización Wnt	2
1.3 Vía de señalización wnt/ β-catenina y cáncer	3
1.4 Degradación de ARNm mediado por elementos ricos en A y U	4
1.5 Los miembros de la familia AUF1	5
1.6 Mecanismos de regulación de la función de AUF1	6
Capítulo II. Objetivos	8
2.1 Objetivo general	8
2.1.1 Objetivos particulares	8
Capítulo III. Materiales y Métodos	9
3.1 Área de trabajo	9
3.2 Reactivos	9
3.3 Equipo	10
3.4 Ácidos nucléicos	11
3.4.1 Oligonucleótidos	11
3.4.2 Vectores	12
3.4.2.1 Vector pGEM-T Easy	12
3.4.2.2 Vector pCDNA3-Myc	13
3.4.2.3 Vectores pGEX-4T-AUF1	13
3.4.2.4 Vector pSG5-HA	15
3.4.2.5 Vectores pSG5-HA-rAUF1	15
3.4.2.6 Vectores pCMV-Myc-rAUF1	17
3.5 Modelo celular	18
3.5.1 Línea celular PC12	18
3.5.2 Línea celular PC12/Wnt1+	18
3.5.3 Línea celular PC12/HB+	18
3.5.4 Línea celular PC12/HB-	18

	Pag.
3.6 Metodología	19
3.6.1 Estrategia para la construcción de los vectores pSG5-HA-p37rAUF1, pSG5-HA-p40rAUF1 y pSG5-HA-p42rAUF1	19
3.6.2 Estrategia para la construcción de los vectores pCMV-Myc-AUF1	20
3.6.3 Estrategia para la construcción de los vectores pGEX4T-1-AUF1	21
3.6.3.1 Inducción de pGEX4T-1-p45rAUF1, pGEX4T-1-p37hAUF1, pGEX4T-1-p45hAUF1 y pGEX4T-1	22
3.6.4 Validación de los anticuerpos T10, G10 y AB995	23
3.6.5 Aislamiento de ARN total	24
3.6.6 Síntesis del ADNc a partir del ARN total	24
3.6.7 Obtención de los extractos proteicos	24
3.6.8 Amplificación del marco de lectura completo de AUF1, a partir de ADNc de células PC12 y de las secuencias clonadas en los vectores pSG5HA-rAUF1.	25
3.6.9 Análisis del efecto de la expresión de Wnt1 sobre la distribución núcleo-citoplasma de AUF1 mediante Western Blot,	27
Capítulo IV. Resultados	28
4.1 Construcción de los vectores pSG5-HA-p37rAUF1, pSG5-HA-p40rAUF1 y pSG5-HA-p42rAUF1	28
4.2 Construcción de los vectores pCMV-Myc-AUF1	29
4.3 Construcción de los vectores pGEX4T-1-rAUF1	30
4.3.1 Producción de GST-AUF1 en <i>E. coli</i> Top10F'	31
4.4 Validación de la funcionalidad de anticuerpos Anti-AUF1	32
4.5 Validación del modelo celular	34
4.6 El elevado contenido de G y C en la secuencia de los exones 1 y 2 del marco de lectura de AUF1 provoca delecciones que se generan durante la amplificación por PCR	34
4.7 Las proteínas AUF1 se expresan en bajos niveles en las líneas celulares PC12	36
Capítulo V. Discusión y conclusiones	38
5.1 Origen de las secuencias "aberrantes"	39
5.2 Las proteínas de AUF1 se expresan en bajos niveles en células PC12 y aparentemente no sufren cambios en su distribución núcleo-citoplasma por la activación constitutiva de la vía clásica de Wnt	41
Anexo I	
Anexo II	
Referencias bibliográficas	

LISTA DE FIGURAS

	Pag.
Figura 1. Vía de señalización clásica de Wnt.	3
Figura 2. Degradación de ARNm mediada por ARE's.	5
Figura 3. Representación esquemática de las isoformas de AUF1.	6
Figura 4. Mapa del vector T, pGEM-T Easy.	12
Figura 5. Vector pcDNA3-Myc.	13
Figura 6. Vectores pGEX-4T-AUF1.	14
Figura 7. Vector de expresión procariota pSG5-HA.	15
Figura 8. Vectores pSG5-HA-rAUF1.	16
Figura 9. Mapa de las construcciones pCMV-Myc-rAUF1.	17
Figura 10. Líneas celulares PC12, PC12-Wnt1+, PC12-HB+ y PC12-HB-.	19
Figura 11. Estrategias para generar los vectores pSG5-HA-p37rAUF1, pSG5-HA-p40rAUF1 y pSG5-HA-p42rAUF1.	20
Figura 12. Estrategia para construir los vectores pCMV-Myc-rAUF1.	21
Figura 13. Estrategia para la construcción de los vectores pGEX4T-AUF1.	22
Figura 14. Construcción de pSG5-HA-p37rAUF1.	28
Figura 15. Construcción de los vectores pSG5HA-p40rAUF1 y pSG5HA-p42rAUF1.	29
Figura 16. Generación de los vectores pCMV-Myc-AUF1.	30
Figura 17. Construcción de los vectores PGX4T1-AUF1.	31
Figura 18. Producción de GST, GST-p45rAUF1, GST-p37hAUF1 y GST-p45hAUF1 en <i>E. coli</i> Top10F'.	32
Figura 19. Validación de la funcionalidad de anticuerpos Anti-AUF1.	33
Figura 20. Expresión de wnt1 en células PC12.	34
Figura 21. Representación esquemática del contenido de GC en el marco de lectura de AUF1.	35
Figura 22. Las secuencias aberrantes de AUF1 corresponden a artefactos generados durante la PCR.	35
Figura 23. Secuencias ricas GC en el ORF de AUF1 genera errores durante la PCR.	36
Figura 24. Electroforesis en geles de poliacrilamida al 12%, de extractos citoplásmicos (20μg) y nucleares (5μg).	37
Figura 25. Western Blot contra AUF1 en compartimentos citoplásmicos y nucleares.	37
Figura 26. Modelo que explica la formación de secuencias "aberrantes" durante la amplificación del marco de lectura de AUF1.	40

LISTA DE TABLAS

	Pag.
Tabla I. Lista de oligonucleótidos.	11
Tabla II. Valores de DO ₆₀₀ de las muestras de inducción de p45rAUF1, p37hAUF1 y p45hAUF1 y cálculo de volúmenes equivalentes.	23

ABREVIATURAS

TERMINO	SIGNIFICADO
ORF	Marco de lectura abierto (Open Reading Frame)
ADN	Acido desoxirribonucleico
ADNc	Acido desoxirribonucleico codificante
ARN	Acido Ribonucleico
ARNm	Acido Ribonucleico mensajero
ARE	Elemento rico en Adeninas y Uracilos (A+U-Rich Element)
N-terminal	Extremo amino-terminal de una proteína
C-terminal	Extremo Carboxilo-terminal de una proteína
ARE	Elemento Rico en A y U (AU-rich element)
ABP	Proteína de unión a AREs (ARE's Binding Protein)
RT-PCR	Retro transcripción – Reacción en cadena de la polimerasa
PCR	Reacción en cadena de la polimerasa
H₂O NF	Agua libre de nucleasas (Water Nuclease Free)
Pb	Pares de Bases

CAPÍTULO I

INTRODUCCIÓN

1.1 Introducción general

El control de la expresión génica se da a nivel de transcripción y post-transcripción, a través de una serie de mecanismos diferentes. El equilibrio entre los mecanismos de síntesis y degradación del ARNm es el responsable del patrón final de expresión de un gen. A nivel post-transcripcional, pasos como la poliadenilación, el procesamiento, transporte al citoplasma y degradación de ARNm surgen como pasos clave en el control de la expresión. Dado que un ARNm puede ser traducido por los ribosomas en repetidas ocasiones antes de ser degradado en el citoplasma, los mecanismos que determinan su tiempo de vida media ($t_{1/2}$) juegan un rol importante en mantener niveles controlados de expresión.

Uno de los mecanismos que determinan el tiempo de vida media del ARNm es la denominada “Vía de “degradación de ARNm mediada por elementos ricos en Adeninas y Uracilos” (AMD por sus siglas en inglés). Los elementos ricos en A y U (ARE por sus siglas en inglés) son secuencias que se caracterizan por presentar repeticiones continuas o dispersas del pentanucleótido “AUUUA” dentro de su región 3’ no traducible (3’UTR) y actúan como elementos en *Cis* a los cuales se unen proteínas específicas. Las denominadas “proteínas de unión a ARE” (ABP) como KSRP, TTP, BRF1, HuR y AUF1 son elementos que actúan en *Trans*, que se unen a secuencias ARE modulando diferencialmente la estabilidad de ARN mensajeros que contienen secuencias ARE en su región 3’UTR. Mientras que la unión de HuR a secuencias ARE se relaciona con un aumento en la estabilidad del ARNm, la unión de KSRP, TTP y BRF1 se asocia con una disminución en la estabilidad del ARNm. En el caso de AUF1 algunos autores reportan que su unión a ARE, tiene un efecto dual sobre la estabilidad del ARNm y que depende del contexto celular, del perfil de expresión de AUF1 y de la presencia de secuencias determinantes en su región 3’UTR. (1-7)

Citocinas y oncoproteínas de la familia de los conocidos como “genes de respuesta temprana” se expresan en respuesta a estímulos extracelulares y su ARNm que normalmente es altamente lábil se estabiliza transitoriamente permitiéndoles alcanzar niveles elevados estables en un corto tiempo. Una característica común que comparten los ARN mensajeros de vida corta es que contienen elementos ARE en su región 3’UTR. La elevada actividad transcripcional que presentan los “Genes de respuesta temprana” después del estímulo extracelular se complementa con la estabilización transitoria de su ARNm a través de modular la expresión, distribución núcleo-citoplasma y modificaciones postraduccionales de las proteínas de unión a ARE (ABP).

Briata y cols. (2003) reportaron que la activación de la vía canónica de Wnt/ β -catenina modificaba los niveles citoplasmáticos de las ABP, favoreciendo la presencia de HuR sobre los niveles de KSRP, TTP y BRF1. El efecto obtenido era la estabilización de ARN mensajeros que poseían secuencias ARE en su región 3'UTR. (8)

Gherzi y cols. (2007) reportaron que el ARNm del principal efector de la vía canónica de Wnt, la β -catenina, posee un elemento desestabilizador en su región 3'UTR y que el principal determinante de la estabilidad de β -catenina es KSRP. El ARNm de β -catenina es estabilizado cuando se activa la vía canónica de Wnt y la vía de PI3K-AKT. Bajo estas circunstancias, KSRP es fosforilado por AKT en un único residuo de serina, favoreciendo su interacción con la proteína adaptadora 14-3-3, impidiendo la interacción entre KSRP y el exosoma (9,10). De manera interesante, la proteína 14-3-3 sigma es además una proteína que une a AUF1 y dicha unión facilita el transporte de AUF1, favoreciendo la degradación de ARNm en el citoplasma (11). En este trabajo pretendimos dilucidar el posible efecto de la activación de la vía de señalización canónica de Wnt sobre la expresión y localización subcelular de las proteínas AUF1.

1.2 Vía de señalización Wnt

Los miembros de la familia de proteínas Wnt, son un grupo de glicoproteínas, las cuales activan diferencialmente tres vías independientes: la vía canónica de Wnt/ β -catenina, la vía de Wnt dependiente de Ca^{2+} y la vía de polaridad celular planar.

La vía canónica de Wnt/ β -catenina (**Figura 1**) es activada solo por algunos de los miembros de la familia wnt como lo es Wnt1. La unión de Wnt a su receptor transmembranal Frizzled (FzI) activa la vía clásica de Wnt a través de la inactivación de un complejo formado por GSK3beta, APC y Axina, el cual es responsable de la fosforilación de β -catenina para su destrucción vía proteosoma en el citoplasma. La unión extracelular de wnt a su receptor frizzled provoca la inhibición de GSK3beta lo que impide la fosforilación de β -catenina y genera su acumulación en citoplasma y su posterior traslocación al núcleo en donde β -catenina interactúa con miembros de la familia de factores de transcripción Tcf/Lef (T cell factor/ Lymphoid enhancer factor). El complejo transcripcional entre β -catenina -Tcf/Lef dirige la transcripción de genes específicos cuyos promotores presentan sitios que responden al complejo transcripcional. Genes blanco de la vía clásica Wnt como c-myc, c-fos y ciclina-D1, son bien reconocidos por su participación en procesos como la proliferación celular y control del ciclo celular. (12-16)

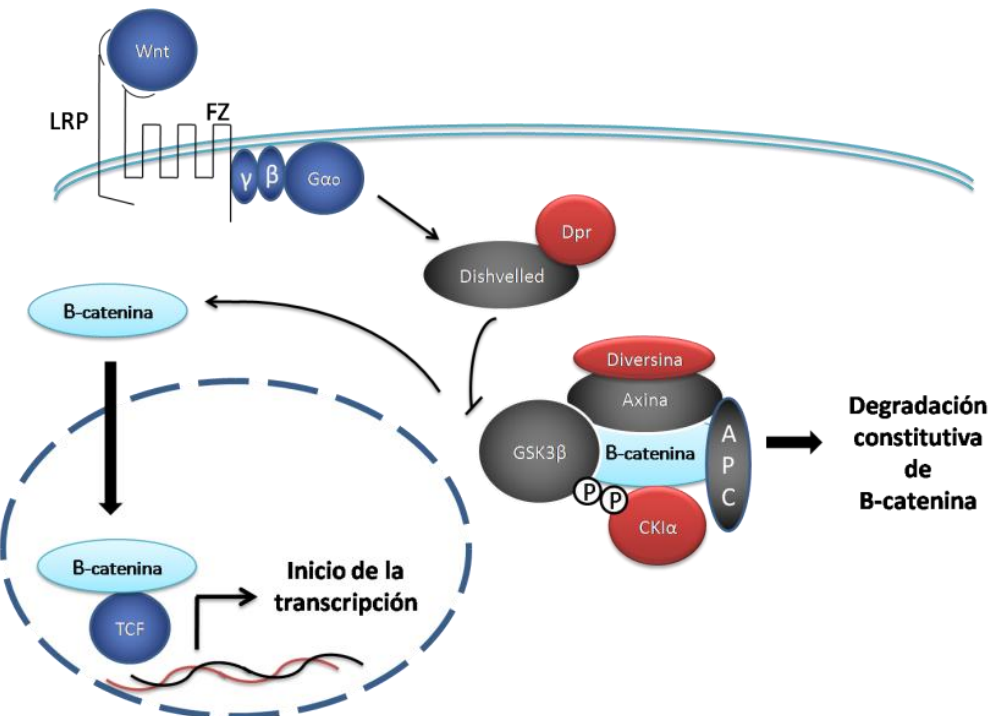


Figura 1. Vía de señalización clásica de Wnt. (Adaptada de <http://www.stanford.edu/~rnusse/wntwindow.html>) La activación de la vía por la unión de Wnt a su receptor transmembranal Frizled, inactiva a GSK3B a través de Dishvelled. Esto impide la fosforilación de β -catenina y su degradación vía proteosoma. La β -catenina es transportada al núcleo para interaccionar con factores de transcripción TCF/LEF dirigiendo la expresión de diversos blancos transcripcionales.

1.3 Vía de señalización wnt/ β -catenina y cáncer.

La regulación de la vía de señalización clásica de Wnt, cobra importancia por la relevancia de sus blancos transcripcionales. El control de la vía se da a través de la participación de diversos elementos, los cuales ejercen una función determinada en el control de la activación de la vía clásica de Wnt.

APC es uno de los componentes de la vía clásica Wnt más estudiados por su participación en la poliposis adenomatosa familiar, un padecimiento caracterizado por el desarrollo de múltiples pólipos en el colon. APC participa en la conformación de un complejo multiproteico responsable de la degradación en el citoplasma, de la proteína β -catenina. Se sabe que diferentes mutaciones en APC generan diferentes grados de activación de la vía clásica de Wnt y diferentes grados de susceptibilidad a desarrollar tumores. En general se considera que la pérdida de función de APC provoca una acumulación de β -catenina en el citoplasma y su traslocación al núcleo para dirigir la expresión de los blancos propios de la vía clásica Wnt (17,18).

No obstante que la activación constitutiva de la vía clásica de Wnt ha sido identificada como una de las razones de desarrollo de adenomas, se sabe también de su participación en la fisiología normal del intestino. La inhibición completa de la vía clásica de Wnt por expresión constitutiva del inhibidor Dickkopf1 (Dkk-1) resulta en la pérdida de la proliferación celular en el intestino fetal y adulto (19-21).

La β -catenina es considerada el efecto final de la vía clásica de Wnt. En condiciones normales β -catenina se une a APC, Axina1 o Axina2 y a GSK3B la cual fosforila residuos específicos de serina y treonina en la región N-terminal. La β -catenina fosforilada es dirigida a degradación vía proteosoma.

Después de la interacción extracelular de Wnt y su receptor transmembranal, GSK3B es inactivada y β -catenina se estabiliza, lo cual lleva a una acumulación en el citoplasma y su traslocación al núcleo donde interacciona con factores de transcripción de la familia TCF (22,23)

Mutaciones en los sitios de fosforilación en la región N-terminal de β -catenina, resulta en la estabilización de β -catenina. Niveles elevados de β -catenina han sido identificados en tumores humanos y líneas celulares. Niveles de β -catenina elevados correlacionan con un mal pronóstico de adenocarcinoma humano de glándula mamaria (24).

1.4 Degradación de ARNm mediado por elementos ricos en A y U

La vía de “degradación de ARNm mediada por secuencias ARE” (AMD) es uno de los mecanismos del metabolismo de ARN, más ampliamente estudiados. Es responsable de la degradación de ARN mensajeros con tiempos de vida media ($t_{1/2}$) muy cortos y que requieren de una regulación estricta, como citocinas y oncogenes. El mecanismo de AMD depende de la conjunción de tres eventos: 1) la presencia de secuencias ARE en la región 3'UTR del ARNm, 2) la unión de una proteína desestabilizadora a secuencias ARE (KSRP, AUF1 y TTP) y 3) el reclutamiento del exosoma (25).

La clasificación de las secuencias ARE, permite identificar tres tipos diferentes. Los ARE tipo I constan de múltiples repeticiones continuas del pentanucleótido “AUUUA” dentro de la región 3'UTR, los ARE tipo II son 2 o 3 repeticiones dispersas del pentanucleótido “AUUUA” en la región 3'UTR y los ARE tipo III que son regiones ricas en uracilos (8).

Una vez que el exosoma es reclutado por el complejo ARE/ARE-BP se desencadenan tres acontecimientos principales: i) el acortamiento rápido de la cola de poli A, ii) La remoción del CAP en el extremo 5' del ARNm y iii) la degradación en el sentido 3'-5' por el exosoma .(25,26) (**Figura 2**)

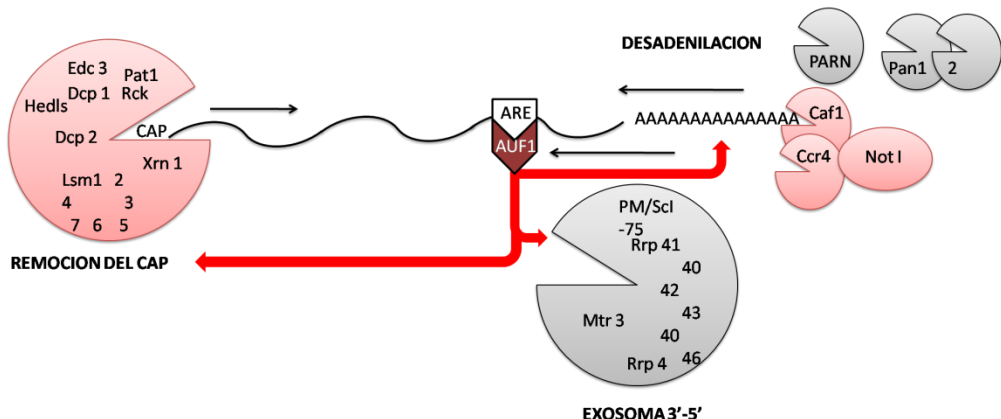


Figura 2. Degradación de ARNm mediada por ARE's. (Adaptada de <http://www.dkfz-heidelberg.de>)

La degradación rápida de ARN mensajeros que contienen AREs requiere de la unión de una proteína de unión a ARN como AUF1 o TTP. A la vez que AUF1 se une al ARE, se activa la desadenilación del ARNm. AUF1 interacciona tanto con el exosoma responsable de la degradación en la dirección 3'-5' como con el complejo responsable de la remoción del CAP y de la degradación en sentido 5'-3.'

1.5 Los miembros de la familia AUF1

AUF1 es una familia de 4 isoformas de 37, 40, 42 y 45 KD, generadas por "splicing alternativo" a partir de un transcripto primario en común, codificado en el locus 4q21.1 y 21.2. Las cuatro isoformas presentan en su estructura dos sitios de reconocimiento de ARN (RRM1 y RRM2) (**Figura 3**). La diferencia entre las isoformas radica en la presencia y/o ausencia del exón 2 y el exón 7. El exón 2 que codifica para 19 aminoácidos está presente en las isoformas de 45 y 40 KD, mientras que en las isoformas de 37 y 42 KD está ausente. Por otra parte el exón 7 que codifica para 49 aminoácidos está contenido en las isoformas de mayor tamaño (p42AUF1 y p45AUF1) y ausente en las más pequeñas (p37AUF1 y p40AUF1). (27-29)

El "splicing" alternativo de los exones 2 y 7, determina entre otras características la afinidad y especificidad por secuencias ARE en el ARN. La ausencia de 19 aminoácidos codificados en el exón 2, aumenta la afinidad por las secuencias ARE. Las isoformas p37AUF1 y p42AUF1 que carecen del inserto de 19 aminoácidos presentan una afinidad mayor por las secuencias ARE (9.5 y 40 nM respectivamente) que las isoformas p40AUF1 y p45AUF1 (330 y 90 nM respectivamente). El inserto de 19 aminoácidos parece alterar la especificidad de unión por el ARN, la isoforma p40AUF1 que se une al pre-ARNm en el sitio de "splicing" r(UUAG/G) con una Kd aparente de 34 nM, una afinidad 10 veces mayor que por las secuencias ARE. Los 49 aminoácidos codificados por el exón 7, también tienen influencia sobre la unión a ARN, pudiendo ser positiva o negativa dependiendo de si está o no presente el inserto de 19 aminoácidos del exón 2 en el RRM1, es decir, la afinidad por las secuencias ARE de la isoforma que contiene el inserto de 49 aminoácidos, p42AUF1 es de 40 nM, menor que la afinidad de p37AUF1 de 9.5 nM, aunque ambas carezcan del inserto de 19 aminoácidos dentro del RRM1.

Sin embargo afecta de manera positiva la afinidad por secuencias ARE cuando el inserto de 19 aminoácidos está presente. La afinidad por secuencias ARE de p45AUF1 que contiene el inserto de 49 aminoácidos es de 90 nM, contra 330 nM de p40AUF1 que carece de él. (30,31)

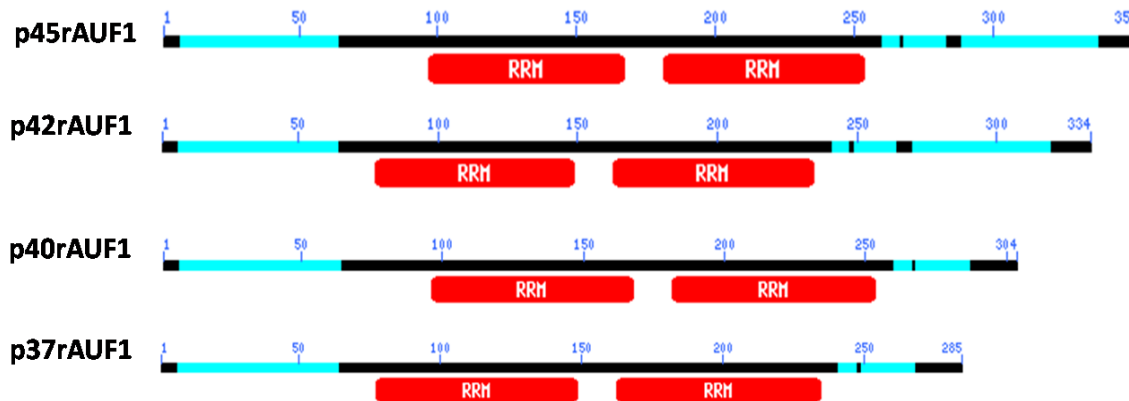


Figura 3. Representación esquemática de las isoformas de AUF1. Se muestran en rojo los dominios de reconocimiento a ARN (RRM por sus siglas en inglés). El dominio del exón 2 de 19 aminoácidos cae dentro del dominio de reconocimiento a ARN (RRM1) mientras que el dominio del exon 7 no afecta el RRM2.

1.6 Mecanismos de regulación de la función de AUF1

Inicialmente fueron descritas como proteínas nucleares, de ahí que sean agrupadas en la familia de ribo-proteínas heterogéneo nucleares (Hnrp). Existen reportes que describen la capacidad de las isoformas de AUF1 para viajar y distribuirse entre el núcleo y el citoplasma. Mientras algunos autores reportan que todas las isoformas viajan entre núcleo y citoplasma (32), otros aseguran que solo las isoformas de menor tamaño poseen esta capacidad y que las isoformas mas pesadas de AUF1 permanecen ancladas a proteínas de la matriz nuclear como SAF-B (33).

A la fecha no existe una explicación contundente del porque de las diferencias en los hallazgos de diferentes grupos de investigación sobre la localización subcelular de AUF1; sin embargo algunos adjudican estas discrepancias a los tipos celulares que han utilizado para sus estudios (33). La localización subcelular de AUF1 es importante por la fuerte asociación con la su función. Por ejemplo la localización en citoplasma de AUF1 correlaciona con una baja en la estabilidad de ARN mensajeros que contiene secuencias ARE en su región 3'UTR (8,11). Se piensa que la función de AUF1 puede estar determinada no solo por sus niveles de expresión o por su localización subcelular, además se cree que en su regulación intervienen modificaciones post-traduccionales como la fosforilación de residuos específicos, el control del splicing alternativo de los exones 2 y 7, etc (34-36).

La fosforilación de los residuos de Serina 87 y Serina 87 en p40AUF1 y codificados en el exón 2, es un evento que determina la función en la unión y modulación de la estabilidad de ARN mensajeros con secuencias ARE en su región 3'UTR. Se ha demostrado que la defosforilación de los residuos de Serina 83 y Serina 87 aumenta la afinidad de p45AUF1 por los sitios ARE, induciendo un cambio de conformación del ARN y disminuyendo la afinidad por p37AUF1, principal isoforma implicada en la degradación de ARNm mediada por secuencias ARE (34). El estudio de AUF1 se hace difícil debido a la amplia variedad de estímulos que pueden afectar la regulación de la función de las isoformas de AUF1, al incidir en eventos como el control de los niveles de expresión, modificando su distribución núcleo-citoplasma y regulando los eventos postraduccionales como la fosforilación de dominios importantes.

CAPÍTULO II

OBJETIVOS

2.1 Objetivo general

Analizar el efecto de la expresión del oncogen Wnt1 sobre la expresión de las proteínas AUF1 en células PC12.

2.1.1 Objetivos particulares

- 1)** Determinar, mediante ensayos de Western Blot, el efecto de la expresión del oncogen wnt1 sobre la distribución subcelular de las proteínas AUF1 en línea celular PC12.

- 2)** Aislamiento y clonación de los cDNAs contenido el marco de lectura de las isoformas de AUF1 expresadas en células PC12.

CAPÍTULO III

MATERIALES Y MÉTODOS

3.1 Área de trabajo

El trabajo experimental se realizó en el laboratorio de Biología Molecular del Departamento de Bioquímica y Medicina Molecular de la Facultad de Medicina de la U.A.N.L., cuyo titular es el Dr. Juan Francisco Velázquez Vadillo.

3.2 Reactivos

Los reactivos utilizados para la realización de la tesis se enlistan a continuación agrupados por casa comercial:

PROMEGA Corporation (Madison, WI, USA)

Enzimas de restricción, Go Taq Green Master Mix, T4 ADN ligasa, TransFast Transfection System, Wizard SV Gel and PCR Clean-up System, pGEM-T Easy vector System, Agarosa.

LI-COR (Lincoln, NB, USA)

IRDye800v2 Terminator mixes

QIAGEN (Valencia, CA, USA)

QIAGEN Plasmid Midi Kit

New England Biolabs, Inc. (Beverly, MA, USA)

Enzimas de restricción

BD Biosciences Clontech (Palo Alto, CA, USA)

Advantage RT for PCR Kit

Invitrogen California, USA)

Iniciadores específicos, LB Broth Base y LB Broth Base Agar.

SIGMA-ALDRICH (Steinheim, Alemania; St. Louis, MO, USA) Glucosa ($C_6H_{12}O_6$), Acetato de potasio (CH_3COOK), Acetato de sodio (CH_3COONa), Alcohol Etílico (C_2H_5OH), Hidróxido de amonio (NH_4OH), Hidroxido de sodio ($NaOH$), Cloruro de sodio ($NaCl$), Cloruro de potasio (KCl), Cloruro de calcio ($CaCl_2$), Dodecil sulfato de sodio (SDS), Ácido etilen-di-amino tretracético (EDTA), Cloroformo ($CHCl_3$), Tween 20 e iniciadores específicos.

USB Corporation (Cleveland, OH, USA)

Thermo Sequenase Cycle Sequencing Kit

AMBION (Austin, TX, USA)

PARIS Kit

Santa Cruz Biotechnology (Santa Cruz, CA, USA)

Anticuerpos comerciales, Western blot Luminol reagent, TBST-BlottoA Marcadores de peso molecular para proteínas.

3.3 Equipo

Termociclador Gene Amp PCR System 2400 de la marca Applied Biosystems (Foster, CA, USA)

Mezclador tipo Vortex Maxi Mix II Type 37600 de Barnstead/ Thermoline (Debuque, IA, USA)

Centrifuga J2-MI marca Beckman (Palo Alto, CA, USA)

Microcentrifuga Eppendorf 5415C y 5415D distribuido por Brinkmann Instruments (Westbury, NY, USA)

Thermomixer marca Eppendorf de Brinkmann Instruments (Westbury, NY, USA)

Fuente de poder para electroforesis, modelo 250 de GIBCO BRL Life Technologies (California, USA)

Cámara de electroforesis de International Biotechnologies Inc.

Campana de flujo laminar marca Labconco Corporation (Kansas City, MO, USA)

Incubadora para cultivo celular con suplemento de CO₂ de NAPCO Scientific Company (USA)

Microscopio invertido marca Karl Zeiss

Incubadora de convección mecánica Precision Cientific INC (Chicago, IL, USA)

Ultra congelador SO-LOW de Enviromental Equipment (Cincinnati, OH, USA)

Fotodocumentador de imágenes (Transiluminador UV con cámara obscura) UVP (Upland, USA)

Secuenciador DNA sequencer Long Readir 4200 de LI-COR Biosciences (Lincoln, NB, USA)

3.4 Ácidos nucleídos

3.4.1 Oligonucleótidos

CLAVE	NOMBRE	SECUENCIA	APLICACIÓN
001	5' ORF rAUF1 (Eco RI)	5' TAA CTT GGA ATT CGA TGT CGG AGG AGC AGT TCG GAG G 3'	Amplificación del marco de lectura de rAUF1
002	3' ORF rAUF1 (Not I)	5' TAA CTT GCG GCC GCT TAG TAT GGT TTG TAG CAT TTT TGA TG 3'	Amplificación del marco de lectura de rAUF1
003	AUF1 Exon2	5' GAG GAG GAT GAA GGC CAT TCA AAC 3'	Identificación de p40 y p45 rAUF1.
004	AUF1 Delta2	5' GAG GAT GAA GGG AAA ATG TTT ATA GG 3'	Identificación de p37 y p42 rAUF1.
005	AUF1 Exon7	5' CCA CTC TGC TGA TTG CTA TAG TC 3'	Identificación de p42 y p45 rAUF1.
006	AUF1 Delta7	5' CCA CTC TGC TGA TCA CCG CCT C 3'	Identificación de p37 y p40 rAUF1
007	5' Wnt1	5' GAA ACA GCG TTC ATC TTC GCA ATC AC 3'	Amplificación de Wnt1
008	Wnt1 3'	5' CTC GTT GTT GTG AAG GTT CAT GAG G 3'	Amplificación de Wnt1
009	Seq 5' AUF1	5' GTC TTG TTG TCC ATA GGC AGC TC 3'	Secuenciar AUF1
010	Seq AUF1 3'	5' CCT TTC TCC AGA CAC ACC TGA AG 3'	Secuenciar AUF1
011	CMV 5' (Pvu II)	5' TAA CTT <u>CAG CTG</u> AAG AAT CTG CTT AGG GTT AGG C 3'	Amplificación del promotor de CMV y la etiqueta de Myc.
012	Myc 3' (EcoRI)	5' TAA CTT <u>GAA TTC</u> GGG GTT CAG GTC TTC TTC AGA G 3'	Amplificación del promotor de CMV y la etiqueta de Myc.
013	Oligo T7		Secuenciación en pSG5-HA-AUF1 y pCMV-Myc-AUF1.
014	5' β -actina (XbaI)	5' CTT GTC TCT AGA GCG GAC TGT TAC TGA GCT GCG TTT TAC 3'	Amplificación de β-actina
015	3' β -actina (BamHI)	5' GAT CTT GGA TCC TAA GGT GTG CAC TTT TAT TAA AAC GG 3'	Amplificación de β-actina
016	M13 FW	5' TGT AAA ACG ACG GCC AGT 3'	Secuenciar en pGEM-T Easy
017	M13 REV	5' AAC AGC TAT GAC CAT G 3'	Secuenciar en pGEM-T Easy

Tabla I. Lista de oligonucleótidos.

3.4.2 Vectores

3.4.2.1 Vector pGEM-T Easy

El vector pGEM-T Easy (**Figura 4**) de la compañía PROMEGA es un vector T, utilizado para clonar fragmentos de PCR directamente después de la reacción de PCR. Este vector lo utilizamos en esta tesis para clonar los fragmentos de PCR derivados del análisis de los niveles de ARN de las isoformas de AUF1. La selección de colonias recombinantes se realizó por alfa-complementación. Los fragmentos clonados dentro de pGEM-T Easy rompen el marco de lectura del gen Lac Z que codifica para el péptido alfa de la enzima beta-galactosidasa. Como consecuencia bacterias deficientes del gen LacZ con plásmido recombinante, crecidas sobre IPTG y X-Gal son blancas, mientras que bacterias con plásmido religado adquieren una tonalidad azul debida a los subproductos del rompimiento enzimático del X-Gal por la enzima beta-galactosidasa. Para secuenciar los fragmentos clonados en este vector se utilizaron los oligonucleótidos generales M13 “Forward” y “Reverse” (Ver lista de oligonucleótidos).

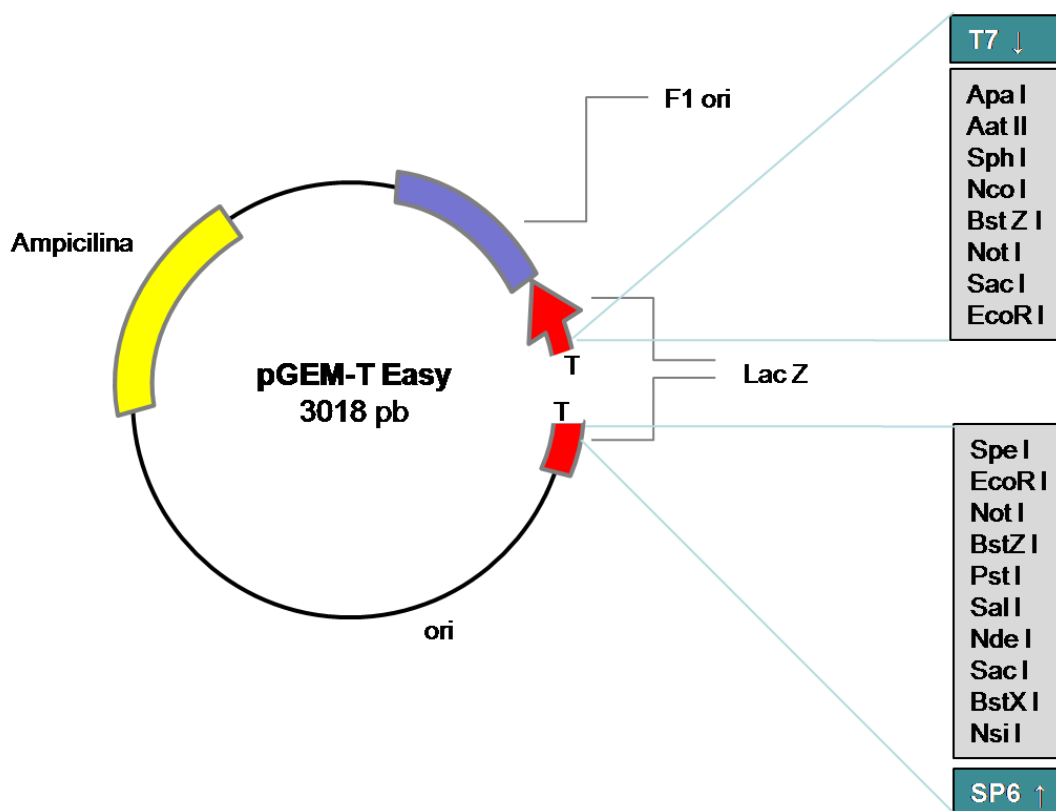


Figura 4. Mapa del vector T, pGEM-T Easy. Mapa de las secuencias más relevantes dentro de pGEM-T Easy como el gen de resistencia a ampicilina, y el gen Lac Z.

3.4.2.2 Vector pCDNA3-Myc

El vector pcDNA3-Myc (**Figura 5**) es un vector derivado del plásmido pcDNA3 de la casa comercial Invitrogen, al cual se le agrego la etiqueta de Myc (MEQKLISEEDL), entre los sitios BstXI y EcoRI. Presenta resistencia a ampicilina y a neomicina, la expresión de las proteínas está dirigida por el promotor constitutivo de CMV. En esta tesis utilizamos un vector cuya base es pcDNA3-Myc, en el cual está clonada la piruvato quinasa (PK) entre los sitios EcoRI y NotI. Lo utilizamos como templado para amplificar un fragmento que contiene el promotor de CMV y la etiqueta de Myc.

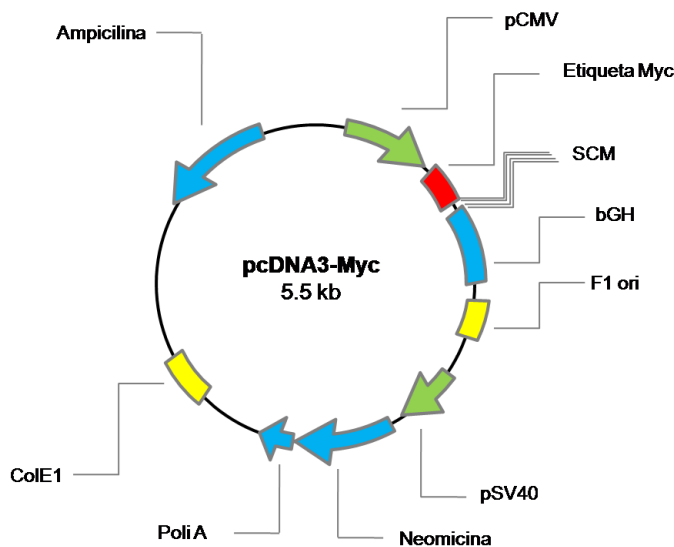


Figura 5. Vector pcDNA3-Myc. Mapa del vector de expresión eucariota pcDNA3-Myc, con los promotores de citomegalovirus y del virus del simio 40 (pCMV y pSV40), el sitio de clonación múltiple (SCM), la región 3'UTR de la hormona de crecimiento bovina (bGH), la resistencia a Neomicina y Ampicilina y los orígenes de replicación (ColE1 y F1 ori)

3.4.2.3 Vectores pGEX-4T-AUF1

Este tipo de vectores son parte de un sistema de purificación de proteínas que se expresan en bacterias (*E. coli*), fusionadas a glutatión-S transferasa (GST) en la región N-terminal. La purificación se realiza a través de una columna de glutatión inmovilizado en una resina de Sepharosa. El vector pGEX-4T-1 (**Figura 6A**) posee un sitio de corte para la enzima Trombina entre la secuencia de GST y las proteínas clonadas en él, lo que permite la remoción de la GST y la obtención de la proteína recombinante pura y con mínimas modificaciones. Clonamos las secuencias de p37 y p45 AUF1 humanas y la versión de rata de p37AUF1 en el vector pGEX-4T-1 entre los sitios EcoRI y Sal I. Las secuencias de AUF1 se obtuvieron por digestión a partir de los vectores pSG5-HA-AUF1.

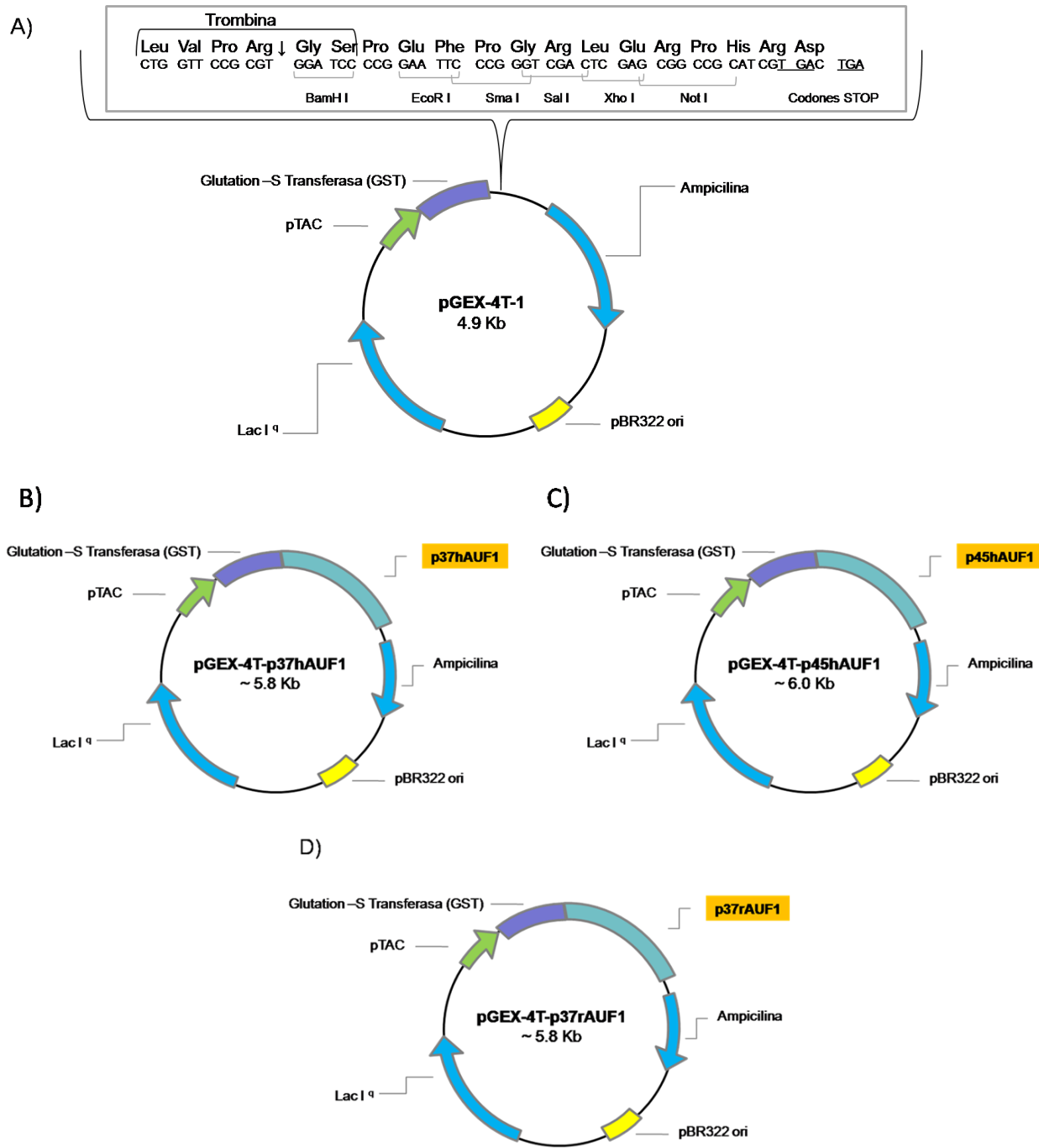


Figura 6. Vectores pGEX-4T-AUF1. A) El vector de expresión en bacterias, pGEX-4T-1 de Amersham Bioscience. B),C) y D) corresponden a los mapas de los vectores de expresión en bacterias pGEX-4T-1 con las secuencias clonadas de p37hAUF1, p45hAUF1 y p37rAUF1 respectivamente.

3.4.2.4 Vector pSG5-HA

El vector de expresión procariota pSG5-HA (**Figura 7**) expresa proteínas recombinantes fusionadas a una etiqueta de hemaglutinina (HA) en la porción amino terminal de las proteínas. La expresión de las fusiones es dirigida por el promotor de SV40 (Simian virus 40). Clonadas en este vector obtuvimos del Dr. Schneider (Cornell University), las secuencias completas de las versiones humanas de AUF1 y p37 y p45 de rata, clonadas entre los sitios EcoR I y BamH I/Bgl II.

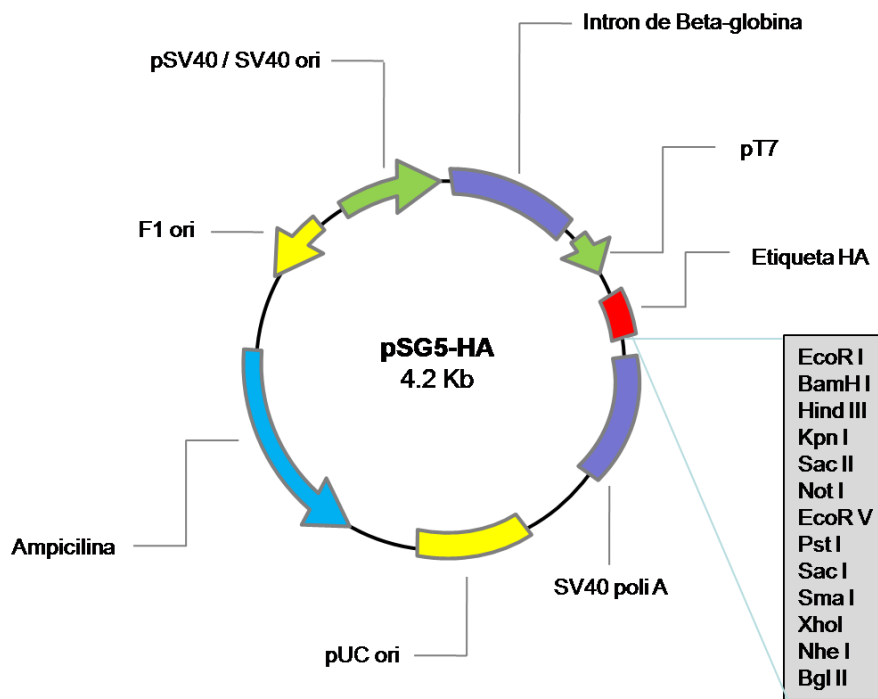


Figura 7. Vector de expresión procariota pSG5-HA. En la figura se muestran las regiones de mayor relevancia del vector pSG5-HA: el gen de resistencia a ampicilina, el origen bacteriano de pUC, la señal de poliadenilación de SV40, el promotor del fago T7, un intrón de beta-globina el promotor de SV40 y el sitio múltiple de clonación.

3.4.2.5 Vectores pSG5-HA-rAUF1

Las secuencias que codifican para las versiones de rata de las proteínas AUF1 de 37 y 45 KD, fueron donadas amablemente por el Dr. Robert Schneider (Cornell University, NY, USA), clonadas en el vector de expresión eucariota pSG5-HA (**Figura 7**), además de la colección completa de las versiones humanas de AUF1 en el mismo vector. Dicho vector permite la expresión de las proteínas, fusionadas en su parte amino terminal a una etiqueta de hemaglutinina (HA), dirigida por el promotor viral de SV40. A partir de las construcciones donadas por el Dr. Schneider (**Figuras 8A y 8B**), se construyeron por digestión enzimática e intercambio de secuencias, las versiones de rata de p37rAUF1, p40rAUF1 y p42rAUF1 clonadas en fase con la etiqueta de hemaglutinina en el vector pSG5-HA (**Figuras 8C, 8D y 8E**).

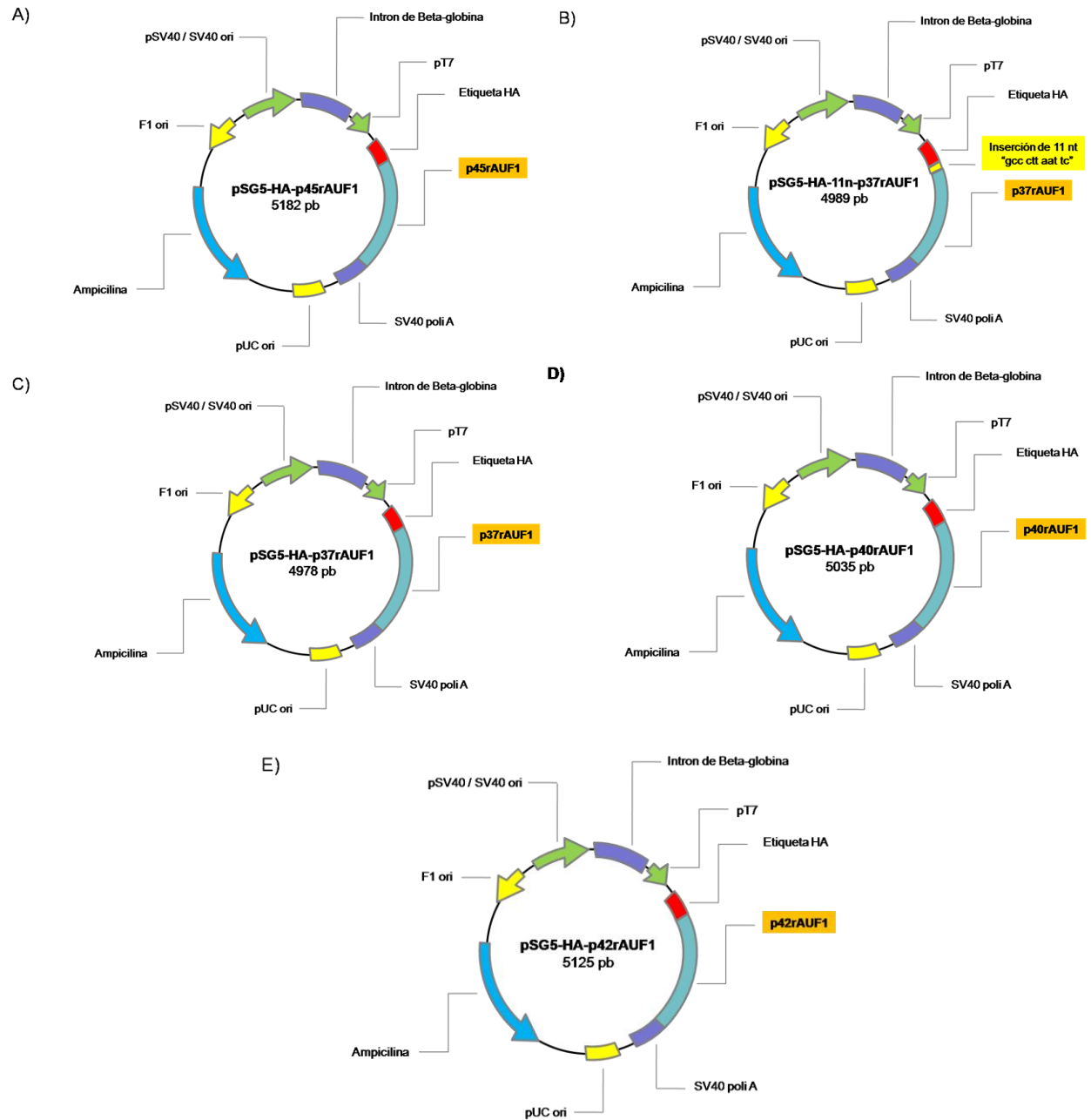


Figura 8. Vectores pSG5-HA-rAUF1. A) Secuencia de p45rAUF1 clonada en el vector pSG5-HA. B) Secuencia de p37rAUF1 clonada en el vector pSG5-HA. Esta construcción no funciona porque presenta un inserto de 11 nucleótidos entre HA y p37rAUF1, que rompe el marco de lectura de p37rAUF1. A y B fueron donadas por el Dr. Robert Schneider (Cornell University, NY). C) Secuencia de p37rAUF1 clonada en fase con la etiqueta de HA, en el vector pSG5-HA, se generó eliminando el inserto de 11 nucleótidos del vector pSG5-HA-11n-p37rAUF1. D) y E) son las secuencias completas de p40rAUF1 y p42rAUF1 respectivamente, clonadas en fase con la etiqueta de HA en el vector pSG5-HA. C, D y E se generaron en el laboratorio para fines de la presente tesis.

3.4.2.6 Vectores pCMV-Myc-rAUF1

Las construcciones pCMV-Myc-rAUF1 (**Figura 9**) son resultado de la sustitución del promotor de SV40, y la etiqueta de HA en los vectores pSG5-HA-rAUF1, por el promotor CMV y la etiqueta de Myc. Fueron utilizados para monitorear de manera individual la distribución núcleo-citoplasma de cada una de las isoformas de AUF1 en líneas celulares PC12 que expresan el oncogen wnt1 y líneas PC12 que no expresan wnt1, utilizando un anticuerpo contra la etiqueta de Myc.

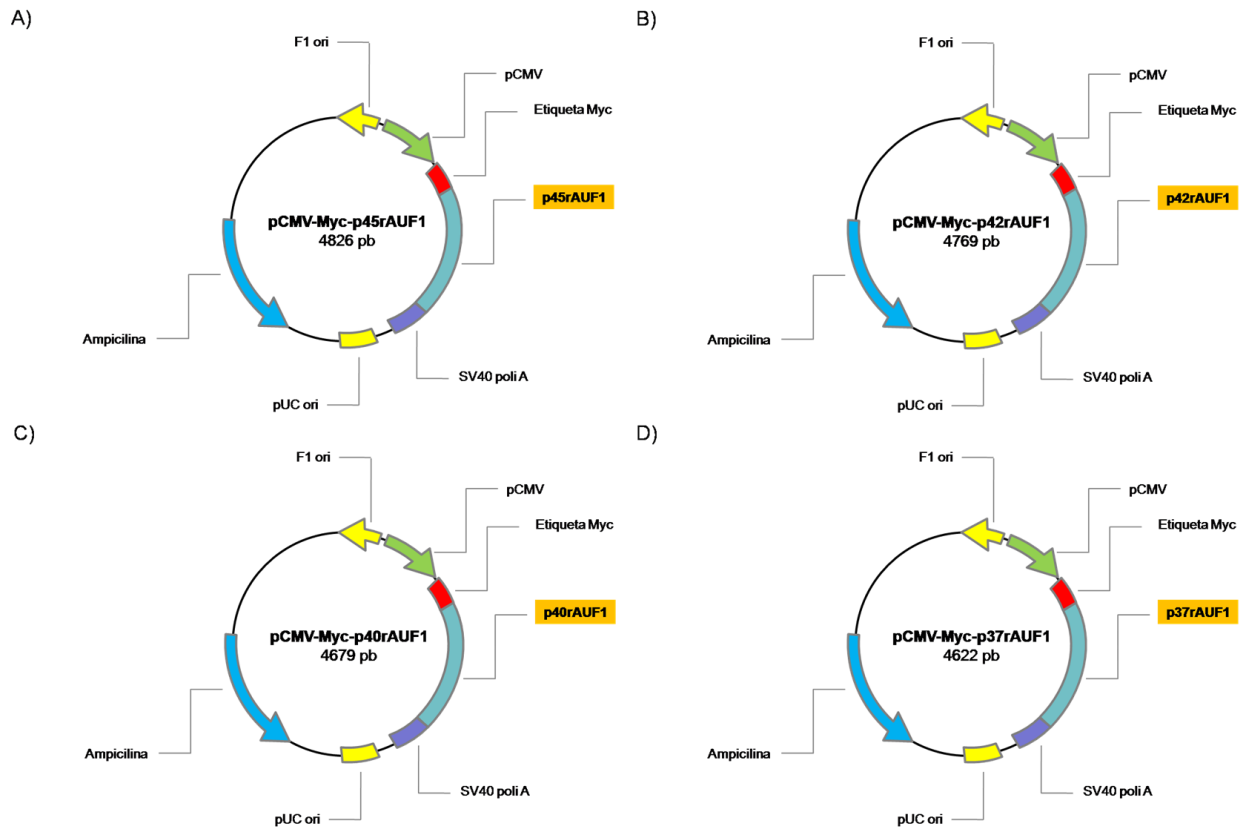


Figura 9. Mapa de las construcciones pCMV-Myc-rAUF1. Los vectores pCMV-Myc-rAUF1 expresan las isoformas de AUF1 de rata fusionadas en su extremo amino terminal a una etiqueta de Myc. Estas cuatro construcciones se realizaron para fines de la tesis en el laboratorio de biología molecular.

3.5 Modelo celular

El modelo celular utilizado en este trabajo es la línea celular PC12 derivada de un tumor (feocromocitoma) de células adrenales de rata. La línea fue establecida como una línea noradrenérgica que respondía al factor de crecimiento neuronal (NGF) en 1976. Desde entonces ha sido ampliamente difundido su uso como modelo de diferenciación neuronal y como modelo para analizar la expresión de genes. En el laboratorio contamos con cuatro líneas celulares PC12 que incluyen la línea parental PC12, PC12/Wnt1+, PC12/HB+ y PC12/HB- (**Fig. 10**).

3.5.1 Línea celular PC12

La línea celular parental PC12 proviene de un feocromocitoma de células adrenales de rata, crece en suspensión y presenta una morfología esférica. No expresa el oncogén Wnt1 por lo tanto no tiene activada la vía Wnt/ β -catenina.

3.5.2 Línea celular PC12/Wnt1+

La línea celular PC12/Wnt1 se obtuvo por infección de la línea parental PC12, con un vector retroviral basado en el virus del sarcoma murino que expresa el oncogén Wnt1 (MV-Wnt1) (A M Brown 1992). Expresa constitutivamente Wnt1 y tiene activada la vía Wnt/ β -catenina. Crece adherida al sustrato y presenta una morfología aplanada y estrellada.

3.5.3 Línea celular PC12/HB+ (Bruce D Howard 1996)

La línea celular PC12/HB+ expresa constitutivamente el oncogen Wnt1 y tiene activada la vía Wnt/ β -catenina. Esta línea celular fue transformada por un vector retroviral.

3.5.4 Línea celular PC12/HB- (Bruce D Howard 1996)

La línea PC12/HB- proviene de la línea PC12/HB+ y a través del tiempo dejó de expresar el oncogen Wnt1. No tiene activada la vía de señalización Wnt/ β -catenina, pero mantiene una morfología aplanada y estrellada. Crece adherida al plato de cultivo.

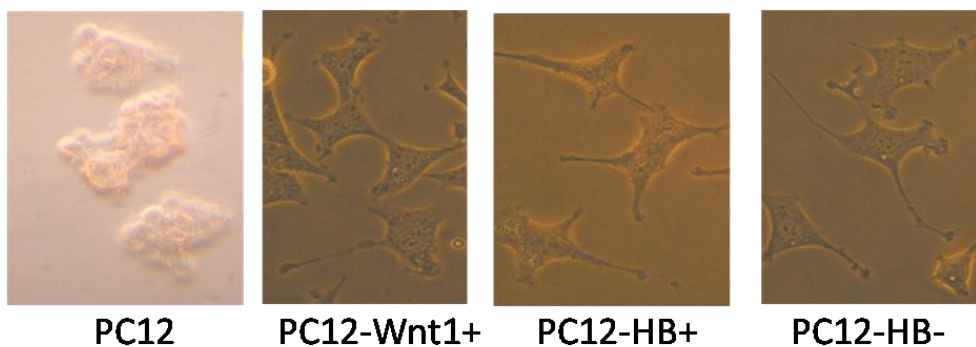


Figura 10. Líneas celulares PC12, PC12-Wnt1+, PC12-HB+ y PC12-HB-. Las líneas celulares PC12 y PC12-Wnt1+ fueron donadas por el Dr. A.M Brown de la Cornell University. Las líneas celulares PC12-HB+ y PC12-HB- fueron donadas por el Dr. Bruce Howard de la UCLA.

3.6 Metodología

3.6.1 Estrategia para la construcción de los vectores pSG5-HA-p37rAUF1, pSG5-HA-p40rAUF1 y pSG5-HA-p42rAUF1.

De las dos construcciones de secuencias de rata, obtenidas del Dr. Schneider únicamente p45rAUF1 estaba clonada en fase con la etiqueta de HA entre los sitios EcoRI-BamHI/BgIII en el vector pSG5-HA (**Figura 8A**). En el caso de p37rAUF1 la secuencia estaba correcta, sin embargo presentaba una inserción de 11 nucleótidos entre el sitio EcoRI y el codón de inicio de la traducción de p37rAUF1 lo que provocaba un desplazamiento en el marco de lectura (**Figura 8B**). Eliminando las 11 bases insertadas entre el sitio EcoRI y el codón de inicio de la traducción de p37rAUF1, obtuvimos el vector pSG5-HA-p37rAUF1 (**Figura 8C**).

El vector pSG5-HA-11n-p37rAUF1 se digirió con las enzimas EagI y Asel para generar dos fragmentos de 2932pb y 2057pb. El fragmento de 2932pb se eliminó y fue sustituido por un fragmento de 2921pb obtenido de la digestión de pSG5-HA-p45rAUF1 con las mismas enzimas (**Figura 11 A**).

Utilizando pSG5-HA-p45rAUF1 y el recién generado pSG5-HA-p37rAUF1, por digestión con las enzimas EcoRI y SacI se obtuvieron los fragmentos de 4340 pb/ 842pb y 4193 pb / 785 pb respectivamente. Por intercambio de secuencias se generaron los vectores pSG5-HA-p40rAUF1 y pSG5-HA-p42rAUF1 (**Figura 8D y 8E**). (**Figura 11 B**).

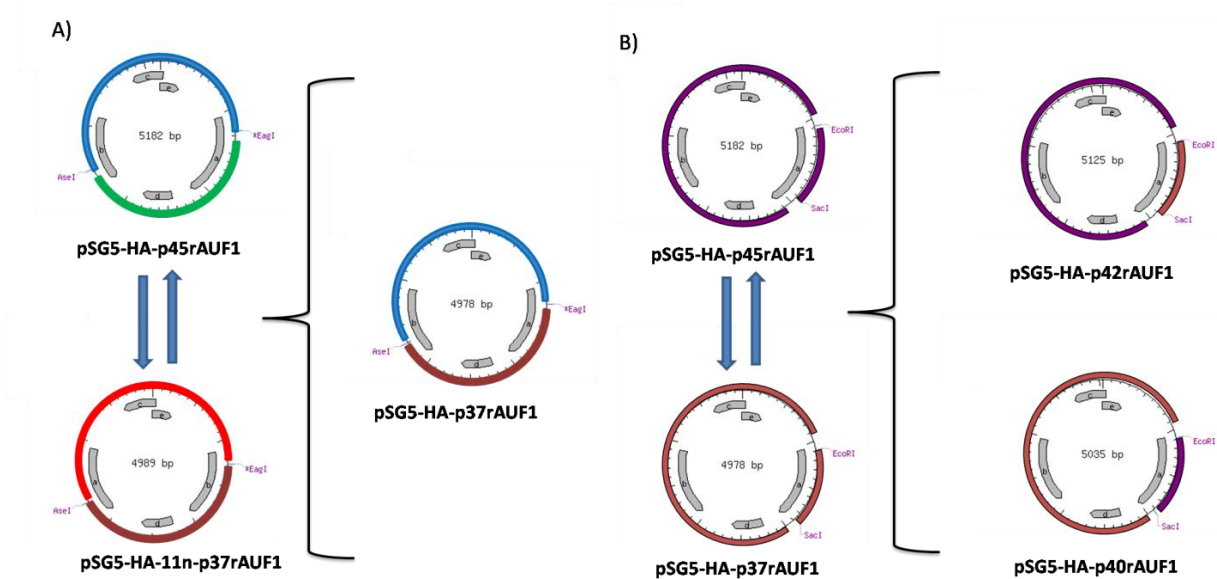


Figura 11. Estrategias para generar los vectores pSG5-HA-p37rAUF1, pSG5-HA-p40rAUF1 y pSG5-HA-p42rAUF1. En la figura A se ejemplifica como se generó pSG5-HA-p37rAUF1 sin el inserto de 11 nucleótidos. El inserto de 11 nt se eliminó dentro de un fragmento de 2932pb entre los sitios Asel y Eagl y se sustituyó por un fragmento de 2921pb derivado de la digestión de pSG5-HA-p45rAUF1 con las mismas enzimas Eagl y Asel. En la figura B se explica la estrategia para la obtención de pSG5-HA-p40rAUF1 y pSG5-HA-p42rAUF1 a partir de pSG5-HA-p45rAUF1 y pSG5-HA-p37rAUF1, por medio de restricción e intercambio de secuencias entre los sitios EcoRI y SacI.

3.6.2 Estrategia para la construcción de los vectores pCMV-Myc-AUF1

Los vectores pSG5-HA-p45rAUF1, pSG5-HA-p42rAUF1, pSG5-HA-p40rAUF1 y pSG5-HA-p37rAUF1 se digirieron con las enzimas Pvull y EcoRI para eliminar una región de 1179pb (suma de dos fragmentos de 119pb y 1060pb), que contiene el promotor de SV40, un intrón de beta-globina y la etiqueta de HA. Esta región se sustituyó por un fragmento de aproximadamente 840pb que contiene el promotor de CMV y la etiqueta de Myc, amplificado con los primers CMV 5' Pvull () y Myc 3' EcoRI a partir del vector pcDNA3-Myc-TBP. Se purificó el fragmento se generaron sitios compatibles y se ligó en los vectores abiertos Pvull/EcoRI (**Figura 12**).

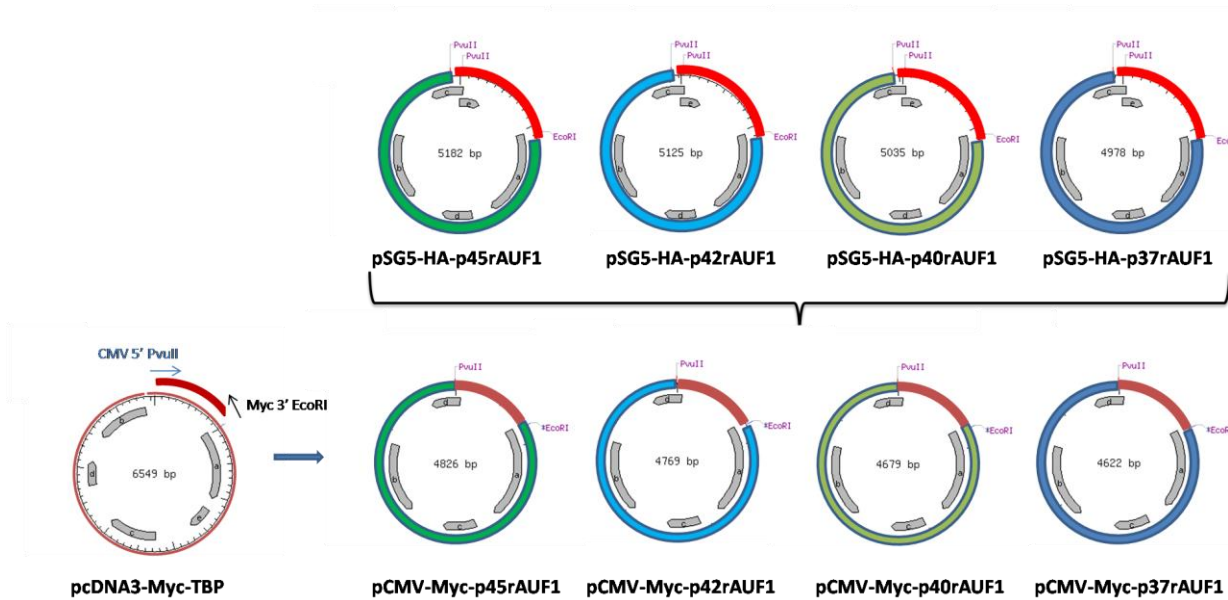


Figura 12. Estrategia para construir los vectores pCMV-Myc-rAUF1. Los vectores pCMV-Myc-rAUF1 provienen de los vectores pSG5-HA-rAUF1 a los cuales se les eliminó una región de 1179pb que contiene el promotor de SV40, el intrón de beta-globina y la etiqueta de hemaglutinina (HA), entre los sitios Pvull y EcoRI. Esta región se sustituyó por un fragmento de aproximadamente 840pb amplificado de pcDNA3-Myc-TBP.

3.6.3 Estrategia para la construcción de los vectores pGEX4T-1-AUF1

La construcción de los vectores pGEX4T-1-p37hAUF1, pGEX4T-1-p45hAUF1 y pGEX4T-1-p45rAUF1 (**Figuras 6B, 6C y 6D**), cumplió con el fin de producir de manera *in vitro* las proteínas AUF1, para utilizarlas como control positivo en los ensayos de Western Blot y para probar la funcionalidad de los anticuerpos con los que contamos en el laboratorio de biología molecular. Las secuencias de p37rAUF1, p45rAUF1, p37hAUF1 y p45hAUF1 fueron obtenidas por digestión enzimática con EcoRI/Sal I de las construcciones en pSG5-HA y subclonadas entre los mismos sitios en el vector pGEX4T-1 (**Figura 13**). El vector pGEX4T-1 (**Figura 6A**) produce las proteínas fusionadas a GST (glutatión S transferasa) en su extremo amino terminal, dirigido por el promotor procariota Tac, inducible por IPTG.

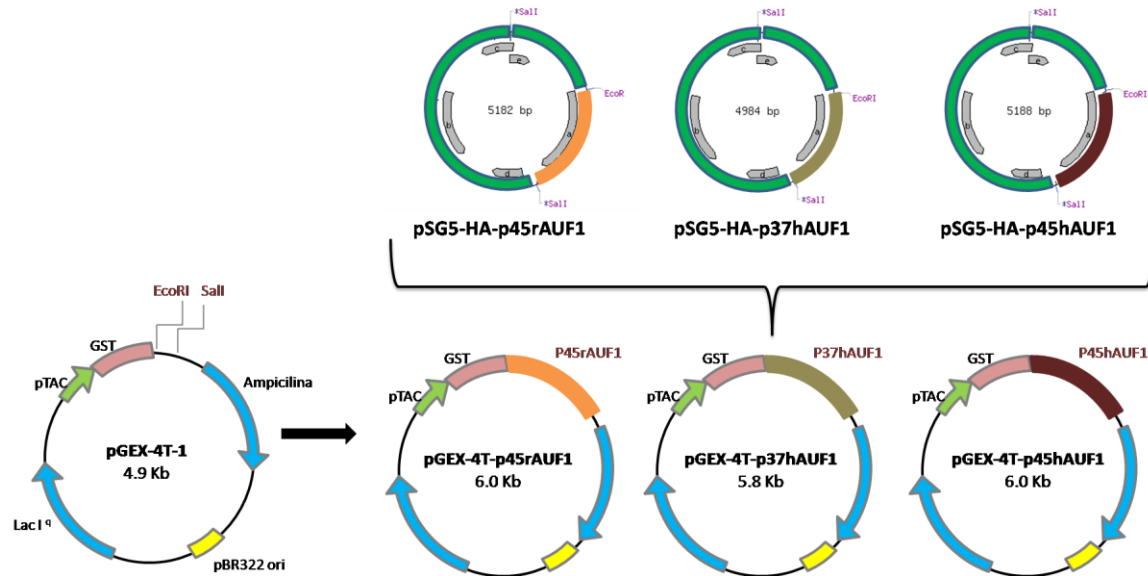


Figura 13. Estrategia para la construcción de los vectores pGEX4T-AUF1. Se muestra el vector pGEX4T-1 con los sitios EcoRI y Sall río abajo de la etiqueta de GST, en donde se insertaron las secuencias de p45hAUF1, p37hAUF1y p45rAUF1, obtenidas por digestión con EcoRI y Sall de los vectores pSG5-HA-p45hAUF1, pSG5-HA-p37hAUF1 y pSG5-HA-p45rAUF1 (donadas por el Dr. Robert Schneider)

3.6.3.1 Inducción de pGEX4T-1-p45rAUF1, pGEX4T-1-p37hAUF1, pGEX4T-1-p45hAUF1 y pGEX4T-1

Se transformaron los plásmidos pGEX4T-1, pGEX4T-p45rAUF1, pGEX4T-p37hAUF1 y pGEX4T-p45hAUF1 en *E. coli* de la cepa Top10F'. Se sembraron en medio sólido LB-Ampicilina y se incubaron durante toda la noche a 37°C. De cada transformación se aislaron colonias independientes y se creció un pre-inóculo en 20 mL de medio líquido LB-Ampicilina. El pre-inóculo se creció a 37°C durante 18 horas en agitación. Se sembraron 100µL del pre-inóculo en un matraz con 50mL de medio líquido LB-ampicilina hasta llegar a una DO_{600nm} =0.1, alcanzándose aproximadamente a las 2 horas a 37°C y en agitación. Una vez alcanzada la DO adecuada se indujo con 125µL de IPTG 200mM para una concentración final de 0.5mM y se tomaron muestras de 2 ml del cultivo a los tiempos de 0, 2 y 4 horas, congelándose inmediatamente a -20°C para su posterior análisis.

Con base en las densidades ópticas de las muestras tomadas a las 0, 2 y 4 horas de inducción de los plásmidos pGEX4T-1, pGEX4T-p45rAUF1, pGEX4T-p37hAUF1 y pGEX4T-p45hAUF1 en bacterias Top10F', se calcularon los volúmenes utilizados para obtener una pastilla de bacterias equivalente, para cargarse al gel (**Tabla I**). Se asignó arbitrariamente el volumen máximo de 60µL a la muestra con la absorbancia menor (0.073) y basándonos en eso calculamos la equivalencia para el resto de las muestras.

Vector	DO ₆₀₀ (0 h)	μL p/pastilla	DO ₆₀₀ (2 h)	μL p/pastilla	DO ₆₀₀ (4 h)	μL p/pastilla
pGEX4T-p45rAUF1	0.073	60	0.095	50	0.089	50
pGEX4T-p37hAUF1	0.075	58.4	0.094	49	0.088	50
pGEX4T-p45hAUF1	0.166	26.4	0.201	23.1	0.172	25.9
pGEX4T-1	0.094	46.6	0.129	36	0.114	39

Tabla II. Valores de DO₆₀₀ de las muestras de inducción de p45rAUF1, p37hAUF1 y p45hAUF1 y cálculo de volúmenes equivalentes.

Los volúmenes calculados en la tabla I se centrifugaron a máxima velocidad por 2 minutos, se retiró el sobrenadante y la pastilla de bacterias se suspendió en 10μL de agua + 10μL de buffer de carga 2X para SDS-PAGE. Se calentaron las muestras a 94°C por 5 minutos, se cargaron en un gel desnaturalizante de acrilamida al 12 % y se corrieron durante 4 horas a 70V. El gel se reveló mediante tinción con azul de comassie.

3.6.4 Validación de los anticuerpos T10, G10 y AB995

Las muestras de 2 horas de cada experimento de inducción se corrieron por triplicado en geles desnaturalizantes de acrilamida al 12%. Se tomaron volúmenes equivalentes de los cultivos de producción de GST, GST-p45rAUF1, GST-p37hAUF1 y GST-p45hAUF1 (72μL 100μL, 100μL y 50μL respectivamente). Las muestras se centrifugaron a máxima velocidad por 2 minutos, se retiró el sobrenadante y la pastilla de bacterias se suspendió en 10μL de agua + 10μL de buffer de carga 2X para SDS-PAGE. Se calentaron las muestras a 94°C por 5 minutos. Los geles se corrieron a 70V durante 4 horas y fueron transferidos a una membrana de PVDF previamente activada con metanol al 100% durante 2 minutos, la transferencia se realizó durante toda la noche a 4°C y a 35V. La transferencia se confirmó mediante tinción con el colorante rojo de Ponceau para las tres membranas. Las membranas se lavaron con TBST 1X hasta eliminar el colorante rojo de Ponceau y se reactivaron con metanol 100% durante 2 minutos antes de bloquearlas con la solución TBST-Blotto A durante 1 hora en agitación y a temperatura ambiente. Una vez finalizado el tiempo de bloqueo, se incubó cada membrana con un único anticuerpo en una dilución 1:1000 del anticuerpo primario en TBST 1X durante 1 hora a temperatura ambiente y en agitación. Los anticuerpos primarios anti AUF1 utilizados fueron el anticuerpo AB995 donado por Dr. Robert Schneider y los anticuerpos G10 y T10 de la casa comercial Santa Cruz Biotechnology. Después de la incubación con los anticuerpos primarios se dieron tres lavados de 5 minutos en agitación con TBST 1X y se incubaron las membranas durante 1 hora en agitación y a temperatura ambiente, con su anticuerpo secundario correspondiente en una dilución 1:3000 en TBST 1X. Para AB995 se utilizó un anticuerpo secundario anti-IgG de conejo conjugado a HRP y para G10 y T10 se utilizó un anticuerpo secundario anti- IgG de cabra conjugado a HRP. Se lavó la membrana 5 minutos por triplicado con TBST 1X y una vez más durante 5 minutos con TBS 1X.

El western blot se reveló mediante detección de quimioluminiscencia utilizando los reactivos del estuche “Western Blot Luminol Reagent” de la casa comercial Santa Cruz biotechnology.

3.6.5 Aislamiento de ARN total

El aislamiento del ARN total se realizó a partir de células PC12, PC12-Wnt1+, PC12-HB+ y PC12-HB-, utilizando el estuche RNAqueous-4PCR de AMBION siguiendo las indicaciones del fabricante.

3.6.6 Síntesis del ADNc a partir del ARN total

La síntesis del ADNc se realizó a partir del ARN total obtenido de las 4 líneas celulares PC12, mediante retro-transcripción utilizando el estuche comercial Advantage RT for PCR Kit y siguiendo las instrucciones del fabricante.

Los ADNc fueron normalizados utilizando como control el ARNm de β-actina. El modelo de estudio además se validó mediante una RT-PCR específica contra el mensajero del oncogen wnt1.

Condiciones de la RT-PCR:

β-actina (μL)	RT-PCR	Wnt1 (μL)
2.6	H ₂ O NF	2.6
3.0	Go Taq Green MM 2X	3.0
0.2	Mezcla de oligos 20pM/μL	0.2
0.2	ADNc	0.2

Programa de PCR:

β-actina	PROGRAMA PCR	Wnt1
94°C -5 minutos	Desnaturalización	94°C -5 minutos
94°C -30 segundos	Desnaturalización	94°C -30 segundos
68°C -1 minuto	Alineamiento / Extensión	68°C – 1 minuto
27 ciclos	Ciclos	35 ciclos
4°C – α	Terminación	4°C – α

3.6.7 Obtención de los extractos proteicos

La obtención de las fracciones proteicas de núcleo y citoplasma, se obtuvieron a partir de las líneas celulares en cultivo PC12, PC12-Wnt1+, PC12-HB+ y PC12-HB-, utilizando el estuche comercial PARIS Kit de AMBION siguiendo las instrucciones del fabricante.

Los extractos proteicos correspondientes a núcleo y citoplasma fueron resueltos por electroforesis, en un gel de acrilamida al 12% y revelados mediante tinción con azul brillante de commassie, para confirmar su integridad.

3.6.8 Amplificación de los marcos de lectura completos de las isoformas de AUF1, a partir de ADNc de células PC12 y de las secuencias clonadas en los vectores pSG5HA-rAUF1

Para establecer las condiciones óptimas de amplificación, utilizamos como templado en un ensayo de PCR, las secuencias completas de las cuatro isoformas de AUF1 contenidas en los plásmidos PSG5-HA (**Figura 8 A, C, D y E**).

PCR estándar del marco de lectura de AUF1 utilizando Green Gotaq Master Mix de Promega:

pSG5HA	p37rAUF1	p40rAUF1	p42rAUF1	p45rAUF1
H ₂ O NF (μL)	3.5	3.5	3.5	3.5
Gotaq master mix (μL)	5.0	5.0	5.0	5.0
Mezcla de oligos 20pM/μL (μL)	0.5	0.5	0.5	0.5
ADNc PC12 (μL)	1	1	1	1

PROGRAMA PCR	
Desnaturalización	94°C -5 minutos
Desnaturalización	94°C -30 segundos
Alineamiento / Extensión	68°C – 2 minutos
Ciclos	37 ciclos
Terminación	4°C – α

Se montó un ensayo de PCR especializado en la amplificación de secuencias ricas en G y C con el estuche comercial Advantage for GC-rich de Clontech siguiéndose las recomendaciones de la casa comercial. Primeramente se estandarizaron las condiciones de uso del estuche comercial probándose dos temperaturas de alineamiento/extensión de 68°C y 64°C, y concentraciones de 0M, 0.5M y 1.0M de GC melt. Para la estandarización se utilizó como templado el ADNc de la línea celular PC12/Hb+ y para la amplificación del marco de lectura se utilizaron las secuencias completas de AUF1 procedentes de los vectores pSG5HA-rAUF1. Y se incluyó un control de amplificación del marco de lectura de AUF1 a partir de ADNc de células PC12 y utilizando el kit de amplificación Master Mix Go Taq polymerase (Promega)

Condiciones y PCR para estandarización:

Alineamiento/ Extensión	68°C			64°C		
Concentración GC Melt	0M	0.5M	1.0M	0M	0.5M	1.0M
H ₂ O NF (μL)	11.5	9.0	6.5	11.5	9.0	6.5
Buffer GC 5X (μL)	5.0	5.0	5.0	5.0	5.0	5.0
GC Melt (μL)	0	2.5	5.0	0	2.5	5.0
ADNc PC12 (μL)	6.25	6.25	6.25	6.25	6.25	6.25
Mezcla de oligos 20pM/μL	1.25	1.25	1.25	1.25	1.25	1.25
Mezcla de dNTP 50X (μL)	0.5	0.5	0.5	0.5	0.5	0.5
Advantage GC polimerasa (μL)	0.5	0.5	0.5	0.5	0.5	0.5

68 C	PROGRAMA PCR	64 C
94°C -5 minutos	Desnaturalización	94°C -5 minutos
94°C -30 segundos	Desnaturalización	94°C -30 segundos
68°C -2 minutos	Alineamiento / Extensión	64°C – 2 minutos
37 ciclos	Ciclos	37 ciclos
4°C – α	Terminación	4°C – α

Condiciones y PCR para amplificar el Marco de lectura de AUF1 a partir de las secuencias clonadas en los vectores pSG5HA:

	pSG5HA-p37rAUF1	pSG5HA-p40rAUF1	pSG5HA-p42rAUF1	pSG5HA-p45rAUF1
H ₂ O NF (μL)	3.6	3.6	3.6	3.6
Buffer GC 5X (μL)	2.0	2.0	2.0	2.0
GC Melt (μL)	1.0	1.0	1.0	1.0
ADN (plásmido 1:5) (μL)	2.5	2.5	2.5	2.5
Mezcla de oligos 20pM/μL	0.5	0.5	0.5	0.5
Mezcla de dNTP 50X	0.2	0.2	0.2	0.2
Advantage GC Polimerasa	0.2	0.2	0.2	0.2

PROGRAMA PCR
Desnaturalización
Desnaturalización
Alineamiento / Extensión
Ciclos
Terminación

3.6.9 Análisis del efecto de la expresión de Wnt1 sobre la distribución núcleo-citoplasma de AUF1 mediante Western Blot.

Se corrieron 50 µg de proteína total de citoplasma y 20 µg de proteína total nuclear de cada una de las líneas celulares en un gel desnaturalizante de acrilamida al 12% a 70 volts durante 4 horas. Las proteínas resueltas en el gel fueron transferidas a una membrana de PVDF a 35 volts durante 18 horas. Cada membrana se reveló mediante el uso del colorante rojo de Ponceau, y se utilizaron para la detección por western blot de las isoformas de AUF1 en ambas fracciones y para cada línea celular, utilizando un anticuerpo contra AUF1 denominado 995AB (**Ver sección 3.6.4 y 4.4**) el cual fue donado amablemente por el Dr. Robert Schneider (Cornell University). Las membranas se revelaron mediante el uso de quimioluminiscencia utilizando un estuche comercial Luminol Reagent de Santa Cruz Biotechnology.

CAPÍTULO IV

RESULTADOS

4.1 Construcción de los vectores pSG5-HA-p37rAUF1, pSG5-HA-p40rAUF1 y pSG5-HA-p42rAUF1.

El vector pSG5-HA-11n-p37rAUF1 fue sometido a digestión con las enzimas EagI y Asel, generándose dos fragmentos de 2932 y 2057 pb respectivamente. El fragmento de 2057 pb se purificó de un gel de agarosa al 1.5% y se ligó con el fragmento purificado de 2921 pb, generado durante la digestión de pSG5-HA-p45rAUF1 con las enzimas EagI y Asel, para generar el vector pSG5-HA-p37rAUF1. La secuenciación comprobó que pSG5-HA-p37rAUF1 eliminó 11 nucleótidos entre el sitio EcoRI y el ATG inicial de p37rAUF1. (**Figura 14**) (Secuencia ver Anexo I)

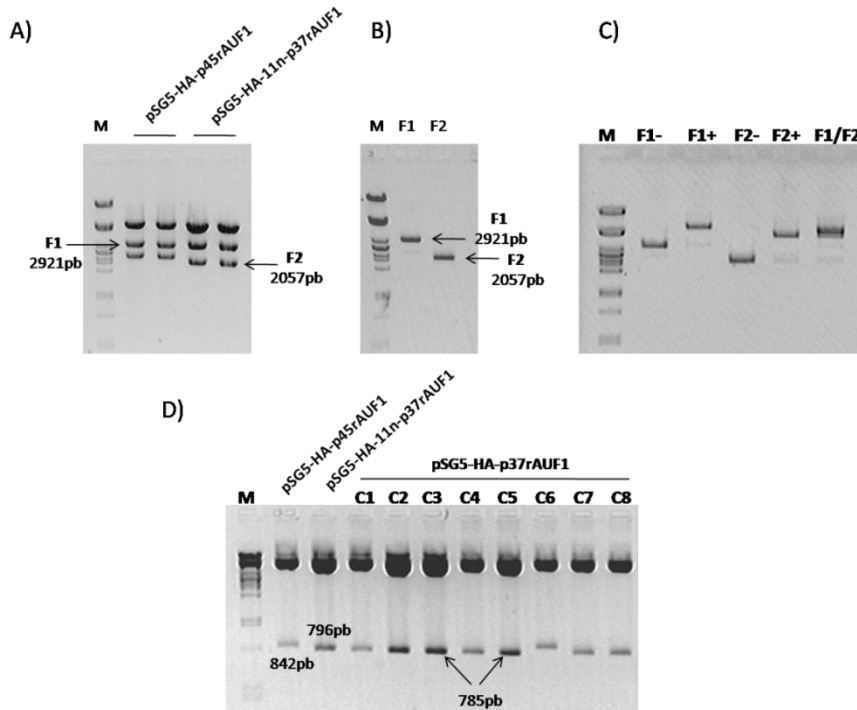


Figura 14. Construcción de pSG5-HA-p37rAUF1. A) Se muestran los fragmentos utilizados para generar el vector pSG5-HA-p37rAUF1, generados por la digestión EagI/Asel de los vectores pSG5-HA-p45rAUF1 y pSG5-HA-11n-p37rAUF1. B) Los fragmentos denominados como F1(2921pb) y F2(2057pb) se purificaron y se corrieron en un gel de agarosa al 1.5%. C) Gel de ligación donde se muestran los controles sin ligasa (F1- y F2-) y con ligasa (F1+ y F2+), además de la ligación entre F1 y F2 (F1/F2). D) Imagen del gel utilizado para caracterizar los candidatos de la ligación F1/F2 (pSG5-HA-p37rAUF1) por medio de digestión EcoRI/SacI que genera para pSG37 una banda de 785pb correspondiente a la eliminación del inserto de 11 nucleótidos de pSG5-HA-11n-p37rAUF1. C3 y C2 se eligieron para su comprobación por secuenciación.

Para generar los vectores pSG5-HA-p40rAUF1 y pSG5-HA- p42rAUF1, se digirieron los vectores pSG5-HA-p37rAUF1 y pSG5-HA-p45rAUF1 con las enzimas EcoRI y SacI, generando fragmentos de 4193 pb / 785 pb y 4340 pb/ 842 pb respectivamente y se intercambiaron los fragmentos de menor tamaño. Las construcciones fueron verificadas por restricción y secuenciación. (**Figura 15**)**(Secuencias ver Anexo I)**

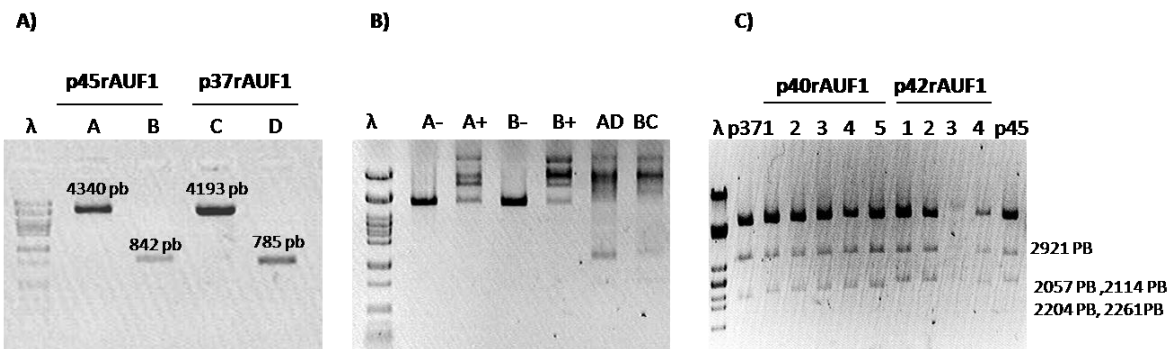


Figura 15. Construcción de los vectores pSG5HA-p40rAUF1 y pSG5HA-p42rAUF1. A) Digestión EcoRI/SacI de los plásmidos pSG5-HA-p45rAUF1 y pSG5-HA-p37rAUF1, se muestran los fragmentos purificados. B) Ligación entre los fragmentos de 4340 pb / 785 pb (AD) y 4193 pb / 842 pb (BC) para generar pSG5-HA-p42rAUF1 y pSG5-HA-p40rAUF1 respectivamente. C) Gel de caracterización de los candidatos de las ligaciones AD y BC, utilizando las enzimas EagI/AseI.

4.2 Construcción de los vectores pCMV-Myc-AUF1

Construimos los vectores pCMV-Myc-p37rAUF1, pCMV-Myc-p40rAUF1, pCMV-Myc-p42rAUF1 y pCMV-Myc-p45rAUF1, que expresan las isoformas de AUF1 fusionadas a una etiqueta de Myc en su región amino terminal y dirigidas por el promotor de citomegalovirus (pCMV) (**Figura 9**).

Se digirieron los plásmidos pSG5-HA-p37rAUF1, pSG5-HA-p40rAUF1, pSG5-HA-p42rAUF1 y pSG5-HA-p45rAUF1 con las enzimas Pvull y EcoRI. Se purificaron los fragmentos más grandes de cada digestión y fueron ligados de manera independiente con un fragmento de PCR con extremos compatibles (**Figura 16**). El fragmento de PCR se obtuvo utilizando los primers CMV 5' Pvull (**011**) y Myc 3'EcoRI (**012**) y como templado el plásmido pCDNA3-Myc-TBP (**Figura 5**). Los vectores pCMV-Myc-rAUF1 fueron secuenciados antes de ser utilizados para transfección. (**Secuencia ver Anexo I**)

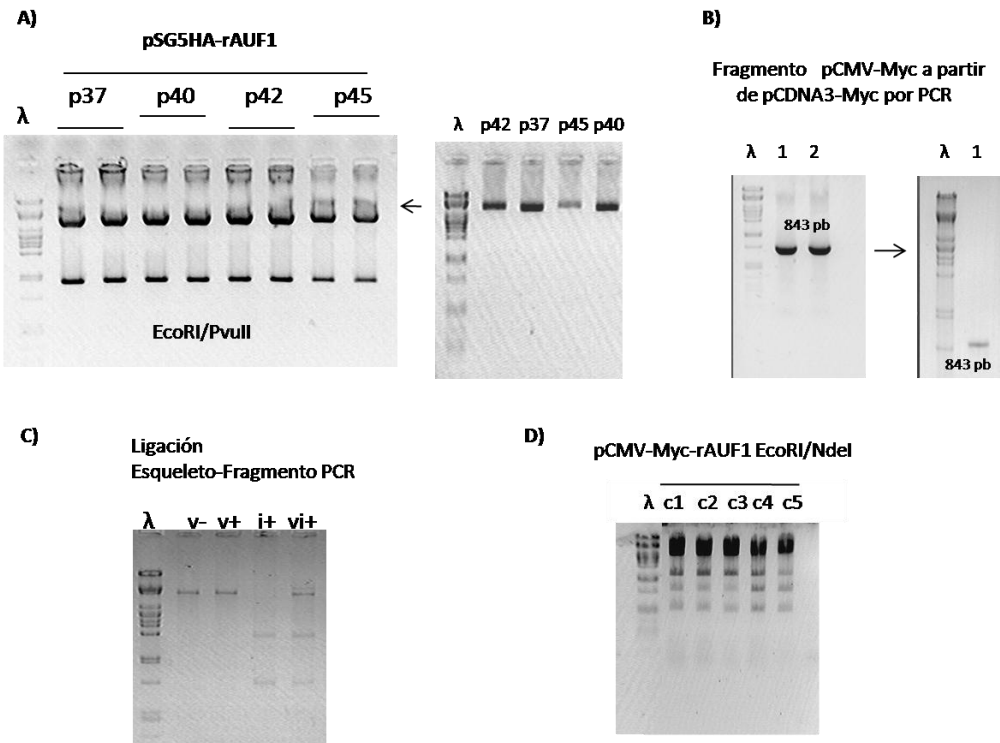


Figura 16. Generación de los vectores pCMV-Myc-AUF1. **A)** Digestion EcoRI/PvuII de los plásmidos pSG5-HA-p37rAUF1, pSG5-HA-p40rAUF1, pSG5-HA-p42rAUF1 y pSG5-HA-p45rAUF1, como estrategia para remover el promotor de SV40 y la etiqueta de hemaglutinina (HA); también se muestran los fragmentos de los esqueletos purificados. **B)** Amplificación por PCR del promotor de CMV y la etiqueta de Myc, con los iniciadores CMV 5' PvuII / Myc 3' EcoRI. **C)** Gel de ligación del fragmento CMV-Myc en el esqueleto pSG5-HA-rAUF1 entre los sitios PvuII y EcoRI, utilizando un vector (v) defosforilado para aumentar la eficiencia de ligación. **D)** Caracterización del vector pCMV-Myc-rAUF1 utilizando las enzimas NdeI/EcoRI. **C** y **D** corresponden a la ligación y caracterización del pCMV-Myc-p45rAUF1.

4.3 Construcción de los vectores pGEX4T-1-rAUF1

Los vectores pGEX4T-1-AUF1 fueron construidos para producir de manera rápida y sencilla, las proteínas AUF1 en un sistema bacteriano (*E.coli*), con la finalidad de utilizar las proteínas como controles positivos para evaluar los anticuerpos anti-AUF1 con los que contamos en el laboratorio de biología molecular mediante ensayos de western blot. Las secuencias clonadas en el vector pSG5-HA de las isoformas p45rAUF1, p37hAUF1 y p45hAUF1, se obtuvieron mediante digestión con las enzimas EcoRI y Sall (1222pb, 1024 y 1228pb respectivamente) y se clonaron entre los mismos sitios en el vector pGEX4T-1 donado amablemente por el Dr. Pavel Isa (UNAM) (**Figura 17**). Se clonaron dos secuencias de humano (p37hAUF1 y p45hAUF1) y una secuencia de rata (p45rAUF1), para confirmar que los anticuerpos sirven para esas especies. (**Secuencias ver Anexo I**)

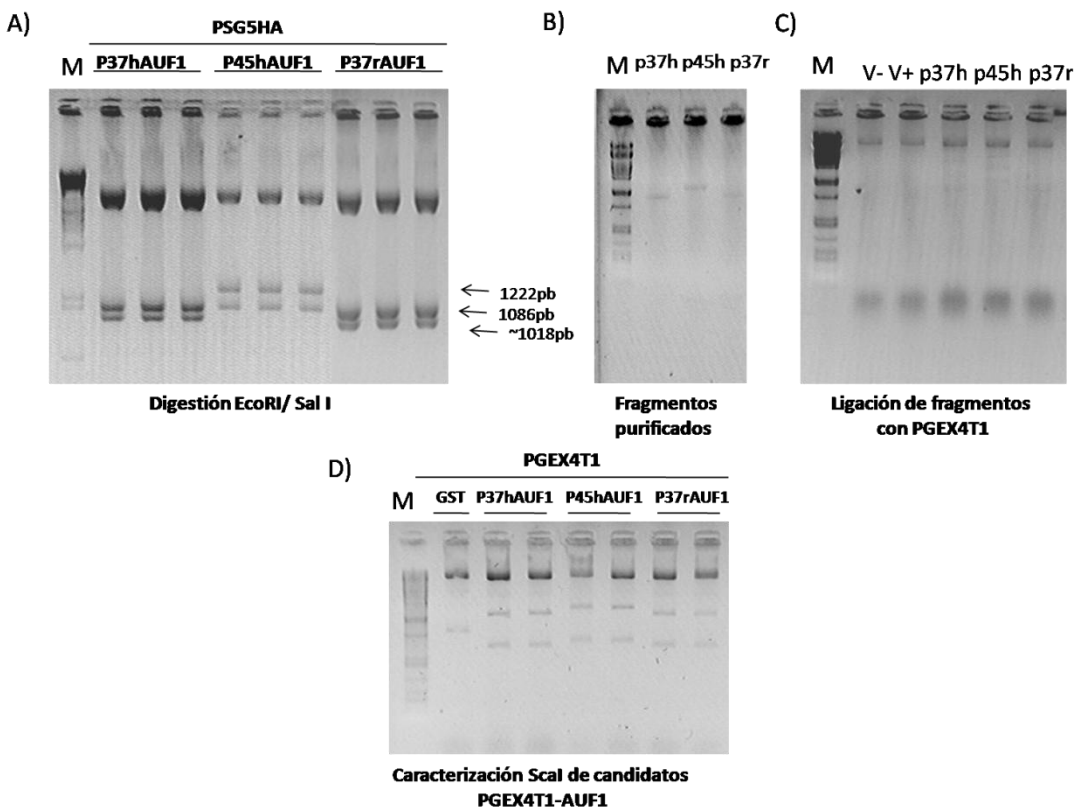


Figura 17. Construcción de los vectores PGX4T1-AUF1. A) Digestión de los vectores PSG5HA-AUF1 con enzimas EcoRI/Sal I. B) Se purificaron los fragmentos que contenían las secuencias de p45 y p37 de humano y la p37 de rata. C) Se ligó cada fragmento purificado con el vector PGEX4T1 digerido previamente con EcoRI/ Sal I. D) Se caracterizaron los candidatos mediante una digestión enzimática, utilizando la enzima Scal.

4.3.1 Producción de GST-AUF1 en *E. coli* Top10F'

La producción de las proteínas de fusión GST-p37hAUF1, GST-p45hAUF1 y GST-p45rAUF1 de aproximadamente 62KD, 70KD y 70KD respectivamente, se realizó en la cepa *E. coli* Top10F' utilizando los vectores pGEX4T-1-AUF1 (**Figura 6**). Se transformaron los vectores pGEX4T-1- que expresan las proteínas p37hAUF1, p45hAUF1 y p45rAUF1 fusionadas en su extremo N-terminal a la glutatión-S transferasa (GST) y pGEX4T-1 que solo expresa la GST. Se generó un pre-inóculo, se inoculó 50mL de medio, se incubó hasta una $OD_{600nm} = 0.6$ y se indujo con IPTG. El tiempo total de inducción fueron 4 horas durante las cuales se tomaron muestras de a las 0, 2 y 4 horas.

Utilizando geles de acrilamida desnaturizantes se observó que la producción de las proteínas fusionadas a GST era notoria desde las 2 horas y que dicha producción no difería mucho a las 4 horas después de la inducción. Se utilizó el vector pGEX4T-1 como control de expresión el cual produce una banda de menor tamaño correspondiente a GST. (**Figura 18**)

PGEX-4T-1

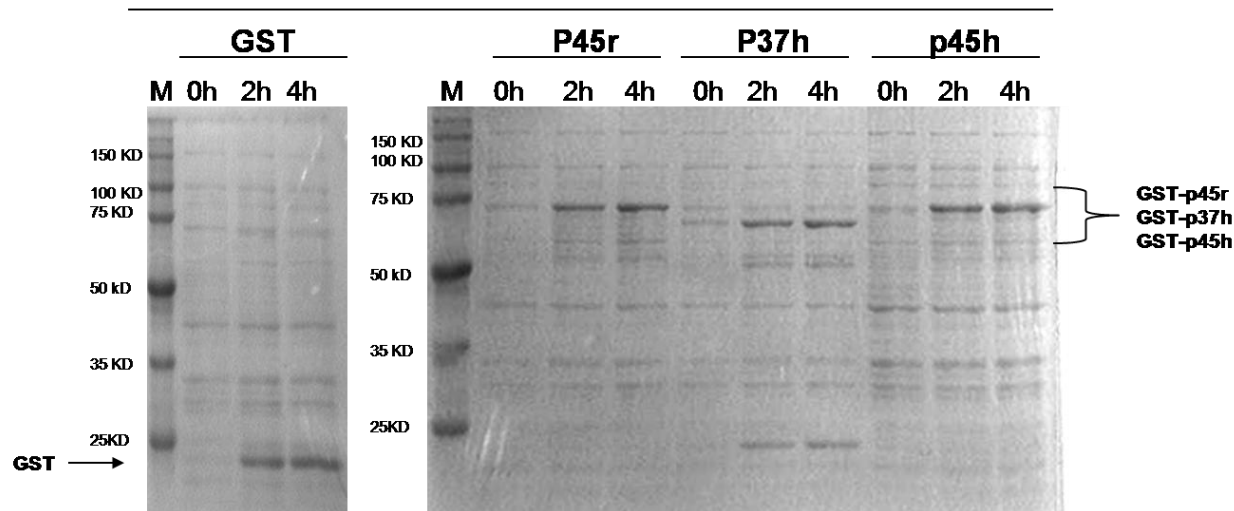


Figura 18. Producción de GST, GST-p45rAUF1, GST-p37hAUF1 y GST-p45hAUF1 en *E. coli* Top10F'. En la imagen se muestra la producción de las proteínas de fusión GST-p45rAUF1, GST-p37hAUF1 y GST-p45hAUF1 en la cepa Top10F' a partir de las construcciones en el vector pGEX4T-1 y como control la expresión de GST del vector pGEX4T-1 vacío. Para las proteínas de fusión y el control, observamos una banda incrementada del tamaño esperado, hasta las 2 horas la cual se mantuvo a las 4 horas.

4.4 Validación de la funcionalidad de anticuerpos Anti-AUF1.

En el laboratorio de biología molecular contamos con tres diferentes anticuerpos contra las proteínas AUF1: **T10**, **G10** de la casa comercial Santa Cruz Biotechnology y **AB995** donado amablemente por el Dr. Robert Schneider (Cornell University, N.Y.). Mientras que AB995 y T10 fueron diseñados para detectar las cuatro posibles isoformas de AUF1, G10 fue diseñado para detectar únicamente a las isoformas p45AUF1 y p42AUF1. Las proteínas de fusión GST-p45rAUF1, GST-p37hAUF1 y GST-p45hAUF1 producidas a partir del vector pGEX4T-1, fueron utilizadas como control positivo para una evaluación de los anticuerpos T10, G10 y AB995 mediante western blot.

Se tomaron volúmenes equivalentes de los cultivos de producción de GST-p45rAUF1, GST-p37hAUF1 y GST-p45hAUF1, se centrifugaron se descartó el sobrenadante y las pastillas de bacterias se lisaron en 10µL de agua NF + 10µL de buffer de carga 2X para SDS-PAGE durante 5 minutos a 94 C. Se procesó también el cultivo de GST como control para diferenciar entre la señal producida por las fusiones GST-AUF1 y el fondo de proteínas de la bacteria. Lo anterior se realizó por triplicado para obtener una membrana por cada anticuerpo a ser probado.

Las muestras se corrieron en un gel desnaturizante de acrilamida al 12 %. Cada set de muestras se transfirió a una membrana de PVDF. Se incubó cada membrana con su anticuerpo primario correspondiente diluido 1:1000 en TBST 1X y con una dilución de anticuerpo secundario 1:3000.

Únicamente la membrana utilizada para probar el anticuerpo AB995 presentó una señal clara en los tres extractos y no presentó reacción cruzada con las proteínas de la bacteria en el extracto de GST; sin embargo se presentó más de una banda en los extractos correspondientes a GST-AUF1. Esto se adjudica a productos de la degradación de las proteínas de fusión, debido a que el medio no fue suplementado con inhibidores de proteasas (**Figura 19**).

En el caso de T10 se observa una línea tenue en el carril de p37hAUF1 sin embargo la señal no es clara ni intensa y se presenta señal no específica en los otros extractos incluyendo el extracto para GST solo, lo que implica una reacción cruzada contra proteínas propias de la bacteria. En la membrana de G10 no se observa una banda definida, se aprecia un fondo inespecífico en todos los extractos (**Figura 19**).

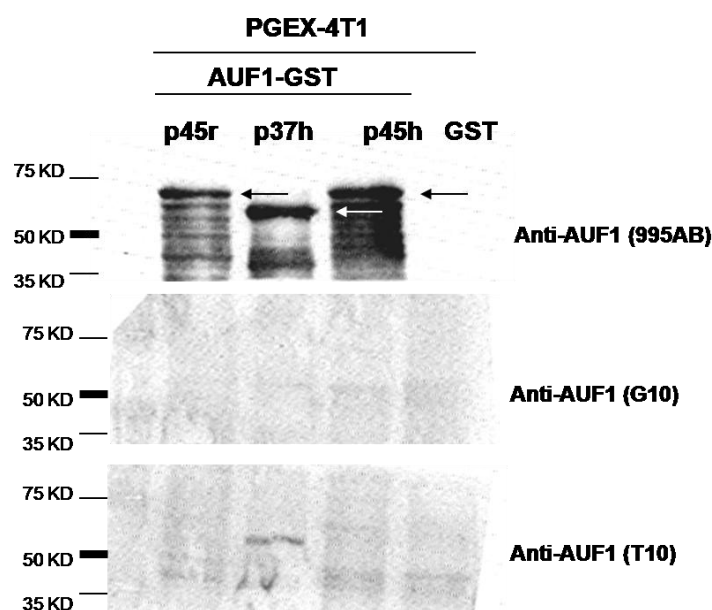


Figura 19. Validación de la funcionalidad de anticuerpos Anti-AUF1. Los anticuerpos AB995, G10 y T10 fueron probados contra extractos proteicos de bacterias que producen las proteínas de fusión GST-p45rAUF1, GST-p37hAUF1, GST-p45hAUF1 y GST sola, a partir de las construcciones pGEX4T-1-AUF1 y pGEX4T-1. Únicamente AB995 detecta de manera eficiente y específica a las tres proteínas de fusión indicadas por las flechas que señalan las tres bandas principales, las bandas inferiores corresponden a productos de degradación debido a que el medio no se suplementó con inhibidores de proteasas. G10 mostró un patrón inespecífico y T10 detectó GST-p37hAUF1 muy tenuemente pero no GST-p45hAUF1 y GST-p45rAUF1, además de presentar bandas inespecíficas en el extracto de GST solo.

4.5 Validación del modelo celular.

Para demostrar que únicamente las líneas celulares PC12/Wnt1+ y PC12/HB+ expresan el oncogen Wnt1 de manera constitutiva, se realizó un ensayo de RT-PCR en cDNA de líneas celulares PC12, para amplificar el gen Wnt1. En la **Figura 20** se muestra el resultado de la PCR en donde se observa amplificación únicamente en los carriles correspondientes a los cDNAs de PC12/Wnt1+ y PC12/HB+, mientras que no se detecta ninguna banda amplificada en los extractos de PC12 y PC12/HB-. Como control del experimento se realizó una PCR contra el gen de la β -actina.

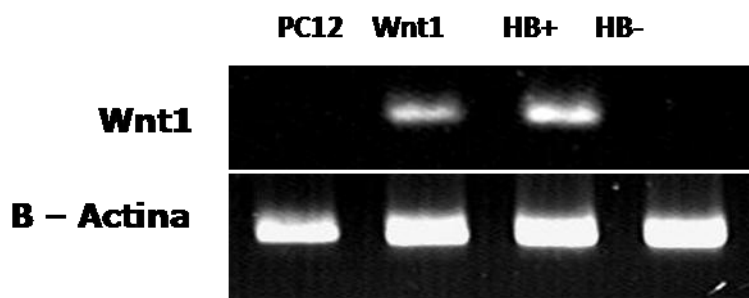


Figura 20. Expresión de wnt1 en células PC12. Por PCR se analizó la expresión del oncogen wnt1 en las cuatro líneas celulares de PC12 y se normalizó la carga de ADNc por medio de una PCR contra el mensajero de β -actina.

4.6 El elevado contenido de G y C en la secuencia de los exones 1 y 2 del marco de lectura de AUF1 provoca delecciones que se generan durante la amplificación por PCR.

Con anterioridad en un intento por aislar el marco de lectura de las cuatro isoformas de AUF1 a partir de células PC12, se aislaron secuencias aberrantes las cuales presentaban la ausencia de una región de tamaño variable localizada en el extremo 5' del marco de lectura comprendiendo la región de los exones 1 y 2. En su mayoría estas delecciones generaban codones prematuros de terminación lo que provocaba la no traducibilidad de estas secuencias; sin embargo la ausencia de la región comprendida entre las bases 59 y 168 generaba un marco de lectura completo de las secuencias que presentaban esta deleción, pudiendo también presentarse el splicing característico de los exones 2 y 7.

Con la posibilidad de haber aislado nuevas isoformas, generadas por un evento de “splicing” diferente a lo ya reportado, nos enfocamos en dilucidar el origen de las secuencias aisladas por PCR a partir de células PC12. En un análisis de secuencia del marco de lectura de AUF1 (**Figura 21**) se encontró que el contenido de G y C de la secuencia de los exones 1 y 2 corresponde al 70% mientras para el resto de la secuencia comprendida entre el exón 3 y el exón 8 el contenido de G y C es de 44%.

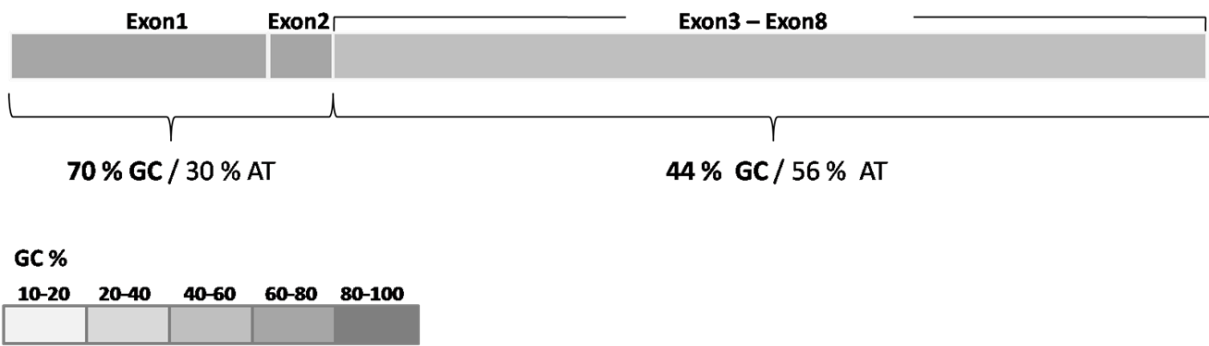


Figura 21. Representación esquemática del contenido de GC en el marco de lectura de AUF1.

Con anterioridad algunos autores han reportado problemas de amplificación relacionados al alto contenido de G y C en la secuencia del templado, por lo que montamos un experimento de PCR en donde nos aseguramos de partir de templados completos de las isoformas de AUF1, las secuencias están clonadas en los vectores pSG5HA-rAUF1 los cuales fueron confirmados por secuenciación (Ver anexo X). El resultado de este ensayo de PCR (**Figura 22 B**) nos indicó que mientras los tamaños esperados estaban entre los 850 y 1062 pares de bases, las 4 bandas principales estaban comprendidas entre las 700 y 900 pares de bases, similar a lo que se encontraba cuando se utilizaba como templado ADNc de células PC12 (**Figura 22A**). El resultado de la secuenciación de estos productos de PCR, nos indicaba que la generación de las secuencias aberrantes, se producía durante la amplificación del marco de lectura de AUF1 por PCR (Ver Alineamiento Anexo II).

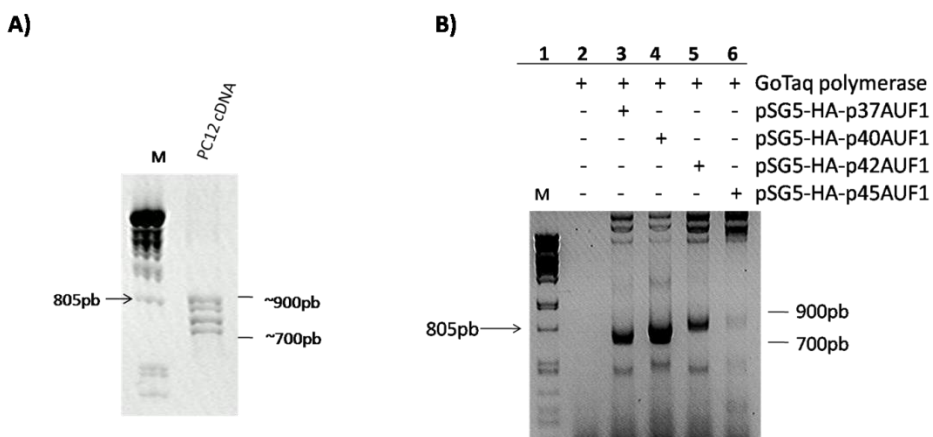


Figura 22. Las secuencias aberrantes de AUF1 corresponden a artefactos generados durante la PCR. **A)** Las 4 bandas principales se ubican entre 700 y 900 pb cuando se amplifica el marco de lectura de AUF1 a partir de ADNc de células PC12. **B)** Cuando se utilizan como templado las secuencias completas de AUF1 clonadas en el vector pSG5HA-rAUF1, los productos de la PCR se ubican también entre 700 y 900 pb, y son secuencias truncas confirmadas por secuenciación.

Utilizando el estuche Advantage GC 2-PCR de Clontech, especializado en la amplificación de templados con regiones ricas en G y C, se estandarizaron las condiciones de amplificación utilizando como templado el ADNc de células PC12 y se varió la temperatura de alineamiento/extensión y la concentración de agente desnaturalizante GC melt, y como control, la amplificación con el estuche de Master Mix Go Taq (Promega) de los marcos de AUF1 a partir de ADNc de células PC12. (**Figura 23 A**). Una vez estandarizadas las condiciones fueron 64°C de alineamiento/extensión y 0.5M de GC melt y se montó un ensayo en el cual se utilizó como templado las secuencias clonadas en los vectores pSG5HA-rAUF1. El resultado de esta PCR (**Figura 23 B**) fue la amplificación de 4 bandas principales que se ubicaron entre los 850 y 1062 pares de bases por los que concluimos que la región rica en G y C de los exones 1 y 2 era la responsable de la generación de estos artefactos durante la amplificación por PCR.

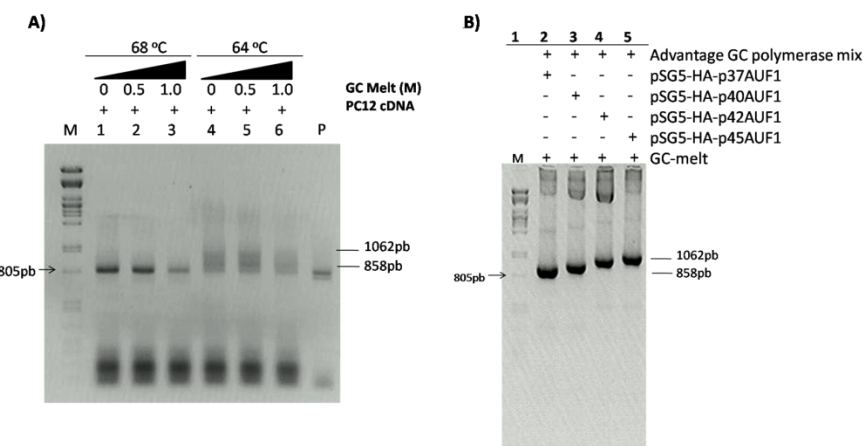


Figura 23. Secuencias ricas GC en el ORF de AUF1 genera errores durante la PCR. A) Ensayo de estandarización para el empleo del estuche comercial Advantage GC 2-PCR para la amplificación del marco de lectura de AUF1, empleando como templado el ADNc de células PC12 y variando la concentración de agente desnaturalizante y la temperatura de alineamiento/extensión. **B)** PCR empleando el estuche comercial Advantage GC 2-PCR en el cual se utilizan como templado las secuencias completas de cada isoforma de AUF1 clonadas en el vector pSG5HA.

4.7 Las proteínas AUF1 se expresan en bajos niveles en las líneas celulares PC12.

Una vez que se obtuvieron los extractos proteicos correspondientes a las fracciones nucleares y citoplásmicas de las líneas celulares PC12, PC12-Wnt1+, PC12-Hb+ y PC12-Hb-. Se corrieron el equivalente a 5 y 20 microgramos respectivamente en geles de poliacrilamida al 12% (**Figura 24**).

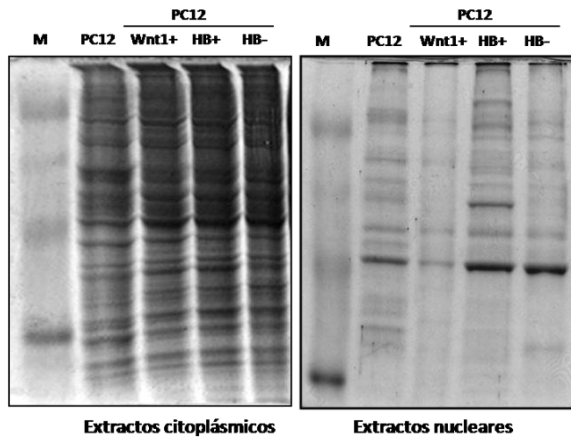


Figura 24. Geles de poliacrilamida al 12%. Extractos citoplásmicos (20 μ g) y nucleares (5 μ g).

Dichos extractos se utilizaron para detectar la presencia de las isoformas de la proteína AUF1 en ambos compartimentos para cada una de las líneas celulares (**Figura 25**). Se utilizó el anticuerpo 995AB (IgG de Conejo-Anti-AUF1, donado por el Dr. Robert Schneider) para la detección de las isoformas de AUF1 en cada extracto de los cuales se cargaron cantidades equivalentes a 50 microgramos de extractos proteicos de citoplasma y 20 microgramos de extracto proteico de núcleo. Aun y cuando en los extractos citoplásmicos y nucleares se utilizaron cantidades elevadas de proteína total (50 y 20 microgramos respectivamente), únicamente fue posible detectar la presencia de AUF1 en el compartimiento nuclear con una intensidad muy baja. Sin embargo fue imposible detectar señal alguna en los extractos correspondientes a citoplasma en los cuales si se pudo detectar la presencia del gen control β -actina. En ambos ensayos se utilizó como control positivo de la técnica, un extracto crudo de *E. coli* productora de GST-p37rAUF1, el cual dio señal en ambas membranas confirmando que la técnica fue bien realizada.

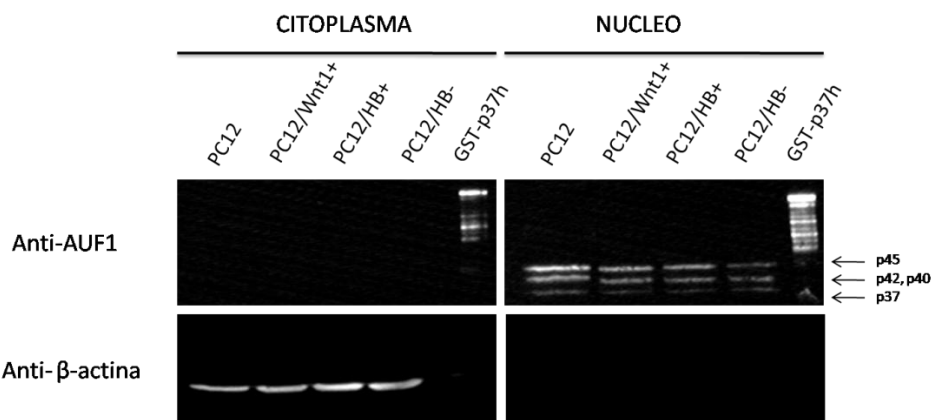


Figura 25. Western Blot contra AUF1 en compartimentos citoplásmicos y nucleares. WB contra AUF1 utilizando el anticuerpo 995AB.

CAPÍTULO V

DISCUSIÓN Y CONCLUSIONES

La expresión de un gene es la suma de la participación de varios mecanismos de regulación, los cuales son a su vez influidos por estímulos dependientes del entorno celular. Las isoformas de AUF1 están relacionadas al proceso de recambio de ARNm en el citoplasma a través de la unión de AUF1 a elementos ricos en A y U (ARE's por sus siglas en inglés) localizados en la región 3' no traducible (3' UTR) de los mensajeros blanco de AUF1.

Aunque la función de AUF1 depende principalmente de su expresión, existen además mecanismos que regulan su función a otros niveles tales como la distribución núcleo-citoplasma de las isoformas de AUF1, las cuales han sido reportadas como proteínas principalmente nucleares y que sin embargo poseen la capacidad de viajar a través de la membrana nuclear hacia el citoplasma en donde se sabe interaccionan con elementos ARE dirigiendo la degradación de mensajeros de citocinas y proto-oncogenes como c-Fos, c-Myc y ciclina D1 los cuales coincidentemente resultan ser blancos transcripcionales de la vía de señalización Wnt/ β -catenina.

En el 2006 en un intento por aislar las secuencias de las 4 isoformas de AUF1 por PCR a partir de ADNc de células PC12 nos encontramos con secuencias que denominamos “aberrantes”, truncas en el extremo 5' de las isoformas en una región que abarcaba la secuencia de los exones 1 y 2, además estas secuencias truncas presentaban el “splicing” característico de las cuatro isoformas de AUF1. Aunque en la mayoría de las secuencias truncas aparecían codones de terminación que impedían la traducibilidad de las isoformas, la depleción de la secuencia comprendida entre la base 59 y 168 generaba marcos de lectura completos que sumados a los eventos de “splicing” de los exones 2 y 7 característicos de las secuencias de AUF1 resultaba en posibles nuevas isoformas mas pequeñas que las ya reportadas.

En este trabajo intentamos identificar el origen de las secuencias “aberrantes” aisladas en el 2006 a partir de ADNc de células PC12 y dilucidar el posible efecto de la denominada vía clásica de Wnt, sobre la expresión génica y la regulación de ciertos aspectos como la distribución núcleo-citoplasma de las isoformas de AUF1.

Durante el estudio identificamos dos aspectos importantes: a) las secuencias aberrantes aisladas a partir de ADNc de células PC12 son artefactos generados durante la PCR por efecto de una región rica en G y C ubicada en el dominio de los exones 1 y 2, b) Las proteínas de las isoformas de AUF1 son expresadas en niveles muy bajos en células PC12 siendo detectable únicamente en núcleo, por lo que hace imposible definir si una fracción no detectable por western blot está presente en la fracción citoplásmica.

5.1 Origen de las secuencias “aberrantes”

La amplificación por PCR de cuatro productos de menor tamaño a la esperado, partiendo de los templados completos de las isoformas de AUF1 (**Figura 22 A**), indica que las secuencias “aberrantes” son generadas durante la amplificación del marco de lectura de AUF1. Sin embargo las delecciones estaban delimitadas a una región conformada por los exones 1 y 2, lo que nos sugirió un efecto dependiente de la secuencia. La amplificación de cuatro productos del tamaño esperado a partir de los templados completos de las isoformas de AUF1 utilizando un estuche comercial especializado en la amplificación de regiones con altos contenidos de G y C (**Figura 23 B**) nos indicó que el efecto aberrante durante la amplificación, se debía al alto contenido de G y C en la secuencia del exón 1 y 2.

Existen reportes en los que altos contenidos de G y C eran responsables de impedir el paso de la polimerasa a través de este tipo de regiones por la formación de estructuras secundarias dentro del templado. El resultado generalmente era la ausencia de señal de la PCR (37,38).

Sin embargo existen además reportes de la formación de productos recombinantes a través del fenómeno de “template switching” en el cual una hebra naciente puede cambiar de templado alineando en sitios homólogos o parcialmente homólogos diferentes al sitio inicial de “priming”, resultando en la formación de productos totalmente diferentes (39-41). Un modelo que explica mejor la formación de las secuencias aberrantes de AUF1 durante la PCR del marco de lectura es aquel en el que se propone la formación de pseudo-primers como resultado de la amplificación trunca debida a las estructuras secundarias generadas por el alto contenido en G y C. Estos pseudo primers pueden en ciclos subsecuentes de PCR, alinear en sitios parcialmente homólogos río abajo del sitio original de alineamiento para el primer (**Figura 26**).

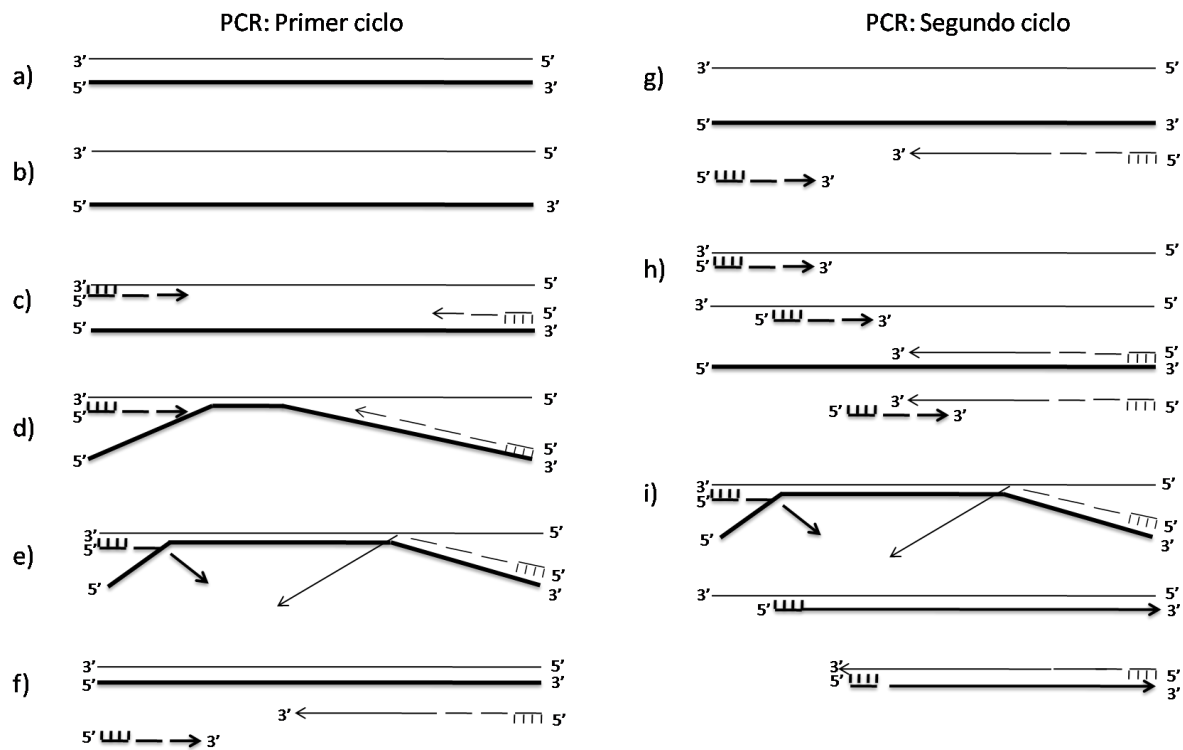


Figura 26. Modelo que explica la formación de secuencias “aberrantes” durante la amplificación del marco de lectura de AUF1. a), b) y c) ADN de doble cadena, paso de desnaturación del ADN y alineamiento de los primers originales respectivamente. d) Rápida renaturalización de las cadenas de ADN en una zona rica en G y C provocando que se generen productos de amplificación trunco que conforme se da el paso de renaturalización son desplazados del templado e) y f). g) Paso de desnaturación durante el segundo ciclo de PCR, h) en el paso de alineamiento, los primers originales se alinean en su posición correcta mientras que los productos de amplificación trunco pueden actuar como primers alineando en sitios parcialmente homólogos en regiones río abajo del sitio original de alineamiento del primer. i) Mientras los primers originales son detenidos por la renaturalización de los templados, los pseudo primers amplifican secuencias completas omitiendo una porción de la secuencia en el extremo 5'.

5.2 Las proteínas de AUF1 se expresan en bajos niveles en células PC12 y aparentemente no sufren cambios en su distribución núcleo-citoplasma por la activación constitutiva de la vía clásica de Wnt.

No obstante que las proteínas de AUF1 son principalmente nucleares, el hecho de que únicamente fueron detectadas en la fracción nuclear, no elimina la posibilidad de que puedan estar presentes en niveles no detectables por Western Blot en la fracción de citoplasma. Es por eso que aunque aparentemente por Western Blot no existe efecto alguno sobre la distribución núcleo-citoplasma de las isoformas de AUF1, es importante validar este resultado mediante el uso de una técnica que no dependa de los niveles endógenos de proteína, como por ejemplo la inmunofluorescencia, que utiliza vectores que permiten la sobre expresión de cada isoforma fusionada a una etiqueta como el epitope de MYC, para la cual existe ya un anticuerpo comercial disponible. Dichos vectores permitirán monitorear no solo el efecto de la vía clásica wnt sobre la localización núcleo-citoplasma de AUF1, si no que permitirán además probar el efecto de otros estímulos que puedan incidir de manera directa sobre la distribución subcelular de las isoformas de AUF1.

ANEXO I

SECUENCIAS DE LOS VECTORES

VECTORES PSG5-HA-rAUF1

Regiones resaltadas en el texto:

ATGGCTT ACCCATACGA TGTTCCAGAT TACGCT: Inicio de la traducción y epitope HA

GAAT TC: Sitio de corte EcoRI

Texto en Azul y Negritas: Secuencia del marco de lectura de AUF1

PSG5-HA-p45rAUF1

GTCGACTTCT GAGGC GGAAA GAACC AGCTG TGGAAT GTGT GTCAGTTAGG GTGTGGAAAG
TCCCAGGCT CCC CAGCAGG CAGAAGTATG CAAAGCATGC ATCTCAATT A GTCA GCA ACC
AGGTGTGGAA AGTCCCAGG CTCCCCAGCA GGCAGAAGTA TGCAAAGCAT GCATCTCAAT
TAGTCAGCAA CCATAGTCCC GCCCCTA ACT CCGCCCATCC CGCCCTAAC TCCGCCAGT
TCCGCCATT CTCCGCCCA TGGCTGACTA ATT TT TTTA TTTATGCAGA GGCGGAGGCC
GCCTCGGCCT CTGAGCTATT CCAGAAGTAG TGAGGAGGCT TTTTGAGG CCTAGGCTTT
TGCAAAAAGC TGGATCGATC CTGAGAACTT CAGGGTGAGT TTGGGGACCC TTGATTGTT
TTTCTTTTC GCTATTGTAA AATT CATGTT ATATGGAGGG GGCAAAGTT TCAGGGTGT
GTTTAGAATG GGAAGATGTC CCTTGATCA CCATGGACCC TCATGATAAT TTTGTTCTT
TCACTTTCTA CTCTGTTGAC AACATTGTC TCCTCTTATT TTCTTTCAT TTTCTGTAAC
TTTTCTGTA AACTTAGCT TGCAATTGTA ACGAATT TTT AAATT CACTT TTGTTTATT
GTCAGATTGT AAGTACTTTC TCTAATCACT TTTTTTCAA GGCAATCAGG GTATATTATA
TTGTACTTCA GCACAGTTT AGAGAACAA TGT TATAATT AAATGATAAG GTAGAATATT
TCTGCATATA AATTCTGGCT GGC GTGGAAA TATTCTTATT GGTAGAAACA ACTACATCCT
GGTCATCATC CTGCCCTTCT CTTTATGGTT ACAATGATAT ACAC TGTGTT AGATGAGGAT
AAAATACTCT GAGTCCAAAC CGGGCCCCTC TGCTAACCAT GTTCATGCCT TCTCTTTT
CCTACAGCTC CTGGGCAACG TGCTGGTTAT TGCTGTTCT CATCATTG GCAAAGAATT
GTAATACGAC TCACTATAGG GCGAATT TCC ACC ATGGCTT ACCCATACGA TGTTCCAGAT
TACGCTGAAT TCAGCACTAT GTCGGAGGAG CAGTT CGGAG GGGACGGGGC GGCGCGGGCG
GCAACGGCGG CGGTAGGCGG CTCGGGGC GAGCAGGAGG GAGCCATGGT GGCGCGGGCG
CAGGGGGCAG CGGGCGCGGC GGGAAAGCGGG AGCGGCGGC GCTCTGCGGC CGGAGGCACC
GAAGGAGGCA GCACCGAGGC AGAGGGAGCG AAGATCGACG CCAGTAAGAA TGAGGAGGAT
GAAGGCCATT CAAACTCCTC CCCACGACAC ACTGAAGCAG CGACGGCACA GCGGGAAAGAA
TGGAAAATGT TTATAGGAGG CCTTAGCTGG GACACCACAA AGAAAGACCT GAAGGACTAC
TTTTCCAAT TTGGGGACGT TGTAGACTGC ACTCTGAAGT TAGATCCTAT CACAGGGCGA
TCAAGGGTT TTGGCTTTGT GCTATTAAA GAGTCGGAGA GTGTAGATAA GGTCA TGGAT
CAGAAAGAAC ATAAATTGAA TGGGAAAGTC ATTGATCCTA AAAGGGCCAA AGCCATGAAA
ACAAAAGAGC CCGTAAAAA AATT TTTGTT GGTGGCCTT CTCCAGACAC ACCTGAAGAA
AAAATAAGAG AGTACTTTGG TGGTTTGGT GAGGTTGAAT CCATAGAGCT GCCTATGGAC
AACAAAGACCA ATAAGAGGCG TGGGTTCTGT TTCATTACCT TTAAGGAAGA GGAACCAGTG
AAGAAGATAA TGGAGAAGAA ATACCACAAAT GTTGGTCTTA GTAAATGTGA AATAAAAGTA
GCCATGTCGA AGGAGCAGTA TCAGCAGCAG CAGCAGTGGG GATCTAGAGG AGGGTTGCA

GGAAGAGCTC GCGGAAGAGG CGGTGGCCCC AGTCAAAACT GGAACCAGGG ATATAGTAAC
TATTGGAACC AAGGCTATGG CAGCTATGGA TATAACAGCC AAGGGTACGG TGGTTATGGA
GGATATGACT ACACTGGTTA CAACAGCTAC TATGGATATG GTGACTATAG CAATCAGCAG
AGTGGTTATG GGAAAGTATC CAGACGAGGT GGTCATCAA ATAGCTACAA ACCATACTAA
GGATCTTATT AAAGCAGAAC TTGTTATTG CAGCTTATAA TGTTACAAA TAAAGCAATA
GCATCACAAA TTTCACAAAT AAAGCATTTC TTTCACTGCA TTCTAGTTGT GGTTTGTCCA
AACTCATCAA TGTATCTTAT CATGTCCTGGT CGACTCTAGA CTCTTCCGCT TCCTCGCTCA
CTGACTCGCT GCGCTCGGTC GTTCGGCTGC GGCAGCGGT ATCAGCTCAC TCAAAGGC
TAATACGGTT ATCCACAGAA TCAGGGATA ACGCAGGAAA GAACATGTGA GCAGAAAGGCC
AGCAAAAGGC CAGGAACCGT AAAAAGGCCG CGTTGCTGGC GTTTTCCAT AGGCTCCGCC
CCCCTGACGA GCATCACAAA AATCGACGCT CAAGTCAGAG GTGGCGAAC CCGACAGGAC
TATAAAGATA CCAGGCGTTT CCCCCCTGGAA GCTCCCTCGT GCGCTCTCCT GTTCCGACCC
TGCGCTTAC CGGATACTG TCCGCCCTTC TCCCTTCGGG AAGCGTGGCG CTTCTCAAT
GCTCACGCTG TAGGTATCTC AGTTGGTGT AGGTCGTTG CTCAGCTG GGCTGTGTGC
ACGAACCCCC CGTTCAGCCC GACCCTGCG CCTTATCCGG TAACTATCGT CTTGAGTCCA
ACCCGGTAAG ACACGACTTA TCGCCACTGG CAGCAGCCAC TGGTAACAGG ATTAGCAGAG
CGAGGTATGT AGGCGGTGCT ACAGAGTTCT TGAAGTGGTG GCCTAACTAC GGCTACACTA
GAAGGACAGT ATTTGGTATC TGCGCTCTGC TGAAGCCAGT TACCTTCGGA AAAAGAGTTG
GTAGCTCTTG ATCCGGAAA CAAACCACCG CTGGTAGCGG TGTTTTTTT GTTGCAAGC
AGCAGATTAC GCGCAGAAAA AAAGGATCTC AAGAAGATCC TTTGATCTT TCTACGGGGT
CTGACGCTCA GTGGAACGAA AACTCACGTT AAGGGATTT GGTATGAGA TTATCAAAA
GGATCTTCAC CTAGATCCTT TTAAATTAAA AATGAAGTTT TAAATCAATC TAAAGTATAT
ATGAGTAAAC TTGGTCTGAC AGTTACCAAT GCTTAATCAG TGAGGCACCT ATCTCAGCGA
TCTGTCTATT TCGTTCATCC ATAGTTGCCT GACTCCCCGT CGTGTAGATA ACTACGATAC
GGGAGGGCTT ACCATCTGGC CCCAGTGCTG CAATGATAAC GCGAGACCCA CGCTCACCG
CTCCAGATT ATCAGCAATA AACCAAGCCAG CCGGAAGGGC CGAGCGCAGA AGTGGTCCTG
CAACTTATC CGCCTCCATC CAGTCTATT ATTGTTGCCG GGAAGCTAGA GTAAGTAGTT
CGCCAGTTAA TAGTTGCGC AACGTTGTTG CCATTGCTAC AGGCATCGT GTGTCACGCT
CGTCGTTGG TATGGCTTCA TTCAGCTCCG GTTCCCAACG ATCAAGCGA GTTACATGAT
CCCCCATGTT GTGAAAAAAA GCGGTTAGCT CCTTCGGTCC TCCGATCGTT GTCAGAAGTA
AGTTGGCCGC AGTGTATCA CTCATGGTTA TGGCAGCACT GCATAATTCT CTTACTGTCA
TGCCATCCGT AAGATGCTT TCTGTGACTG GTGAGTACT AACCAAGTCA TTCTGAGAAT
AGTGTATGCG GCGACCGAGT TGCTCTGCC CGGCGTCAAT ACGGGATAAT ACCGGGCCAC
ATAGCAGAAC TTTAAAAGTG CTCATCATTG GAAAACGTT TCAGGGCGA AAACCTCTCAA
GGATCTTACC GCTGTTGAGA TCCAGTCGA TGTAACCCAC TCGTGCACCC AACTGATCTT
CAGCATCTT TACTTCACC AGCGTTCTG GGTGAGCAAA AACAGGAAGG CAAAATGCCG
AAAAAAAGGG AATAAGGGCG ACACGAAAT GTTGAATACT CATACTCTTC TTTTTCAAT
ATTATTGAAG CATTATCAG GTTATTGTC TCATGAGCGG ATACATATT GAATGTATT
AGAAAAATAA ACAAATAGGG GTTCCCGCGCA CATTCCCCG AAAAGTGCAC CCTGACGTCT
AAGAAACCAT TATTATCATG ACATTAACCT ATAAAATAG GCGTATCAG AGGCCCTTT
CGTCTCGCGC GTTCCGGTGA TGACGGTGAA AACCTCTGAC ACATGCAGCT CCCGGAGACG
GTCACAGCTT GTCTGTAAGC GGATGCCGGG AGCAGACAAG CCCGTCAAGGG CGCGTCAGCG
GGTGTGGCG GGTGTGGGG CTGGCTTAAC TATGCGGCAT CAGAGCAGAT TGTACTGAGA
GTGCACCATA TGCGGTGTGA AATACCGCAC AGATGCGTAA GGAGAAAATA CGCAGTCAGG
AAATTGTAAA CGTTAATATT TTGTTAAAAT TCGCGTTAAA TTTTGTTAA ATCAGCTCAT
TTTTTAACCA ATAGGCCGAA ATCGGCAAA TCCCTTATAA ATCAAAGAA TAGACCGAGA
TAGGGTTGAG TGTTGTTCCA GTTGGAAACA AGAGTCCACT ATAAAGAAC GTGGACTCCA
ACGTCAAAGG GCGAAAACC GTCTATCAGG GCGATGGCCC ACTACGTGAA CCATCACCT
AATCAAGTT TTTGGGGTGTAG AGGTGCCGTA AAGCACTAAA TCGGAACCCCT AAAGGGAGCC
CCCGATTAG AGCTTGACGG GGAAAGCCGG CGAACGTGGC GAGAAAGGAA GGGAGAAAG
CGAAAGGAGC GGGCGCTAGG GCGCTGGCAA GTGTAGCGGT CACGCTGCGC GTAACCACCA

CACCCGCCGC GCTTAATGCG CCGCTACAGG GCGCGTCGCG CCATTGCCA TTCAGGCTAC
GCAACTGTG GGAAGGGCGA TCGGTGCGGG CCTCTTCGCT ATTACGCCAG CTGGCGAAGG
GGGGATGTGC TGCAAGGCAGA TTAAGTTGGG TAACGCCAGG GTTTCCCAG TCACGACGTT
GTAAAACGAC GGCCAGTGAA TT

PSG5-HA-p37rAUF1

GTGACTTCT GAGGCGGAAA GAACCAGCTG TGGAATGTGT GTCAGTTAGG GTGTGGAAAG
TCCCCAGGCT CCCCAGCAGG CAGAAGTATG CAAAGCATGC ATCTCAATT A GTCAGCAACC
AGGTGTGAA AGTCCCAGG CTCCCCAGCA GGCAGAAGTA TGCAAAGCAT GCATCTCAAT
TAGTCAGCAA CCATAGTCCC GCCCCTAAGT CCGCCCCATCC CGCCCCCTAAC TCCGCCCCAGT
TCCGCCATT CTCCGCCCA TGGCTGACTA ATTTTTTTA TTTATGCAGA GGCGGAGGCC
GCCTCGGCCT CTGAGCTATT CCAGAAGTAG TGAGGAGGCT TTTTGGAGG CCTAGGCTTT
TGCAAAAAGC TGGATCGATC CTGAGAACTT CAGGGTGAGT TTGGGGACCC TTGATTGTT
TTTCTTTTC GCTATTGTAA AATTCTATGTT ATATGGAGGG GGCAAAGTT TCAGGGTGT
GTTTACAATG GGAAGATGTC CCTTGATCA CCATGGACCC TCATGATAAT TTTGTTCTT
TCACTTCTA CTCTGTTGAC AACATTGTC TCCTCTTATT TTCTTTCAT TTTCTGTAAC
TTTTCTGTA AACTTTAGCT TGCAATTGTA ACGAATTAAAT AAATTCACCT TTGTTTATTT
GTCAGATTGT AAGTACTTTC TCTAATCACT TTTTTTCAA GGCAATCAGG GTATATTATA
TTGTACTTCA GCACAGTTT AGAGAACAAAT TGTTATAATT AAATGATAAG GTAGAATATT
TCTGCATATA AATTCTGGCT GGCCTGGAAA TATTCTTATT GGTAGAAACA ACTACATCCT
GGTCATCATC CTGCCTTTCT CTTATGGTT ACAATGATAT ACACTGTTTG AGATGAGGAT
AAAATACTCT GAGTCCAAC CGGGCCCTC TGCTAACCAT GTTCATGCCT TCTTCTTTT
CCTACAGCTC CTGGGCAACG TGCTGTTAT TGTGCTGTCT CATCATTG GCAAAGAATT
GTAATACGAC TCACATATAGG GCGAATTCC ACCATGGCTT ACCCATACGA TGTTCCAGAT
TCAGGCTGAAT TCAGCACTAT GTCGGAGGAG CAGTTGGAG GGGACGGGGC GGCGCGGGCG
GCAACGGCGG CGGTAGGCGG CTCGGCGGGC GAGCAGGAGG GAGCCATGGT GGCGCGGGCG
CAGGGGCCAG CGGGCGCGGC GGGAACCGGG AGCGCGCGC GCTCTGCAGC CGGAGGCACC
GAAGGAGGCA GCACCGAGGC AGAGGGAGCG AAGATCGACG CCAGTAAGAA TGAGGAGGAT
GAAGGGAAAA TGTTTATAGG AGGCCTTAGC TGGGACACCA CAAAGAAAGA CCTGAAGGAC
TACTTTCCA AATTGGGAA TGTTGTAGAC TGCACCTCTGA AGTTAGATCC TATCACAGGG
CGATCAAGGG GTTTGGCTT TGTGCTATT AAAGAGTCGG AGAGTGTAGA TAAGGTATG
GATCAGAAAG AACATAAATT GAATGGAAA GTCATTGATC CTAAAAGGGC CAAAGCCATG
AAAACAAAAG AGCCCGTCAA AAAAATTGTT GTTGGTGGCC TTTCTCCAGA CACACCTGAA
AAAAAAATAA GAGAGTACTT TGGTGGTTT GGTGAGGTTG AATCCATAGA GCTGCCTATG
GACAACAAGA CCAATAAGAG GCGTGGTTT TGTTTCATTA CCTTTAAGGA AGAGGAACCA
GTGAAGAAGA TAATGGAGAA GAAATACAC AATGTTGGTC TTAGTAAATG TGAAATAAAA
GTAGCCATGT CGAAGGAGCA GTATCAGCAG CAGCAGCACT GGGGATCTAG AGGAGGGTTT
GCAGGAAGAG CTCGGCGAAG AGGCAGGTGAT CAGCAGAGTG GTTATGGGAA AGTATCCAGA
CGAGGTGGTC ATCAAAATAG CTACAAACCA TACTAAAGGAT CTTATTAAAG CAGAACTTGT
TTATTGCAGC TTATAATGGT TACAAATAAA GCAATAGCAT CACAAATTTC ACAATAAAG
CATTTTTTC ACTGCATTCT AGTTGTGGTT TGTCCAAACT CATCAATGTA TCTTATCATG
TCTGGTCGAC TCTAGACTCT TCCGCTTCCT CGCTCACTGA CTCGCTGCAG TCAGGCTGTT
GGCTGCAGCG AGCGGTATCA GCTCACTCAA AGGCAGGTAAAT AGCGTTATCC ACAGAATCAG
GGGATAACGC AGGAAAGAAC ATGTGAGCAA AAGGCCAGCA AAAGGCCAGG AACCGTAAAAA
AGGCCGCGTT GCTGGCGTT TTCCATAGGC TCCGCCCTCC TGACGAGCAT CACAAAATC
GACGCTCAAG TCAGAGGTGG CGAAACCGA CAGGACTATA AAGATACCAAG GCAGTTCCCG
CTGGGAAGCTC CCTCGTGCAGC TCTCCTGTT CGACCCCTGCC GCTTACCGGA TACCTGTCCG
CCTTCTCCC TTCGGGAAGC GTGGCGCTTT CTCAATGTC ACGCTGTAGG TATCTCAGTT
CGGTGTAGGT CGTCGCTCC AAGCTGGCT GTGTGCACGA ACCCCCCGTT CAGCCCGACC

GCTGCGCCTT ATCCGGTAAC TATCGTCTTG AGTCCAACCC GGTAAGACAC GACTTATCGC
CACTGGCAGC AGCCACTGGT AACAGGATTA GCAGAGCGAG GTATGTAGGC GGTGCTACAG
AGTTCTTGA GTGGTGGCCT AACTACGGCT ACACTAGAAG GACAGTATTG GGTATCTGCG
CTCTGCTGAA GCCAGTTACC TTCCGGAAAAA GAGTTGGTAG CTCTTGATCC GGCACACAAA
CCACCGCTGG TAGCGGTGGT TTTTTGTTT GCAAGCAGCA GATTACGCAG AGAAAAAAAG
GATCTCAAGA AGATCCTTG ATCTTTCTA CGGGGTCTGA CGCTCAGTGG AACGAAAAGT
CACGTTAAGG GATTTGGTC ATGAGATTAT CAAAAAGGAT CTTCACCTAG ATCCCTTTAA
ATTAAAAATG AAGTTTTAAA TCAATCTAAA GTATATATGA GTAAACTTGG TCTGACAGTT
ACCAATGCTT AATCAGTGAG GCACCTATCT CAGCGATCTG TCTATTCGT TCATCCATAG
TTGCCTGACT CCCCGTCGTG TAGATAACTA CGATACGGGA GGGCTTACCA TCTGGCCCCA
GTGCTGCAAT GATACCGCGA GACCCACGCT CACCGGCTCC AGATTATCA GCAATAAACCC
AGCCAGGCCG AAGGGCCGAG CGCAGAAGTG GTCCTGCAAC TTTATCCGCC TCCATCCAGT
CTATTAAATTG TTGCCGGGAA GCTAGAGTAA GTAGTTCGCC AGTTAATAGT TTGCGCAACG
TTGTTGCCAT TGCTACAGGC ATCGTGGTGT CACGCTCGTC GTTGGTATG GCTTCATTCA
GCTCCGGTTC CCAACGATCA AGGCAGTTA CATGATCCCC CATGTTGTGC AAAAAGCGG
TTAGCTCCTT CGGTCCTCCG ATCGTTGTCA GAAGTAAGTT GGCGCAGTG TTATCACTCA
TGGTTATGGC AGCACTGCAT ATTCTCTTA CTGTCATGCC ATCCGTAAGA TGCTTTCTG
TGACTGGTGA GTACTCAACC AAGTCATTCT GAGAATAGTG TATGCGGCAG CCGAGTTGCT
CTTGCCCGGC GTCAATACGG GATAATACCG CGCCACATAG CAGAACTTT AAAGTGTCA
TCATTGGAAA ACGTTCTCG GGGCGAAAAC TCTCAAGGAT CTTACCGCTG TTGAGATCCA
GTTCGATGTA ACCCACTCGT GCACCCAACT GATCTCAGC ATCTTTACT TTCACCAAGCG
TTTCTGGGTG AGCAAAACAA GGAAGGCAAA ATGCCGCAAA AAAGGAAATA AGGGCGACAC
GGAAATGTT AATACTCAT CTCTTCTTT TTCAATATTA TTGAAGCATT TATCAGGGTT
ATTGTCTCAT GAGCGGATAC ATATTTGAAT GTATTAGAA AAATAAACAA ATAGGGGTT
CGCGCACATT TCCCCGAAAAA GTGCCACCTG ACGTCTAAGA AACCAATTAT ATCATGACAT
TAACCTATAA AAATAGGCGT ATCACGAGGC CCCTTCGTC TCGCGCGTT CGGTGATGAC
GGTGAAAACC TCTGACACAT GCAGCTCCCG GAGACGGTCA CAGCTTGTCT GTAAGCGGAT
GCCGGGAGCA GACAAGCCCG TCAGGGCGCG TCAGGGGTG TTGGCGGGTG TCGGGGCTGG
CTTAACTATG CGGCATCAGA GCAGATTGTA CTGAGAGTGC ACCATATGCG GTGTGAAATA
CCGCACAGAT GCGTAAGGAG AAAATACCGC ATCAGGAAAT TGTAACGTT AATATTTGT
TAAAATTGCG GTTAAATTT TGTAAATCA GCTCATTTT TAACCAATAG GCCGAAATCG
GCAAAATCCC TTATAAATCA AAAGAATAGA CCGAGATAGG GTTGAGTGT GTTCCAGTT
GGAACAAGAG TCCACTATTA AAGAACGTGG ACTCCAACGT CAAAGGGCGA AAAACCGTCT
ATCAGGGCGA TGGCCCACCA CGTGAACCAT CACCTTAATC AAGTTTTG GGGTCGAGGT
GCCGTAAAGC ACTAAATCGG AACCTAAAG GGAGCCCCCG ATTTAGAGCT TGACGGGAA
AGCCGGCGAA CGTGGCGAGA AAGGAAGGGA AGAAAGCGAA AGGAGCGGGC GCTAGGGCGC
TGGCAAGTGT AGCGGTCAGC CTGCGCGTAA CCACCCACCC CGCCCGCGTT AATGCGCCCG
TACAGGGCGC GTCGCGCCAT TCGCCATTCA GGCTACGCAA CTGTTGGAA GGGCGATCGG
TGCGGGCCTC TTCGCTATTA CGCAGCTGG CGAAGGGGGG ATGTGCTGCA AGGCGATTAA
GTTGGGTAAC GCCAGGGTT TCCCAAGTCAC GACGTTGTAA AACGACGGCC AGTGAATT

PSG5-HA-p40rAUF1

GTCGACTTCT	GAGGGCGAAA	GAACCAGCTG	TGGAATGTGT	GTCAGTTAGG	GTGTGGAAAG
TCCCCCAGGCT	CCCCCAGCAGG	CAGAAAGTATG	CAAAGCATGC	ATCTCAATT	GTCAAGCAACC
AGGTGTGGAA	AGTCCCCAGG	CTCCCCAGCA	GGCAGAAGTA	TGCAAAGCAT	GCATCTCAAT
TAGTCAGCAA	CCATAGTCCC	GCCCCCTAACT	CCGCCCATCC	CGCCCCCTAAC	TCCGCCCAAGT
TCCGCCATT	CTCCGCCCCA	TGGCTGACTA	ATTTTTTTTA	TTTATGCAGA	GGCCGAGGCC
GCCTCGGCCT	CTGAGCTATT	CCAGAAGTAG	TGAGGAGGCT	TTTTGGAGG	CCTAGGCTTT
TGAAAAAAGC	TGGATCGATC	CTGAGAACTT	CAGGGTGAGT	TTGGGGACCC	TTGATTGTT

TTTCTTTTC GCTATTGTA AATTCATGTT ATATGGAGGG GGCAAAGTT TCAGGGTGT
GTTTAGAATG GGAAGATGTC CCTGTATCA CCATGGACCC TCATGATAAT TTTGTTCTT
TCACTTCTA CTCTGTTGAC AACATTGTC TCCTCTTATT TTCTTTCAT TTTCTGTAAC
TTTTCGTA AACTTTAGCT TGCAATTGTA ACGAATTTT AAATTCACTT TTGTTTATT
GTCAGATTGT AAGTACTTTC TCTAACACT TTTTTTCAA GGCAATCAGG GTATATTATA
TTGTACTTCA GCACAGTTT AGAGAACAAAT TGTTATAATT AAATGATAAG GTAGAATATT
TCTGCATATA AATTCTGGCT GGCCTGGAAA TATTCTTATT GGTAGAAACA ACTACATCCT
GGTCATCATC CTGCCTTTCT CTTATGGTT ACAATGATAT ACACTGTTG AGATGAGGAT
AAAATACTCT GAGTCCAAAC CGGGCCCCTC TGCTAACCAT GTTCATGCCT TCTTCTTTT
CCTACAGCTC CTGGGCAACG TGCTGGTTAT TGTGCTGTCT CATCATTTC GCAAAGAATT
GTAATACGAC TCACTATAGG GCGAATTTC ACCATGGCTT ACCCATACGA TGTTCCAGAT
TACGCTGAAT TCAGCACT**AT** GTCGGAGGAG CAGTCGGAG GGGACGGGGC GGCGCGGGCG
GCAACGGCGG CGGTAGGCGG CTCGGCGGGC GAGCAGGAGG GAGCCATGGT GGCGCGGGCG
CAGGGGCCAG CGGGCGCGGC GGGAAAGCGGG AGCGGCGGC GCTCTGCGGC CGGAGGCACC
GAAGGAGGCA GCACCGGAGG AGAGGGAGCG AAGATCGACG CCAGTAAGAA TGAGGAGGAT
GAAGGCCATT CAAACTCCTC CCCACGACAC ACTGAAGCAG CGACGGCACA GCGGAAGAA
TGGAAATGT TTATAGGAGG CCTTAGCTGG GACACCACAA AGAAAGACCT GAAGGACTAC
TTTCCAAT TTGGGGACGT TGTAGACTGC ACTCTGAAGT TAGATCCTAT CACAGGGCGA
TCAAGGGTT TTGGCTTTGT GCTATTAAA GAGTCGGAGA GTGTAGATAA GGTCATGGAT
CAGAAAGAAC ATAAATTGAA TGGGAAAGTC ATTGATCCTA AAAGGGCCAA AGCCATGAAA
ACAAAAGAGC CCGTCAAAAA AATTTTGTT GGTGGCCTTT CTCCAGACAC ACCTGAAGAA
AAAATAAGAG AGTACTTTGG TGTTTTGGT GAGGTTGAAT CCATAGAGCT GCCTATGGAC
AACAAAGACCA ATAAGAGGCG TGGGTTCTGT TTCATTACCT TTAAGGAAGA GGAACCAGTG
AAGAAGATAA TGGAGAAGAA ATACCACAAAT GTTGGTCTTA GTAAATGTGA AATAAAAGTA
GCCATGTCGA AGGAGCAGTA TCAGCAGCAG CAGCAGTGGG GATCTAGAGG AGGGTTGCA
GGAAGAGCTC CGGGAAGAGG CGGTGATCAG CAGAGTGGTT ATGGAAAGT ATCCAGACGA
GGTGGTCATC AAAATAGCTA CAAACCATAC **TAAGGATCTT** ATTAAAGCAG AACTGTTA
TTGCAGCTA TAATGGTTAC AAATAAAGCA ATAGCATCAC AAATTCACA AATAAAGCAT
TTTTTCACT GCATTCTAGT TGTGGTTGT CCAAACTCAT CAATGTATCT TATCATGTCT
GGTCGACTCT AGACTCTTCC GCTTCCTCGC TCACTGACTC GCTCGCGTC GTCGTTGGC
TGCAGCGAGC GGTATCAGCT CACTCAAAGG CGGTAATACG GTTATCCACA GAATCAGGGG
ATAACGCAGG AAAGAACATG TGAGCAAAAG GCCAGAAAA GCCCAGGAAC CGTAAAAGG
CCCGCGTTGCT GGCGTTTTTC CATAGGCTCC GCCCCCCCTGA CGAGCATCAC AAAATCGAC
GCTCAAGTCA GAGGTGGCGA AACCCGACAG GACTATAAAG ATACCAGGGC TTTCCCCCTG
GAAGCTCCCT CGTGCCTCT CCTGTTCCGA CCCTGCCGT TACCGGATAC CTGTCGCC
TTCTCCCTTC GGGAAAGCGTG GCGCTTCTC AATGCTCACG CTGTAGGTAT CTCAGTTCGG
TGTAGGTCTG TCGCTCCAAG CTGGGCTGTG TGACGAACC CCCCCTTCAG CCCGACCGCT
GCGCCTTATC CGGTAACATAT CGTCTTGAGT CCAACCCGGT AAGACACGAC TTATGCCAC
TGGCAGCAGC CACTGGTAAC AGGATTAGCA GAGCGAGGTA TGTAGGCGGT GCTACAGAGT
TCTTGAAGTG GTGGCCTAAC TACGGCTACA CTAGAAGGAC AGTATTTGGT ATCTGCGCTC
TGCTGAAGCC AGTACCTTC GGAAAAAGAG TTGGTAGCTC TTGATCCGGC AAACAAACCA
CCGCTGGTAG CGGTGGTTT TTTGTTGCA AGCAGCAGAT TACGCGCAGA AAAAAAGGAT
CTCAAGAAGA TCCTTGATC TTTCTACGG GGTCTGACGC TCAGTGGAAC GAAAACTCAC
GTTAAGGGAT TTTGGTCATG AGATTATCAA AAAGGATCTT CACCTAGATC CTTTAAATT
AAAATGAAG TTTAAATCA ATCTAAAGTA TATATGAGTA AACTGGTCT GACAGTTACC
AATGCTTAAT CAGTGAGGCA CCTATCTCAG CGATCTGTCT ATTCGTTCA TCCATAGTTG
CCTGACTCCC CGTCGTGTAG ATAACATACGA TACGGGAGGG CTTACCATCT GGCCCCAGTG
CTGCAATGAT ACCGCGAGAC CCACGCTCAC CGGCTCCAGA TTTATCAGCA ATAAACCAGC
CAGCCGGAAG GGCGGAGCGC AGAAGTGGTC CTGCAACCTT ATCCGCCTCC ATCCAGTCTA
TTAATTGTTG CGGGGAAGCT AGAGTAAGTA GTTCGCCAGT TAATAGTTG CGCAACGTTG
TTGCCATTGC TACAGGCATC GTGGTGTAC GCTCGTCGTT TGGTATGGCT TCATTCAAGCT

CCGGTTCCA ACGATCAAGG CGAGTTACAT GATCCCCAT GTTGTGAAA AAAGCGGTTA
GCTCCTTCGG TCCTCCGATC GTTGTAGAA GTAAGTTGGC CGCAGTGT TA CACTCATGG
TTATGGCAGC ACTGCATAAT TCTCTTACTG TCATGCCATC CGTAAGATGC TTTTCTGTGA
CTGGTGAGTA CTCAACCAAG TCATTCTGAG AATAGTGTAT GCGGCGACCG AGTTGCTCTT
GCCCGGCGTC AATAACGGAT AATACCGCGC CACATAGCAG AACCTTAAA GTGCTCATCA
TTGGAAAACG TTCTCGGG CGAAAACCTCT CAAGGATCTT ACCGCTGTT AGATCCAGTT
CGATGTAACC CACTCGTGCA CCCAACTGAT CTTCAGCATC TTTTACTTTC ACCAGCGTT
CTGGGTGAGC AAAAACAGGA AGGCAAATG CCGAAAAAA GGGATAAGG GCGACACGGA
AATGTTGAAT ACTCATACTC TTCTTTTC AATATTATTG AAGCATTAT CAGGGTTATT
GTCTCATGAG CGGATACATA TTTGAATGTA TTTAGAAAAA TAAACAAATA GGGGTTCCGC
GCACATTTCC CCGAAAAGTG CCACCTGACG TCTAAGAAC CATTATTATC ATGACATTAA
CCTATAAAA TAGGCGTATC ACGAGGCCCG TTTCGTCTCG CGCGTTTCGG TGATGACGGT
GAAAACCTCT GACACATGCA GCTCCCGAG ACGGTACAG CTTGTCGTAG AGCGGATGCC
GGGAGCAGAC AAGCCCGTCA GGGCGCGTCA GCGGGTGTG GCGGGTGTG GGGCTGGCTT
AACTATGCGG CATCAGAGCA GATTGACTG AGAGTCACC ATATGCGGT TGAAATAACG
CACAGATGCG TAAGGAGAAA ATACCGCATC AGGAAATTGT AAACGTTAAT ATTTGTTAA
AATTGCGTT AAATTTTGT TAAATCAGCT CATTTTTAA CCAATAGGCC GAAATCGGCA
AAATCCCTTA TAAATCAAAA GAATAGACCG AGATAGGGTT GAGTGTGTT CCAGTTGGA
ACAAGAGTCC ACTATTAAAG AACGTGGACT CCAACGTCAA AGGGCGAAAA ACCGTCTATC
AGGGCGATGG CCCACTACGT GAACCATCAC CCTAATCAAG TTTTTGGGG TCGAGGTGCC
GTAAAGCACT AAATCGGAAC CCTAAAGGG GACCCCGATT TAGAGCTTGA CGGGAAAGC
CGGCGAACGT GGCGAGAAAG GAAGGGAAGA AAGCGAAAGG AGCGGGCGCT AGGGCGCTGG
CAAGTGTAGC GGTACGCTG CGCGTAACCA CCACACCCGC CGCGCTTAAT GCGCCGCTAC
AGGGCGCGTC GCGCCATTG CCATTCAAGGC TACGCAACTG TTGGGAAGGG CGATCGGTGC
GGGCCTCTTC GCTATTACGC CAGCTGGCGA AGGGGGGATG TGCTGCAAGG CGATTAAGTT
GGTAACGCC AGGGTTTCC CAGTCACGAC GTTGTAAAAC GACGGCCAGT GAATT

PSG5-HA-p42rAUF1

GTGACTTCT GAGGCGGAAA GAACCAGCTG TGGAATGTGT GTCAAGTTAGG GTGTGGAAAG
TCCCCAGGCT CCCCAGCAGG CAGAAGTATG CAAAGCATGC ATCTCAATT GTCAGCAACC
AGGTGTGAA AGTCCCAGG CTCCCCAGCA GGCAGAAGTA TGCAAAGCAT GCATCTCAAT
TAGTCAGCAA CCATAGTCCC GCCCTTAAC CCGCCCATCC CGCCCTAAC TCCGCCAGT
TCCGCCATT CTCCGCCCA TGGCTGACTA ATTTTTTTA TTTATGCAGA GGCGGAGGCC
GCCTCGGCCT CTGAGCTATT CCAGAAGTAG TGAGGAGGCT TTTTGGAGG CCTAGGCTTT
TGCAAAAGC TGGATCGATC CTGAGAACTT CAGGGTGAGT TTGGGGACCC TTGATTGTT
TTCTTTTC GCTATTGTAA AATTCAATGTT ATATGGAGGG GGCAAAGTT TCAGGGTGT
GTTTAGAATG GGAAGATGTC CCTTGATCA CCATGGACCC TCATGATAAT TTTGTTCTT
TCACTTCTA CTCTGTTGAC AACCATGTC TCCTCTTATT TTCTTTCAT TTTCTGTAAC
TTTTCTGTAA AACTTTAGCT TGCATTGTA ACAGATTAA AAATTCACTT TTGTTATTT
GTCAGATTGT AAGTACTTTT TCTAATCACT TTTTTTCAA GGCAATCAGG GTATATTATA
TTGTACTTCA GCACAGTTT AGAGAACAAAT TGTTATAATT AAATGATAAG GTAGAATATT
TCTGCATATA AATTCTGGCT GGCCTGGAAA TATTCTTATT GGTAGAAACA ACTACATCCT
GGTCATCATC CTGCCTTCT CTTTATGGTT ACAATGATAT ACACGTTTG AGATGAGGAT
AAAATACTCT GAGTCCAAAC CGGGCCCTC TGCTAACCAT GTCTGATGCCT TCTCTTTT
CCTACAGCTC CTGGGCAACG TGCTGGTTAT TGTGCTGTCT CATCATTG GCAAAGAATT
GTAATACGAC TCACTATAGG GCGAATTTC ACCATGGCTT ACCCATACGA TGTTCCAGAT
TACGCTGAAT TCAGCACTAT GTCGGAGGAG CAGTTCGGAG GGGACGGGGC GGCGCGGGCG
GCAACGCCGG CGGTAGGCCGG CTCGGGGGC GAGCAGGAGG GAGCCATGGT GGCGCGGGCG

CAGGGGGCAG CGCGGGCGGC GGGAAAGCGGG AGCGGCGGCG GCTCTGCGGC CGGAGGCACC
GAAGGAGGCA GCACCGAGGC AGAGGGAGCG AAGATCGACG CCAGTAAGAA TGAGGAGGAT
GAAGGGAAA TGTTCATAGG AGGCCTTAGC TGGGACACCA CAAAGAAAGA CCTGAAGGAC
TACTTTCCA AATTGGGGA TGTTGTAGAC TGCACTCTGA AGTTAGATCC TATCACAGGG
CGATCAAGGG GTTTGGCTT TGTCATTTT AAAGAGTCGG AGAGTGTAGA TAAGGTCTAG
GATCAGAAAG AACATAAATT GAATGGGAA GTCATTGATC CTAAAAGGGC CAAAGCCATG
AAAACAAAAG AGCCCCTCAA AAAAATTGGT GTTGGTGGCC TTTCTCCAGA CACACCTGAA
AAAAAAATAA GAGAGTACTT TGTTGGTTT GGTGAGGTTG AATCCATAGA GCTGCCATAG
GACAACAAGA CCAATAAGAG CGCGTGGGTT TCCTTCATTA CCTTTAAGGA AGAGGAACCA
GTGAAGAAGA TAATGGAGAA GAAATACCAC AATGTTGGTC TTAGTAAATG TGAAATAAAA
GTAGCCATGT CGAAGGAGCA GTATCAGCAG CAGCAGCAGT GGGGATCTAG AGGAGGGTTT
GCAGGAAGAG CTCGCAGAAG AGGCAGGTTG CCCAGTCAA ACTGGAACCA GGGATATAGT
AACTATTGGA ACCAAGGCTA TGGCAGCTAT GGATATAACA GCCAAGGGTA CGGTGGTTAT
GGAGGGATATG ACTACACTGG TTACAACAGC TACTATGGAT ATGGTGACTA TAGCAATCAG
CAGAGTGGTT ATGGGAAAGT ATCCAGACGA GGTGGTCATC AAAATAGCTA CAAACCATAC
TAAGGATCTT ATTAAAGCAG AACTTGTTC TTGCAGCTTA TAATGGTTAC AAATAAAGCA
ATAGCATCAC AAATTCACA AATAAAGCAT TTTTTCACT GCATTCTAGT TGTGGTTTGT
CCAAACTCAT CAATGTATCT TATCATGTCT GGTCGACTCT AGACTCTTC GCTTCCTCGC
TCACTGACTC GCTGCGCTCG GTCGTCGGC TGCGCGAGC GGTATCAGCT CACTCAAAGG
CGGTAAATACG GTTATCCACA GAATCAGGGG ATAACGCAGG AAAGAACATG TGAGCAAAAG
GCCAGCAAAA GGCCAGGAAC CGTAAAAAGG CGCGGTTGCT GGC GTTTTC CATAGGCTCC
GCCCCCCCTGA CGAGCATTAC AAAAATCGAC GCTCAAGTCA GAGGTGGCGA AACCCGACAG
GACTATAAAG ATACCAGGCG TTTCCCCCTG GAAGCTCCCT CGTGCCTCT CCTGGTCCGA
CCCTGCCGCT TACCGGATAC CTGTCGCTC TTCTCCCTC GGGAAAGCGTG GCGCTTCTC
AATGCTCACG CTGTAGGTAT CTCAGTCGG TGTAGGTCGT TCGCTCCAAG CTGGGCTGTG
TGCACGAACC CCCCGTTCA GCGCCTTAC CGGTAAC AGGATTAGCA
CCAACCCGGT AAGACACGAC TTATGCCAC TGGCAGCAGC CACTGGTAAC TACGGCTACA
GAGCGAGGTA TGTAGGCGGT GCTACAGAGT TCTTGAAGTG GTGGCCTAAC TACGGCTACA
CTAGAAGGAC AGTATTGGT ATCTGCGCTC TGCTGAAGCC AGTTACCTTC GGAAAAGAG
TTGGTAGCTC TTGATCCGGC AAACAAACCA CCGCTGGTAG CGGTGGTTTT TTTGTTGCA
AGCAGCAGAT TACCGCAGA AAAAAGGAT CTCAAGAAGA TCCTTTGATC TTTTCTACGG
GGTCTGACGC TCAGTGGAAC GAAAACTCAC GTTAAGGGAT TTTGGTCATG AGATTATCAA
AAAGGATCTT CACCTAGATC CTTTTAAATT AAAAATGAAG TTTAAATCA ATCTAAAGTA
TATATGAGTA AACTTGGTCT GACAGTTACC AATGCTTAAT CAGTGAGGCA CCTATCTCAG
CGATCTGTCT ATTCGTTCA TCCATAGTTG CCTGACTCCC CGTCGTGTAG ATAACATACGA
TACGGGAGGG CTTACCATCT GGCCCCAGTG CTGCAATGAT ACCCGCAGAC CCACGCTCAC
CGGCTCCAGA TTTATCAGCA ATAAACCAGC CAGCCGGAAG GGCGAGCGC AGAAGTGGTC
CTGCAACTT ATCCGCTCC ATCCAGTCTA TTAATTGGT CCGGGAAAGCT AGAGTAAGTA
GTTCGCCAGT TAATAGTTG CGCAACGTT CGGCCATTGC TACAGGCATC GTGGTGTAC
GCTCGTCGTT TGGTATGGCT TCATTAGCT CCGGTTCCA ACGATCAAGG CGAGTTACAT
GATCCCCCAT GTTGTGAAA AAAGCGGTTA GCTCCTTCGG TCCTCCGATC GTTGTCAAGA
GTAAGTTGGC CGCAGTGTGTA TCACTCATGG TTATGGCAGC ACTGCATAAT TCTCTTACTG
TCATGCCATC CGTAAGATGC TTTTCTGTGA CTGGTGAGTA CTCACCAAG TCATTCTGAG
AATAGTGTAT CGGGCGACCG AGTTGCTCTT GCCCGGCGTC AATACGGGAT AATACCGCGC
CACATAGCAG AACTTTAAA GTGCTCATCA TTGGAAAACG TTCTCGGGG CGAAAACCTCT
CAAGGATCTT ACCGCTGTT AGATCCAGTT CGATGTAACC CACTCGTGCA CCCAACTGAT
CTTCAGCAGTC TTTTACTTTT ACCAGCGTT CTGGGTGAGC AAAAACAGGA AGGCAAAATG
CCGCAAAAAA GGGAAATAAGG GCGACACGGA AATGTTGAAT ACTCATACTC TTCTTTTTC
AATATTATG AAGCATTAT CAGGGTTATT GTCTCATGAG CGGATAACATA TTTGAATGTA
TTTAGAAAAAA TAAACAAATA GGGGTTCCGC GCACATTCC CCGAAAAGTG CCACCTGACG
TCTAAGAAAC CATTATTATC ATGACATTAA CCTATAAAA TAGGCGTATC ACGAGGCC
TTTCGTCTCG CGCGTTTCGG TGATGACGGT GAAAACCTCT GACACATGCA GCTCCGGAG

ACGGTCACAG CTTGTCTGTA AGCGGATGCC GGGAGCAGAC AAGCCCGTCA GGGCGCGTCA
GCGGGTGTG GCGGGTGTG GGGCTGGCTT AACTATGCCG CATCAGAGCA GATTGTACTG
AGAGTGCACC ATATGCGGTG TGAAATACCG CACAGATGCG TAAGGAGAAA ATACCGCATC
AGGAAATTGT AAACGTTAAT ATTTGTTAA AATTGCGTT AAATTTTG TAAATCAGCT
CATTTTAA CCAATAGGCC GAAATCGGCA AAATCCCTA TAAATCAAAA GAATAGACCG
AGATAGGGTT GAGTGTGTT CCAGTTGGA ACAAGAGTCC ACTATTAAAG AACGTGGACT
CCAACGTCAA AGGGCAGAAA ACCGTCATC AGGGCGATGG CCCACTACGT GAACCACATC
CCTAATCAAG TTTTTGGGG TCGAGGTGCC GTAAAGCACT AAATCGGAAC CCTAAAGGGA
GCCCGGATT TAGAGCTTGA CGGGGAAAGC CGGGGAACGT GGCGAGAAAG GAAGGGAAAGA
AAGCGAAAGG AGCGGGCGCT AGGGCGCTGG CAAGTGTAGC GGTACGCTG CGCGTAACCA
CCACACCCGC CGCGCTTAAT GCGCCGCTAC AGGGCGCGTC GCGCCATTG CCATTCAAGGC
TACGCAACTG TTGGGAAGGG CGATCGGTGC GGGCCTCTTC GCTATTACGC CAGCTGGCGA
AGGGGGGATG TGCTGCAAGG CGATTAAGTT GGGTAACGCC AGGGTTTCC CAGTCACGAC
GTTGTAAAAC GACGGCCAGT GAATT

PSG5-HA-11n-p37rAUF1

GTCGACTTCT GAGGGCGGAAA GAACCAGCTG TGGAAATGTGT GTCAGTTAGG GTGTGGAAAG
TCCCCAGGCT CCCCAGCAGG CAGAAAGTATG CAAAGCATGC ATCTCAATT A GTCAGCAACC
AGGTGTGGAA AGTCCCAGG CTCCCCAGCA GGCAGAAGTA TGCAAAGCAT GCATCTCAAT
TAGTCAGCAA CCATAGTCCTT GCCCCTAAC CCGCCCCATCC CGCCCCCTAAC TCCGCCAGT
TCCGCCATT CTCCGCCCTA TGGCTGACTA ATT TTTTTTA TTTATGCAGA GGCGGAGGCC
GCCTCGGCCT CTGAGCTATT CCAGAAGTAG TGAGGAGGCT TTTTGGAGG CCTAGGCTT
TGCAAAAAGC TGGATCGATC CTGAGAACTT CAGGGTGAGT TTGGGGACCC TTGATTGTT
TTTCTTTTC GCTATTGTAA AATTCACTGTT ATATGGAGGG GGCAAAGTT TCAGGGTGT
GTTTAGAATG GGAAGATGTC CCTTGATCA CCATGGACCC TCATGATAAT TTTGTTCTT
TCACTTTCTA CTCTGTTGAC AACCAATTGTC TCCTCTTATT TTCTTTCAT TTTCTGTAAC
TTTTCTGTA AACTTTAGCT TGCAATTGTA ACAGAATT TTTAAATTCACTT TTGTTTATT
GTCAGATTGT AAGTACTTTT TCTAATCACT TTTTTTCAA GGCAATCAGG GTATATTATA
TTGTACTTCA GCACAGTTT AGAGAACAAAT TGTTATAATT AAATGATAAG GTAGAATATT
TCTGCATATA AATTCTGGCT GGCCTGGAAA TATTCTATT GGTAGAAACA ACTACATCCT
GGTCATCATC CTGCCCTTCT CTTTATGGTT ACAATGATAT ACACGTTTG AGATGAGGAT
AAAATACTCT GAGTCCAAAC CGGGCCCCTC TGCTAACCAT GTTCATGCCT TCTCTTTT
CCTACAGCTC CTGGGCAACG TGCTGGTTAT TGTCGTGCT CATCATTG GCAAAGAATT
GTAATACGAC TCACTATAGG GCGAATTTC ACCATGGCTT ACCCATAACGA TGTTCCAGAT
TACGCTGAAT TCGCCCTTAA TTCAGCACTA TGTCGGAGGA GCAGTCGGGA GGGGACGGGG
CGGGGGCGGC GGCAACGGCG CGGGTAGGCG GCTCGGGGG CGAGCAGGAG GGACCCATGG
TGGCGCGGC GCAGGGGGCA CGGGCGGC CGGGAGCGG GAGCGGGGG GGCTCTGG
CCGGAGGCAC CGAAGGAGGC AGCACCGAGG CAGAGGGAGC GAAGATCGAC GCCAGTAAGA
ATGAGGAGGA TGAAGGGAAA ATGTTATAG GAGGCCTTAG CTGGGACACC ACAAAAGAAAG
ACCTGAAGGA CTACTTTCC AAATTGGGG ATGTTGTAGA CTGCACTCTG AAGTTAGATC
CTATCACAGG GCGATCAAGG GGTGGCT TTGTCATT TAAAGAGTCG GAGAGTGTAG
ATAAGGTCA TGGATCAGAAA GAACATAAAAT TGAATGGGAA AGTCATTGAT CCTAAAAGGG
CCAAAGCCAT GAAAACAAA GAGCCGTCA AAAAATTT TGTGGTGGC CTTCTCCAG
ACACACCTGA AGAAAAATA AGAGAGTACT TTGGTGGTT TGGTGAGGTT GAATCCATAG
AGCTGCCTAT GGACAACAAG ACCAATAAGA GGCCTGGGTT CTGTTTCATT ACCTTAAGG
AAGAGGAACC AGTGAAGAAG ATAATGGAGA AGAAATACCA CAATGTTGGT CTTAGTAAAT
GTGAAATAAA AGTAGCCATG TCGAAGGAGC AGTATCAGCA GCAGCAGCAG TGGGATCTA
GAGGAGGGTT TGCAGGAAGA GCTCGGGAA GAGGCGGTGA TCAGCAGAGT GGTTATGGGA
AAGTATCCAG ACGAGGTGGT CATCAAAATA GCTACAAACC ATACTAA GGA TCTTATTAAA

GCAGAACTTG TTTATTGCAG CTTATAATGG TTACAAATAA AGCAATAGCA TCACAAATT
CACAAATAAA GCATTTTTT CACTGCATTC TAGTTGTTGGT TTGTCCAAAC TCATCAATGT
ATCTTATCAT GTCTGGTCGA CTCTAGACTC TTCCGCTTCC TCGCTCACTG ACTCGCTGCG
CTCGGTCGTT CGGCTGCGC GAGCGGTATC AGCTCACTCA AAGGCGGTAA TACGGTTATC
CACAGAATCA GGGGATAACG CAGGAAAGAA CATGTGAGCA AAAGGCCAG AAAAGGCCAG
GAACCGTAAA AAGGCCGCGT TGCTGGCGTT TTTCCATAGG CTCCGCCCGG CTGACGAGCA
TCACAAAAAT CGACGCTCAA GTCAGAGGTG GCGAAACCCG ACAGGACTAT AAAGATACCA
GGCGTTTCCC CCTGGAAGCT CCCTCGTGC GCTCTCTGTT CCGACCCTGC CGCTTACCGG
ATACCTGTCC GCCTTCTCC CTTCGGGAAAG CGTGGCGCTT TCTCAATGCT CACGCTGTAG
GTATCTCAGT TCGGTGTAGG TCGTTCGCTC CAAGCTGGC TGTGTGCACG AACCCCCCGT
TCAGCCCGAC CGCTGCGCCT TATCCGGTAA CTATCGTCTT GAGTCCAACC CGGTAAGACA
CGACTTATCG CCACTGGCAG CAGCCACTGG TAACAGGATT AGCAGAGCGA GGTATGTAGG
CGGTGCTACA GAGTTCTTGA AGTGGTGGCC TAACTACGGC TACACTAGAA GGACAGTATT
TGGTATCTGC GCTCTGCTGA AGCCAGTTAC CTTCGGAAAA AGAGTTGGTA GCTCTTGATC
CGGCAAACAA ACCACCGCTG GTAGCGGTGG TTTTTTGTG TGCAAGCAGC AGATTACGCG
CAGAAAAAAA GGATCTCAAG AAGATCCTT GATCTTTCT ACAGGGTCTG ACGCTCAGTG
GAACGAAAAC TCACGTTAAG GGATTTGGT CATGAGATTA TCAAAAAGGA TCTTCACCTA
GATCCTTTA AATTAAAAAT GAAGTTTAA ATCAATCTAA AGTATATATG AGTAAACATTG
GTCTGACAGT TACCAATGCT TAATCACTGA GGCACCTATC TCAGCGATCT GTCTATTCG
TTCATCCATA GTTGCCTGAC TCCCCGTCGT GTAGATAACT ACGATACGGG AGGGCTTACC
ATCTGGCCCC AGTGCTGCAA TGATACCGCG AGACCCACGC TCACCGGCTC CAGATTATC
AGCAATAAAC CAGCCAGCCG GAAGGGCCGA GCGCAGAAGT GGTCTGCAA CTTTATCCGC
CTCCATCCAG TCTATTAAATT GTTGCCTGGGA AGCTAGAGTA AGTAGTTCGC CAGTTAATAG
TTTGCACAC GTTGTGCCA TTGCTACAGG CATCGTGGT TCACGCTCGT CGTTGGTAT
GGCTTCATTC AGCTCCGGTT CCCAACGATC AAGGCGAGTT ACATGATCCC CCATGTTGTG
CAAAAAAGCG GTTAGCTCCT TCGGTCTCC GATCGTTGTC AGAAGTAAGT TGGCCGCAGT
GTTATCACTC ATGGTTATGG CAGCACTGCA TAATTCTCTT ACTGTCATGC CATCCGTAAG
ATGCTTTCT GTGACTGGTG AGTACTCAAC CAAGTCATTC TGAGAATAGT GTATGCGGCG
ACCGAGTTGC TCTTGCCTGG CGTCAATACG GGATAATACC GCGCCACATA GCAGAACTTT
AAAAGTCTC ATCATTGGAA AACGTTCTTC GGGGCGAAAA CTCTCAAGGA TCTTACCGCT
GTTGAGATCC AGTCGATGT AACCCACTCG TGACCCCAAC TGATCTTCAG CATCTTTAC
TTTCACCAGC GTTCTGGGT GAGCAAAAC AGGAAGGCAA AATGCCGCAA AAAAGGGAAT
AAGGGCGACA CGGAAATGTT GAATACTCAT ACTCTTCTTT TTTCAATATT ATTGAAGCAT
TTATCAGGGT TATTGTCTCA TGAGCGGATA CATATTTGAA TGTATTTAGA AAAATAAACAA
AATAGGGTT CCGCGCACAT TTCCCGAAA AGTGCCACCT GACGTCTAAG AAACCATTAT
TATCATGACA TTAACCTATA AAAATAGGCG TATCACGAGG CCCCTTTCGT CTCGGCGT
TCGGTGATGA CGGTGAAAAC CTCTGACACA TGCACTCCC GGAGACGGTC ACAGCTTGT
TGTAAGCGGA TGCCGGGAGC AGACAAGCCC GTCAGGGCGC GTCAGCGGGT GTTGGCGGGT
GTCGGGGCTG GCTTAACTAT GCGGCATCAG AGCAGATTGT ACTGAGAGTG CACCATATGC
GGTGTGAAAT ACCGCACAGA TGCCTAAGGA GAAAATACCG CATCAGGAAA TTGTAAACGT
TAATATTTG TAAAAATTG CGTTAAATT TTGTTAAATC AGTCATTTC TTAACCAATA
GGCCGAAATC GGCAAAATCC CTTATAAAATC AAAAGAATAG ACCGAGATAG GGTTGAGTGT
TGTTCAGTT TGGAAACAAGA GTCCACTATT AAAGAACGTG GACTCCAACG TCAAAGGGCG
AAAAACCGTC TATCAGGGCG ATGGCCCACT ACGTGAACCA TCACCCATAAT CAAGTTTTT
GGGGTCGAGG TGCCGTAAAG CACTAAATCG GAACCTAAA GGGAGCCCGG GATTAGAGC
TTGACGGGGA AAGCCGGCGA ACGTGGCGAG AAAGGAAGGG AAGAAAGCGA AAGGAGCGGG
CGCTAGGGCG CTGGCAAGTG TAGCGGTAC GCTGCGCGTA ACCACCACAC CCGCCGCGCT
TAATGCGCCG CTACAGGGCG CGTCGCGCCA TTCGCCATTG AGGCTACGCA ACTGTTGGGA
AGGGCGATCG GTGCGGGCCT CTTCGCTATT ACGCCAGCTG GCGAAGGGGG GATGTGCTGC
AAGGCGATTA AGTTGGGTAA CGCCAGGGTT TTCCCAGTCA CGACGTTGTA AAACGACGGC
CAGTGAATT

VECTORES pCMV-Myc-rAUF1

Regiones resaltadas en el texto:

ATG: Codón de inicio de la traducción.

GAGCAGAAACTGATCTCTGAAGAAGACCTG: Epitope de Myc.

GAATTC: Sitio de corte de EcoRI.

Texto en Azul y Negritas: Secuencia del marco de lectura de AUF1.

PCMV-MYc-P45rAUF1

CTGAAGAAC TGCTTAGGGT TAGGCCTTTT GCGCTGCTTC GCGATGTACG GGCCAGATAT
ACCGCGTGAC ATTGATTATT GACTAGTTAT TAATAGTAAT CAATTACGGG GTCATTAGTT
CATAGCCCCT ATATGGAGTT CCGCGTTACA TAACTTACGG TAAATGGCCC GCCTGGCTGA
CCGCCCAACG ACCCCCCGCC ATTGACGTCA ATAATGACGT ATGTTCCCAT AGTAACGCCA
ATAGGGACTT TCCATTGACG TCAATGGGTG GACTATTAC GGTAAACTGC CCACCTGGCA
GTACATCAAG TGTATCATAT GCCAAGTACG CCCCCCTATTG ACGTCAATGA CGGTAATGG
CCCGCCTGGC ATTATGCCCA GTACATGACC TTATGGGACT TTCTACTTG GCAGTACATC
TACGTATTAG TCATCGCTAT TACCATGGTG ATGCGGTTT GGCAGTACAT CAATGGCGT
GGATAGCGGT TTGACTCACG GGGATTCCA AGTCTCCACC CCATTGACGT CAATGGGAGT
TTGTTTGGC ACCAAAATCA ACGGGACTTT CCAAAATGTC GTAACAACTC CGCCCCATTG
ACGCAAATGG GCGGTAGGCG TGTACGGTGG GAGGTCTATA TAAGCAGAGC TCTCTGGCTA
ACTAGAGAAC CCACTGCTTA CTGGCTTATC GAAATTAAATA CGACTCACTA TAGGGAGACC
CAAGCTTGGT ACCGAGCTCG GATCCACTAG TAACGGCCGC CAGCCATTGT GCTGCCACC
ATGGGAGAGC AGAAACTGAT CTCTGAAGAA GACCTGAACC CGGAATTCAAG CACT**ATGTCG**
GAGGAGCAGT TCGGAGGGGA CGGGCGGGCG CGGGCGGCAA CGGGCGCGGT AGGCGGCTCG
GCGGGCGAGC AGGAGGGAGC CATGGTGGCG CGGGCGCAGG GGGCAGCGGC GGCGCGGG
AGCGGGAGCG CGGGCGGCTC TGCGGCCGGA GGCACCGAAG GAGGCAGCAC CGAGGCAGAG
GGAGCGAAGA TCGACGCCAG TAAGAATGAG GAGGATGAAG GCCATTCAA CTCCCTCCCA
CGACACACTG AAGCAGCGAC GGCACAGCGG GAAGAATGGA AAAATTTAT AGGAGGCCTT
AGCTGGGACA CCACAAAGAA AGACCTGAAG GACTACTTT CCAAATTGG GGACGTTGTA
GACTGCACTC TGAAGTTAGA TCCTATCACA GGGCGATCAA GGGGTTTGG CTTTGTGCTA
TTTAAAGAGT CGGAGAGTGT AGATAAGGTC ATGGATCAGA AAGAACATAA ATTGAATGGG
AAAGTCATG ATCCTAAAAG GGCCAAAGCC ATGAAAACAA AAGAGCCCGT CAAAAAAATT
TTTGTGGTG GCCTTCTCC AGACACACCT GAAGAAAAAA TAAGAGAGTA CTTTGGTGGT
TTTGGTGAGG TTGAATCCAT AGAGCTGCCT ATGGACAACA AGACCAATAA GAGCGTGGG
TTCTGTTCA TTACCTTTAA GGAAGAGGAA CCAGTGAAGA AGATAATGGA GAAGAAATAC
CACAATGTG GTCTTAGTAA ATGTGAAATA AAAGTAGCCA TGTGCAAGGA GCAGTATCAG
CAGCAGCAGC AGTGGGGATC TAGAGGAGGG TTTGCAGGAA GAGCTCGCGG AAGAGCGGT
GGCCCCAGTC AAAACTGGAA CCAGGGATAT AGTAACATT GGAACCAAGG CTATGGCAGC
TATGGATATA ACAGCCAAGG GTACGGTGGT TATGGAGGAT ATGACTACAC TGGTTACAAC
AGCTACTATG GATATGGTGA CTATAGCAAT CAGCAGAGTG GTTATGGGAA AGTATCCAGA
CGAGGTGGTC ATCAAAATAG CTACAAACCA TACTAAAGGAT CTTATTAAAG CAGAACTTGT
TTATTGCAAC TTATAATGGT TACAAATAAA GCAATAGCAT CACAAATTTC ACAAAATAAG
CATTTTTTC ACTGCATTCT AGTTGTGGTT TGTCCAACT CATCAATGTA TCTTATCATG
TCTGGTCGAC TCTAGACTCT TCCGCTTCCT CGCTCACTGA CTCGCTGCAC TCGGTGTT

GGCTGCGGCG AGCGGTATCA GCTCACTCAA AGGC GGTAAT ACGGTTATCC ACAGAATCAG
GGGATAACGC AGGAAAGAAC ATGTGAGCAA AAGGCCAGCA AAAGGCCAGG AACCGTAAAA
AGGCCGCGTT GCTGGCGTT TTCCATAGGC TCCGCCCGCC TGACGAGCAT CACAAAAATC
GACGCTCAAG TCAGAGGTGG CGAAACCGA CAGGACTATA AAGATACCAG GCGTTTCCCC
CTGGAAAGCTC CCTCGTGC GC TCTCCGTTC CGACCC TGCC GCTTACCGGA TACCTGTCCG
CCTTCTCCC TTCGGGAAGC GTGGCGCTTT CTCAATGCTC ACGCTGTAGG TATCTCAGTT
CGGTGTAGGT CGTCGCTCC AAGCTGGCT GTGTGCACGA ACCCCCCGTT CAGCCCGACC
GCTGCGCCTT ATCCGGTAAC TATCGTCTTG AGTCCAACCC GGTAAAGACAC GACTTATCGC
CACTGGCAGC AGCCACTGGT AACAGGATTA GCAGAGCGAG GTATGTAGGC GGTGCTACAG
AGTTCTTGAA GTGGTGGCCT AACTACGGCT AACTAGAAAG GACAGTATTG GGTATCTGCG
CTCTGCTGAA GCCAGTTACC TTCGGAAAAA GAGTTGGTAG CTCTTGATCC GGCAAACAAA
CCACCGCTGG TAGCGGTGGT TTTTTGTTT GCAAGCAGCA GATTACGCGC AGAAAAAAAG
GATCTCAAGA AGATCCTTG ATCTTTCTA CGGGGCTG CA CGCTCAGTGG AACGAAA ACT
CACGTTAAGG GATTTGGTC ATGAGATTAT CAAAAAGGAT CTTCACCTAG ATCCTTTAA
ATTAAAAATG AAGTTTAAA TCAACTAAA GTATATATGA GTAAACTTGG TCTGACAGTT
ACCAATGCTT AATCAGTGAG GCACCTATCT CAGCGATCTG TCTATTCGT TCATCCATAG
TTGCCTGACT CCCCGTCGT TAGATAACTA CGATA CGGGCTACCA TCTGCCCGCA
GTGCTGCAAT GATACCGCGA GACCCACGCT CACCGGCTCC AGATTTATCA GCAATAAAACC
AGCCAGCCGG AAGGGCCGAG CGCAGAAGTG GTCCTGCAAC TTTATCCGCC TCCATCCAGT
CTATTAATTG TTGCCGGGAA GCTAGAGTAA GTAGTTCGCC AGTTAATAGT TTGCGCAACG
TTGTTGCCAT TGCTACAGGC ATCGTGGTGT CACGCTCGTC GTTTGGTATG GCTTCATTCA
GCTCCGGTTC CCAACGATCA AGGCGAGTTA CATGATCCCC CATGTTGTGC AAAAAGCGG
TTAGCTCCTT CGGTCTCCG ATCGTTGTCA GAAGTAAGTT GGCGCAGTG TTATCACTCA
TGGTTATGGC AGCACTGCAT AATTCTCTA CTGTCATGCC ATCCGTAAGA TGCTTTCTG
TGACTGGTGA GTACTCAACC AAGTCATTCT GAGAATAGTG TATGCGGCGA CCGAGTTGCT
CTGCCCCGGC GTCAATACGG GATAATACCG CGCCACATAG CAGAACTTTA AAAGTGCTCA
TCATTGGAAA ACGTTCTCG GGGCGAAAAC TCTCAAGGAT CTTACCGCTG TTGAGATCCA
GTTCGATGTA ACCCACTCGT GCACCCAACT GATCTTCAGC ATCTTTACT TTCACCAGCG
TTTCTGGGTG AGCAAAAACA GGAAGCAAA ATGCCGCAAA AAAGGGAATA AGGGCGACAC
GGAAATGTG AATACTCATA CTCTTCTTT TTCAATATTA TTGAAGCATT TATCAGGGTT
ATTGTCTCAT GAGCGGATAC ATATTGAAT GTATTTAGAA AAATAAACAA ATAGGGGTT
CGCGCACATT TCCCCGAAAA GTGCCACCTG ACGTCTAAGA AACCAATTATT ATCATGACAT
TAACCTATAA AAATAGGC GT ATCACGGAGC CCCTTCGTC TCGCGCGTTT CGGTGATGAC
GGTAAAACC TCTGACACAT GCAGCTCCCG GAGACGGTCA CAGCTTGTCT GTAAGCGGAT
GCCGGGAGCA GACAAGCCCG TCAGGGCGC TCAGCGGGTG TTGGCGGGTG TCAGGGCTGG
CTTAACATATG CGGCATCAGA GCAGATTGTA CTGAGAGTGC ACCATATGCG GTGTGAAATA
CCGCACAGAT GCGTAAGGAG AAAATACCGC ATCAGGAAAT TGAAACGTT AATATTTGT
TAAAATTGCG GTTAAATTT TGTTAAATCA GTCATTGTT TAACCAATAG GCCGAAATCG
GCAAAATCCC TTATAATCA AAAGAATAGA CCGAGATAGG GTTGAGTGTGTT GTTCCAGTTT
GGAACAAGAG TCCACTATTA AAGAACGTGG ACTCCAACGT CAAAGGGCGA AAAACCGTCT
ATCAGGGCGA TGGCCCACTA CGTGAACCAT CACCTTAATC AAGTTTTTG GGGTCGAGGT
GCCGTAAAGC ACTAAATCGG AACCCCTAAAG GGAGCCCCG ATTAGAGCT TGACGGGGAA
AGCCGGCGAA CGTGGCGAGA AAGGAAGGGA AGAAAGCGAA AGGAGCGGGC GCTAGGGCGC
TGGCAAGTGT AGCGGTACG CTGCGCGTAA CCACCAACCC CGCCGCGCTT AATGCGCCGC
TACAGGGCGC GTCGCGCCAT TCGCCATTCA GGCTACGCAA CTGTTGGGAA GGGCGATCGG
TGCAGGGCCTC TTCGCTATTA CGCCAG

PCMV-Myc-p37rAUF1

CTGAAGAAC TGCTTAGGGT TAGGCGTTTT GCGCTGCTTC GCGATGTACG GGCCAGATAT
ACCGGTTGAC ATTGATTATT GACTAGTTAT TAATAGTAAT CAATTACGGG GTCATTAGTT
CATAGCCCAT ATATGGAGTT CCGCGTTACA TAACTTACGG TAAATGGCCC GCCTGGCTGA
CCGCCAACG ACCCCCCGCC CCGACGTCA ATAATGACGT ATGTTCCCAT AGTAACGCCA
ATAGGGACTT TCCATTGACG TCAATGGGTG GACTATTAC GGTAAACTGC CCACTTGGCA
GTACATCAAG TGTATCATAT GCCAAGTACG CCCCCTATTG ACGTCAATGA CGGTAATGG
CCCGCCTGGC ATTATGCCCA GTACATGACC TTATGGGACT TTCCTACTTG GCAGTACATC
TACGTATTAG TCATCGCTAT TACCATGGTG ATGCGGTTTT GGCAGTACAT CAATGGCGT
GGATAGCGGT TTGACTCACG GGGATTCCA AGTCTCCACC CCATTGACGT CAATGGGAGT
TTGTTTGGC ACCAAAATCA ACAGGGACTTT CCAAAATGTC GTAACAACTC CGCCCCATTG
ACGCAAATGG GCGGTAGGCG TGTACGGTGG GAGGTCTATA TAAGCAGAGC TCTCTGGCTA
ACTAGAGAAC CCACTGCTTA CTGGCTTATC GAAATTAATA CGACTCACTA TAGGGAGACC
CAAGCTTGGT ACCGAGCTCG GATCCACTAG TAACGGCCGC CAGCCATTGT GCTGCCACC
ATGGAGAGC AGAAAATGAT CTCTGAAGAA GACCTGAACC CGAATTCAAG CACT**ATGTCG**
GAGGAGCAGT TCGGAGGGGA CGGGCGGGCG CGGGCGGCCA CGGGCGGGT AGGGCGCTCG
CGGGCGGAGC AGGAGGGAGC CATGGTGGCG CGGGCGCAGG GGGCAGCGGC GGCGCGGGGA
AGCGGGAGCG CGGGCGGCTC TGCGGCCGGA GGCACCGAAG GAGGCAGCAC CGAGGCAGAG
GGAGCGAAGA TCGACGCCAG TAAGAATGAG GAGGATGAAG GGAAAATGTT TATAGGAGGC
CTTAGCTGGG ACACCACAAA GAAAGACCTG AAGGACTACT TTTCCAAATT TGGGATGTT
GTAGACTGCA CTCTGAAGTT AGATCCTATC ACAGGGCGAT CAAGGGTTT TGGCTTTGTG
CTATTAAAG AGTCGGAGAG TGTAGATAAG GTCATGGATC AGAAAAGAAC TAAATTGAAT
GGGAAAGTCA TTGATCTAA AAGGGCCAAA GCCATGAAAA CAAAAGAGCC CGTCAAAAAA
ATTTTGTTG TGGGCCTTTC TCCAGACACA CCTGAAGAAA AAATAAGAGA GTACTTGGT
GGTTTGGTG AGGTTGAATC CATAGAGCTG CCTATGGACA ACAAGACCAA TAAGAGGCGT
GGGTTCTGTT TCATTACCTT TAAGGAAGAG GAACCAGTGA AGAAGATAAT GGAGAAGAAA
TACCACAATG TTGGTCTTAG TAAATGTGAA ATAAAAGTAG CCATGTCGAA GGACAGTAT
CAGCAGCAGC AGCAGTGGGG ATCTAGAGGA GGGTTTGCAG GAAGAGCTCG CGGAAGAGGC
GGTGTACAGC AGAGTGGTTA TGGGAAAGTA TCCAGACGAG GTGGTCATCA AAATAGCTAC
AAACCATACT AAGGATCTTA TTAAAGCAGA ACTTGTAT TGCAGCTTAT AATGGTTACA
AATAAAGCAA TAGCATCACA AATTTCACAA ATAAAGCATT TTTTCACTG CATTCTAGTT
GTGGTTTGTG CAAACTCATC AATGTATCTT ATCATGTCTG GTGCACTCTA GACTCTCCG
CTTCCTCGCT CACTGACTCG CTGCGCTCGG TCGTTCGCT GCGCGAGCG GTATCAGCTC
ACTCAAAGGC GGTAAACAGG TTATCCACAG AATCAGGGGA TAACGCAGGA AAGAACATGT
GAGCAAAGG CCAGCAAAGG GCCAGGAACC GTAAAAGGC CGCGTTGCTG GCGTTTTCC
ATAGGCTCCG CCCCCCTGAC GAGCATCACA AAAATCGACG CTCAAGTCAG AGGTGGCGAA
ACCCGACAGG ACTATAAAGA TACCAGGCCTG TTCCCCCTGG AAGCTCCCTC GTGCGCTCTC
CTGTTCCGAC CCTGCCGCTT ACCGGATACC TGTCCGCCTT TCTCCCTTCG GGAAGCGTGG
CGCTTCTCA ATGCTCACGC TGTAGGTATC TCAGTTCGGT GTAGGTCGTT CGCTCCAAGC
TGGGCTGTGT GCACGAACCC CCCGTCAGC CCGACCGCTG CGCCTTATCC GGTAACTATC
GTCTTGAGTC CAACCCGGTA AGACACGACT TATGCCACT GGCAGCAGCC ACTGGTAACA
GGATTAGCAG AGCGAGGTAT GTAGGCGGTG CTACAGAGTT CTTGAAGTGG TGGCTTAACT
ACGGCTACAC TAGAAGGACA GTATTTGGTA TCTGCGCTCT GCTGAAGCCA GTTACCTTCG
GAAAAAGAGT TGGTAGCTCT TGATCCGGCA AACAAACCAC CGCTGGTAGC GGTGGTTTT
TTGTTTGCAA GCAGCAGATT ACGCGCAGAA AAAAAGGATC TCAAGAAGAT CCTTGATCT
TTTCTACGGG GTCTGACGCT CAGTGGAACG AAAACTCACG TTAAGGGATT TTGGTCATGA
GATTATCAA AAGGATCTTC ACCTAGATCC TTTTAAATTA AAAATGAAGT TTTAAATCAA
TCTAAAGTAT ATATGAGTAA ACTTGGTCTG ACAGTTACCA ATGCTTAATC AGTGAGGCAC
TATCTCAGC GATCTGTCTA TTTCGTTCAT CCATAGTTGC CTGACTCCCC GTCGTGTAGA

TAACTACGAT ACGGGAGGGC TTACCATCTG GCCCCAGTGC TGCAATGATA CCGCGAGACC
CACGCTCACC GGCTCCAGAT TTATCAGCAA TAAACCAGCC AGCCGGAAGG GCGAGCGCA
GAAGTGGTCC TGCAACTTTA TCCGCCCTCA TCCAGTCTAT TAATTGTTGC CGGGAAAGCTA
GAGTAAGTAG TTCGCCAGTT AATAGTTGC GCAACGTGTT TGCCATTGCT ACAGGCATCG
TGGTGTCACT CTCGTCGTT GGTATGGCTT CATTCACTGC CGGTTCCCAA CGATCAAGGC
GAGTTACATG ATCCCCCATG TTGTGCAAAA AAGCGGTTAG CCTCCTTCGGT CCTCCGATCG
TTGTCAGAAC TAAGTTGGCC GCAGTGTAT CACTCATGGT TATGGCAGCA CTGCATAATT
CTCTTACTGT CATGCCATCC GTAAGATGCT TTTCTGTGAC TGGTGAGTAC TCAACCAAGT
CATTCTGAGA ATAGTGTATG CGGCGACCGA GTTGCTCTTG CCCGGCGTCA ATACGGATA
ATACCGCGCC ACATAGCAGA ACTTTAAAAG TGCTCATCAT TGAAAACGT TCTTCGGGC
GAAAACCTCTC AAGGATCTTA CCGCTGTTGA GATCCAGTTC GATGTAACCC ACTCGTGCAC
CCAACGTATC TTCAGCATCT TTTACTTCA CCAGCGTTTC TGGGTGAGCA AAAACAGGAA
GGCAAAATGC CGCAAAAAAG GGAATAAGGG CGACACGGAA ATGTTGAATA CTCATACTCT
TCTTTTTCA ATATTATTGA AGCATTATC AGGGTTATTG TCTCATGAGC GGATACATAT
TTGAATGTAT TTAGAAAAAT AAACAAATAG GGGTTCCCGC CACATTCCC CGAAAAGTGC
CACCTGACGT CTAAGAAACC ATTATTATCA TGACATTAAC CTATAAAAAT AGGCGTATCA
CGAGGCCCTT TCCTGCTCGC GCGTTCGGT GATGACGGTG AAAACCTCTG ACACATGCAG
CTCCCGGAGA CGGTACACAGC TTGTCGTAA CGGGATGCCG GGAGCAGACA AGCCGTCAG
GGCGCGTCAG CGGGTGTGG CGGGTGTCCG GGCTGGCTTA ACTATGCGGC ATCAGAGCAG
ATTGTACTGA GAGTGCACCA TATGCGGTGT GAAATACCGC ACAGATGCGT AAGGAGAAAA
TACCGCATCA GGAAATTGTA AACGTTAATA TTTGTTAAA ATTGCGTTA AATTTTGTT
AAATCAGCTC ATTTTTAAC CAATAGGCCG AAATCGGAA AATCCCTTAT AAATCAAAAG
AATAGACCGA GATAGGGTTG AGTGTGTTTC CAGTTGGAA CAAGAGTCCA CTATTAAGA
ACGTGGACTC CAACGTCAA GGGCGAAAAA CCGTCTATCA GGGCGATGGC CCACTACGTG
AACCATCACC CTAATCAAGT TTTTGGGGT CGAGGTGCCG TAAAGCACTA AATCGGAACC
CTAAAGGGAG CCCCCGATT AGAGCTTGAC GGGGAAAGCC GGCACGTG GCGAGAAAGG
AAGGGAAGAA AGCGAAAGGA GCGGGCGCTA GGGCGCTGGC AAGTGTAGCG GTCACGCTGC
GCGTAACCAC CACACCCGCC GCGCTTAATG CGCGCTACA GGGCGCGTCG CGCCATTGCG
CATTCAAGGCT ACGCAACTGT TGGGAAGGGC GATCGGTGCG GGCCTCTCG CTATTACGCC
AG

PCMV-Myc-p40rAUF1

CTGAAGAAC TGCTTAGGGT TAGGCGTTTT GCGCTGCTTC GCGATGTACG GGCCAGATAT
ACCGCGTTGAC ATTGATTATT GACTAGTTAT TAATAGTAAT CAATTACGGG GTCATTAGTT
CATAGCCCAT ATATGGAGTT CCGCGTTACA TAACTTACGG TAAATGGCCC GCCTGGCTGA
CCGCCCAACG ACCCCCCGCC ATTGACGTCA ATAATGACGT ATGTTCCCAT AGTAACGCCA
ATAGGGACTT TCCATTGACG TCAATGGGTG GACTATTAC GGTAAACTGC CCACTTGGCA
GTACATCAAG TGTATCATAT GCCAAGTACG CCCCCTATTG ACGTCAATGA CGGTAAATGG
CCCGCCTGGC ATTATGCCCA GTACATGACC TTATGGACT TTCTCTACTTG GCAGTACATC
TACGTATTAG TCATCGCTAT TACCATGGTG ATGCGTTTT GGCAGTACAT CAATGGCGT
GGATAGCGGT TTGACTCACG GGGATTCCA AGTCTCCACC CCATTGACGT CAATGGGAGT
TTGTTTGGC ACCAAAATCA ACGGGACTTT CCAAAATGTC GTAACAACTC CGCCCCATTG
ACGCAAATGG GCGGTAGGCG TGTACGGTGG GAGGTCTATA TAAGCAGAGC TCTCTGGCTA
ACTAGAGAAC CCACTGCTTA CTGGCTTATC GAAATTAATA CGACTCACTA TAGGGAGACC
CAAGCTTGGT ACCGAGCTCG GATCCACTAG TAACGGCCGC CAGCCATTGT GCTGCCACC
ATGGGAGAGC AGAAACTGAT CTCTGAAGAA GACCTGAACC CGGAATTCAAG CACT**ATGTCG**
GAGGAGCAGT TCGGAGGGGA CGGGCGGGCG CGGGCGGCCA CGGCAGCGGT AGGCGGCTCG
GCGGGCGAGC AGGAGGGAGC CATGGTGGCG CGGGCGCAGG GGGCAGCGGC GGCGCGGGGA
AGCGGGAGCG CGGGCGGCTC TGCGGCCGGA GGCACCGAAG GAGGCAGCAC CGAGGCAGAG
GGAGCGAAGA TCGACGCCAG TAAGAATGAG GAGGATGAAG GCCATTCAA CTCCTCCCCA

CGACACACTG AAGCAGCGAC GGCACAGCGG GAAGAATGGA AAAATGTTAT AGGAGGCCTT
AGCTGGGACA CCACAAAGAA AGACCTGAAG GACTACTTT CCAAATTGG GGACGTTGTA
GACTGCACTC TGAAGTTAGA TCCTATCACA GGGCGATCAA GGGGTTTG CTTTGTGCTA
TTTAAAGAGT CGGAGAGTGT AGATAAGGTC ATGGATCAGA AAGAACATAA ATTGAATGGG
AAAGTCATG ATCCTAAAAG GGCCAAAGCC ATGAAAACAA AAGAGCCCGT CAAAAAAATT
TTTGTGTTG GCCTTTCTCC AGACACACCT GAAGAAAAAA TAAGAGAGTA CTTTGGTGGT
TTTGGTGAGG TTGAATCCAT AGAGCTGCCT ATGGACAACA AGACCAATAA GAGGCGTGGG
TTCTGTTCA TTACCTTTAA GGAAGAGGAA CCAGTGAAGA AGATAATGGA GAAGAAATAC
CACAATGTTG GTCTTAGTAA ATGTGAAATA AAAGTAGCCA TGTGAGGAA GCAGTATCAG
CAGCAGCAGC AGTGGGGATC TAGAGGAGGG TTTGCAGGAA GAGCTCGGG AAGAGGCGGT
GATCAGCAGA GTGGTTATGG GAAAGTATCC AGACGAGGTG GTCATCAAAA TAGTACAAA
CCATACTAAG GATCTTATTA AAGCAGAACT TGTTTATTGC AGCTTATAAT GGTTACAAAT
AAAGCAATAG CATCACAAAT TTCACAAATA AAGCATTTTT TTCACTGCAT TCTAGTTGTG
GTTTGTCCAA ACTCATCAAT GTATCTTATC ATGTCTGGTC GACTCTAGAC TCTTCCGCTT
CCTCGCTCAC TGACTCGCTG CGCTCGGTG TTCGGCTGCG GCGAGCGGTG TCAGCTCACT
CAAAGGCGGT AATACGGTTA TCCACAGAAAT CAGGGGATAA CGCAGGAAAG AACATGTGAG
CAAAGGCCA GCAAAAGGCC AGGAACCGTA AAAAGGCCGC GTTGCTGGCG TTTTCCATA
GGCTCCGCCC CCCTGACGAG CATCACAAAA ATCGACGCTC AAGTCAGAGG TGGCGAAACC
CGACAGGACT ATAAAGATAC CAGGCGTTTC CCCCTGGAAG CTCCCTCGTG CGCTCTCCTG
TTCCGACCTC GCCGCTTACC GGATACCTGT CCGCCTTCT CCCTTCGGGA AGCGTGGCGC
TTTCTCAATG CTCACGCTGT AGGTATCTCA GTTCGGTGTGTA GGTGTTCGC TCCAAGCTGG
GCTGTGTGCA CGAACCCCCC GTTCAGCCCG ACCGCTGCCG CTTATCCGGT AACTATCGTC
TTGAGTCCAA CCCGGTAAGA CACGACTTAT CGCCACTGGC AGCAGCCACT GGTAACAGGA
TTAGCAGAGC GAGGTATGTA GGCGGTGTCA CAGAGTTCTT GAAGTGGTGG CCTAACTACG
GCTACACTAG AAGGACAGTA TTTGGTATCT GCGCTCTGCT GAAGCCAGTT ACCTTCGGAA
AAAGAGTTGG TAGCTCTTGA TCCGGAAAC AAACCACCGC TGGTAGCGGT GGTTTTTTG
TTTGAAGCA GCAGATTACG CGCAGAAAAA AAGGATCTCA AGAAGATCCT TTGATCTTT
CTACGGGGTC TGACGCTCAG TGGAACGAAA ACTCACGTTA AGGGATTTG GTCATGAGAT
TATCAAAAG GATCTTCACC TAGATCCTT TAAATTAAAA ATGAAGTTT AAATCAATCT
AAAGTATATA TGAGTAAACT TGGTCTGACA GTTACCAATG CTTAATCAGT GAGGCACCTA
TCTCAGCGAT CTGTCATTT CGTCATCCA TAGTTGCTG ACTCCCCGTC GTGTAGATAA
CTACGATAACG GGAGGGCTTA CCATCTGGCC CCAGTGTGCA AATGATACCG CGAGACCCAC
GCTCACCGGC TCCAGATTAA TCAGCAATAA ACCAGCCAGC CGGAAGGGCC GAGCGCAGAA
GTGGTCTGCA AACTTTATCC GCCTCCATCC AGTCTATTAA TTGTTGCCGG GAAGCTAGAG
TAAGTAGTTC GCCAGTTAAT AGTTGCGCA ACGTTGTTGC CATTGCTACA GGCATCGTGG
TGTCACTGTC GTCGTTGGT ATGGCTTCAT TCAGCTCCGG TTCCCAACGA TCAAGGCGAG
TTACATGATC CCCCATGTTG TGCAAAAAAG CGGTTAGCTC CTTCGGTCTT CCGATCGTTG
TCAGAAGTAA GTGGCCGCA GTGTTATCAC TCATGGTTAT GGCAGCACTG CATAATTCTC
TTACTGTCAT GCCATCCGTA AGATGCTTT CTGTGACTGG TGAGTACTCA ACCAAGTCAT
TCTGAGAATA GTGTATGCGG CGACCGAGTT GCTCTTGCCTT GGCCTCAATA CGGGATAATA
CCCGGCCACA TAGCAGAACT TAAAGTGC TCATCATGG AAAACGTTCT TCAGGGCGAA
AACTCTCAAG GATCTTACCG CTGTTGAGAT CCAGTTCGAT GTAACCCACT CGTGCACCCA
ACTGATCTC AGCATCTTT ACTTTCACCA GCGTTCTGG GTGAGCAAAA ACAGGAAGGC
AAAATGCCG AAAAAAGGG ATAAGGGCGA CACGGAAATG TTGAATACTC ATACTCTTCT
TTTTCAATA TTATTGAAGC ATTTATCAGG GTTATTGTC CATGAGCGGA TACATATTTG
AATGTATTAA GAAAAATAAA CAAATAGGG TTCCGCGCAC ATTCCCCGA AAAGTGCAC
CTGACGTCTA AGAAACCATT ATTATCATGA CATTAAACCTA TAAAAATAGG CGTATCACGA
GGCCCCTTC GTCTCGCGCG TTTCGGTGAT GACGGTGAAA ACCTCTGACA CATGCAGCTC
CCGGAGACGG TCACAGCTG TCTGTAAGCG GATGCCGGGA GCAGACAAGC CCGTCAGGGC
GCGTCAGCGG GTGTTGGCGG GTGTCGGGGC TGGCTTAACG ATGCGGCATC AGAGCAGATT
GTACTGAGAG TGCACCATAT GCGGTGTGAA ATACCGCACA GATGCGTAAG GAGAAAATAC
CGCATCAGGA AATTGTAAC GTTAATATTT TGTAAAATT CGCGTAAAT TTTGTTAAA

TCAGCTCATT TTTTAACCAA TAGGCCGAAA TCGGCAAAAT CCCTTATAAA TCAAAAGAAT
AGACCGAGAT AGGGTTGAGT GTTGTCCAG TTTGGAACAA GAGTCCACTA TTAAAGAACG
TGGACTCCAA CGTCAAAGGG CGAAAAACCG TCTATCAGGG CGATGGCCCA CTACGTGAAC
CATCACCCCA ATCAAGTTT TTGGGGTCGA GGTGCCGTAA AGCACTAAAT CGGAACCCCTA
AAGGGAGCCC CCGATTAGA GCTTGACGGG GAAAGCCGGC GAACGTGGCG AGAAAGGAAG
GGAAGAAAGC GAAAGGAGCG GGCCTAGGG CGCTGGCAAG TGTAGCGGTC ACGCTGCGCG
TAACCACCAC ACCCGCCGCG CTTAATGCGC CGCTACAGGG CGCGTCGCGC CATTGCCAT
TCAGGCTACG CAACTGTTGG GAAGGGCGAT CGGTGCGGGC CTCTTCGCTA TTACGCCAG

PCMV-Myc-p42rAUF1

CTGAAGAAC TGCTTAGGGT TAGGCGTTT GCGCTGCTTC GCGATGTACG GGCCAGATAT
ACCGCGTTGAC ATTGATTATT GACTAGTTAT TAATAGTAAT CAATTACGGG GTCATTAGTT
CATAGCCCAT ATATGGAGTT CCGCGTTACA TAACCTACGG TAAATGGCCC GCCTGGCTGA
CCGCCCAACG ACCCCCCGCC ATTGACGTCA ATAATGACGT ATGTTCCCAT AGTAACGCCA
ATAGGGACTT TCCATTGACG TCAATGGGTG GACTATTAC GGTAAACTGC CCACTTGGCA
GTACATCAAG TGTATCATAT GCCAAGTACG CCCCCTATTG ACGTCAATGA CGGTAAATGG
CCCGCCTGGC ATTATGCCCA GTACATGACC TTATGGACT TTCTCTACTTG GCAGTACATC
TACGTATTAG TCATCGCTAT TACCATGGTG ATGCGGTTTT GGCAGTACAT CAATGGCGT
GGATAGCGGT TTGACTCACG GGGATTCCA AGTCTCCACC CCATTGACGT CAATGGAGT
TTGTTTGGC ACCAAAATCA ACGGGACTTT CCAAAATGTC GTAACAACTC CGCCCCATTG
ACGAAATGG GCGGTAGGCG TGTACGGTGG GAGGTCTATA TAAGCAGAGC TCTCTGGCTA
ACTAGAGAAC CCACTGCTTA CTGGCTTATC GAAATTAAATA CGACTCACTA TAGGGAGACC
CAAGCTTGGT ACCGAGCTCG GATCCACTAG TAACGGCCGC CAGCCATTGT GCTGCCACC
ATGGGAGAGC AGAAACTGAT CTCTGAAGAA GACCTGAACC CCGAATTCA CACTATGTCG
GAGGAGCAGT **TCGGAGGGGA** CGGGCGGGCG CGGGCGGCCA CGCGGGCGGT AGGCGGCTCG
GCCGGCGAGC AGGAGGGAGC CATGGTGGCG CGGGCGCAGG GGGCAGCGGC GGCGCGGGGA
AGCGGGAGCG GCGGCGGCTC TGCGGCCGGA GGCACCGAAG GAGGCAGCAC CGAGGCAGAG
GGAGCGAAGA TCGACGCCAG TAAGAATGAG GAGGATGAAG GGAAATGTT TATAGGAGGC
CTTAGCTGGG ACACCACAAA GAAAGACCTG AAGGACTACT TTTCCAATT TGGGATGTT
GTAGACTGCA CTCTGAAGTT AGATCCTATC ACAGGGCGAT CAAGGGTTT TGGCTTTGTT
CTATTAAAG AGTCGGAGAG TGTAGATAAG GTCATGGATC AGAAAGAACAA TAAATTGAAT
GGGAAACTCA TTGATCCTAA AAGGCCAAA GCCATGAAAA CAAAGAGCC CGTCAAAAAAA
ATTTTGTG TGGGCCTTTC TCCAGACACA CCTGAAGAAA AAATAAGAGA GTACTTTGGT
GGTTTGGTG AGGTTGAATC CATAGAGCTG CCTATGGACA ACAAGACCAA TAAGAGGCGT
GGGTTCTGTT TCATTACCTT TAAGGAAGAG GAACCAGTGA AGAAGATAAT GGAGAAGAAA
TACCAACATG TTGGCTCTAG TAAATGTGAA ATAAAAGTAG CCATGTCGA GGAGCAGTAT
CAGCAGCAGC AGCAGTGGGG ATCTAGAGGA GGGTTGCAG GAAGAGCTCG CGGAAGAGGC
GGTGGCCCA GTCAAAACTG GAACCAGGGA TATAGTAACT ATTGGAACCA AGGCTATGGC
AGCTATGGAT ATAACAGCCA AGGGTACGGT GGTTATGGAG GATATGACTA CACTGGTTAC
AACAGCTACT ATGGATATGG TGACTATAGC AATCAGCAGA GTGGTTATGG GAAAGTATCC
AGACGAGGTG GTCATCAAAA TAGCTACAAA CCATACTAAG GATCTTATTA AAGCAGAACT
TGTTTATTGC AGCTTATAAT GGTTACAAT AAAGCAATAG CATCACAAAT TTCACAAATA
AAGCATTTC TTCACTGCAT TCTAGTTGTG GTTGTCAA ACTCATCAAT GTATCTTATC
ATGTCTGGTC GACTCTAGAC TCTTCCGCTT CCTCGCTCAC TGACTCGCTG CGCTCGGTG
TTCGGCTGCG GCGAGCGGT A TCAGCTCACT CAAAGGCGGT AATACGGTTA TCCACAGAAT
CAGGGGATAA CGCAGGAAAG AACATGTGAG CAAAAGGCCA GCAAAAGGCC AGGAACCGTA
AAAAGGCCG GTTGCTGGCG TTTTCCATA GGCTCCGCC CCCTGACGAG CATCACAAAA
ATCGACGCTC AAGTCAGAGG TGGCGAAACC CGACAGGACT ATAAAGATAC CAGGCCTTTC

CCCCTGGAAG CTCCCTCGTG CGCTCTCCTG TTCCGACCCCT GCCGCTTACC GGATACCTGT
CCGCCTTTCT CCCTCGGGA AGCGTGGCGC TTTCTCAATG CTCACGCTGT AGGTATCTCA
GTTCGGTGTA GGTCGTCGCG TCCAAGCTGG GCTGTGTGCA CGAACCCCCC GTTCAGCCCG
ACCGCTGCGC CTTATCCGGT AACTATCGTC TTGAGTCAA CCCGGTAAGA CACGACTTAT
CGCCACTGGC AGCAGCCACT GGTAACAGGA TTAGCAGAGC GAGGTATGTA GGCGGTGCTA
CAGAGTTCTT GAAGTGGTGG CCTAACTACG GCTACACTAG AAGGACAGTA TTTGGTATCT
GCGCTCTGCT GAAGCCAGTT ACCTTCGGAA AAAGAGTGG TAGCTCTTGA TCCGGCAAAC
AAACCACCGC TGGTAGCGGT GGTTTTTTG TTTGCAAGCA GCAGATTACG CGCAGAAAAAA
AAGGATCTCA AGAAGATCCT TTGATCTTT CTACGGGTC TGACGCTCAG TGGAACGAAA
ACTCACGTAA AGGGATTTG GTCATGAGAT TATCAAAAAG GATCTTCACC TAGATCCTT
TAAATTAAAA ATGAAGTTT AAATCAATCT AAAGTATATA TGAGTAAACT TGGTCTGACA
GTACCAATG CTTAATCAGT GAGGCACCTA TCTCAGCGAT CTGTCTATT CGTTCATCCA
TAGTTGCCTG ACTCCCCGTC GTGTAGATAA CTACGATACG GGAGGGCTTA CCATCTGGCC
CCAGTGTGC AATGATACCG CGAGACCCAC GCTCACCGGC TCCAGATTAA TCAGCAATAA
ACCAGCCAGC CGGAAGGGCC GAGCGCAGAA GTGGTCTGC AACTTTATCC GCCTCCATCC
AGTCTATTAA TTGTTGCCGG GAAGCTAGAG TAAGTAGTTC GCCAGTTAAAT AGTTGCGCA
ACGTTGTTGC CATTGCTACA GGCATCGTGG TGTACGCTC GTCGTTGGT ATGGCTTCAT
TCAGCTCCGG TTCCCAACGA TCAAGGCAG TTACATGATC CCCCATGTTG TGCAAAAAAG
CGGTTAGCTC CTTGGTCCT CCGATCGTT TCAGAAGTAA GTGGCCGCA GTGTTATCAC
TCATGGTTAT GGCAGCACTG CATAATTCTC TTACTGTCAT GCCATCCGTA AGATGCTTT
CTGTGACTGG TGAGTACTCA ACCAAGTCAT TCTGAGAATA GTGTATGCGG CGACCGAGTT
GCTCTTGCCC GGCGTCAATA CGGGATAATA CCGCGCCACA TAGCAGAACT TTAAAAGTGC
TCATCATTGG AAAACGTTCT TCGGGCGAA AACTCTCAAG GATCTTACCG CTGTTGAGAT
CCAGTTCGAT GTAACCCACT CGTGCACCCA ACTGATCTTC AGCATCTTT ACTTCACCA
GCGTTCTGG GTGAGCAAAA ACAGGAAGGC AAAATGCCGC AAAAAAGGGA ATAAGGGCGA
CACGGAAATG TTGAATACTC ATACTCTTCT TTTTCATAA TTATTGAAGC ATTATCATGG
GTTATTGTCT CATGAGCGGA TACATATTG AATGTATTTA GAAAATAAA CAAATAGGGG
TTCCCGCGCAC ATTTCCCCGA AAAGTGCCAC CTGACGTCTA AGAAAACCATT ATTATCATGA
CATTAACCTA TAAAAATAGG CGTATCACGA GGCCCTTTC GTCTCGCGCG TTTCGGTGAT
GACGGTGAAA ACCTCTGACA CATGCAGCTC CCGGAGACGG TCACAGCTT TCTGTAAGCG
GATGCCGGGA GCAGACAAGC CCGTCAGGGC GCGTCAGCGG GTGTTGGCGG GTGTCGGGGC
TGGCTTAACAT ATGCGGCATC AGAGCAGATT GTACTGAGAG TGCACCATAT GCGGTGTGAA
ATACCGCACA GATCGTAAAG GAGAAAATAC CGCATCAGGA AATTGTAAAC GTTAATATTT
TGTTAAAATT CGCGTTAAAT TTTTGTAAAT TCAGCTCATT TTTAACCAA TAGGCCGAAA
TCGGCAAAT CCCTTATAAA TCAAAAGAAT AGACCGAGAT AGGGTTGAGT GTTGTCCAG
TTTGGAACAA GAGTCCACTA TTAAAGAACG TGGACTCAA CGTCAAAGGG CGAAAAACCG
TCTATCAGGG CGATGGCCA CTACGTAAAC CATCACCTA ATCAAGTTT TTGGGGTCGA
GGTCCGTAA AGCACTAAAT CGGAACCTA AAGGGAGCCC CCGATTAGA GCTTGACGGG
GAAAGCCGGC GAACGTGGCG AGAAAGGAAG GGAAGAAAGC GAAAGGAGCG GGCGCTAGGG
CGCTGGCAAG TGTAGCGGTC ACGCTCGCG TAACCACCA ACCCGCCGCG CTTAATGCGC
CGCTACAGGG CGCGTCGCGC CATTGCCAT TCAGGCTACG CAACTGTTGG GAAGGGCGAT
CGGTGCGGGC CTCTTCGCTA TTACGCCAG

VECTORES PGEX4T-1 Y PGEX4T1-rAUF1

Regiones resaltadas en el texto:

Texto en rojo: Secuencia codificante para GST.

GAATTC: Sitio de corte de la enzima EcoRI.

Texto en azul y negritas: Marco de lectura de AUF1.

GTCGAC: Sitio de corte de la enzima Sall

PGEX4T-1

ACGTTATCGA CTGCACGGTG CACCAATGCT TCTGGCGTCA GGCAGCCATC GGAAGCTGTG
GTATGGCTGT GCAGGTCGTA AATCACTGCA TAATTCGTGT CGCTCAAGGC GCACCTCCGT
TCTGGATAAT GTTTTTGCG CCGACATCAT AACGGTTCTG GCAAATATTG TGAAATGAGC
TGTTGACAAT TAATCATCGG CTCGTATAAT GTGTGGAATT GTGAGCGGGAT AACAAATTCA
CACAGGAAAC AGTATTCA**ATG** TCCCCTATAC TAGGTTATTG **GAAAATTAAG** GGCCTGTGC
AACCCACTCG ACTTCTTTG GAATATCTTG AAGAAAAATA TGAAGAGCAT TTGTATGAGC
GCGATGAAGG TGATAATGG CGAAACAAAA AGTTGAATT GGGTTGGAG TTTCCAATC
TTCCTTATAA TATTGATGGT GATGTAAAT TAACACAGTC TATGGCCATC ATACGTTATA
TAGCTGACAA GCACAACATG TTGGGTGGTT GTCCAAAAGA GCGTGCAGAG ATTTCAATGC
TTGAAGGAGC GGTTTGGAT ATTAGATAACG GTGTTTCGAG AATTGCATAT AGTAAAGACT
TTGAAACTCT CAAAGTTGAT TTTCTTAGCA AGCTACCTGA AATGCTGAAA ATGTTCGAAG
ATCGTTATG TCATAAAACA TATTTAAATG GTGATCATGT AACCCATCCT GACTTCATGT
TGTATGACGC TCTTGATGTT GTTTTATACA TGGACCCAAT GTGCCTGGAT GCGTCCCCAA
AATTAGTTG TTTAAAAAAA CGTATTGAAG CTATCCCACA AATTGATAAG TACTTGAAAT
CCAGCAAGTA TATAGCATGG CCTTTGCAGG GCTGGCAAGC CACGTTGGT GGTGGCGACC
ATCCTCCAAA ATCGGATCTG GTTCCCGTGT GATCCCC**GA** ATT**CCCGGGT** CGACTCGAGC
GGCCGCATCG TGACTGACTG ACGATCTGCC TCGCGCGTT CGGTGATGAC GGTGAAAACC
TCTGACACAT GCAGCTCCCG GAGACGGTCA CAGCTTGTCT GTAAGCGGAT GCCGGGAGCA
GACAAGCCG TCAGGGCGCG TCAGCGGTG TTGGCGGGTG TCGGGGCGCA GCCATGACCC
AGTCACGTAG CGATAGCGGA GTGTATAATT CTTGAAGACG AAAGGGCCTC GTGATACGCC
TATTTTATAA GTTAAATGTC ATGATAATAA TGTTTCTTA GACGTCAGGT GGCACTTTC
GGGGAAATGT GCGCGGAACC CCTATTGTT TATTTTCTTA AATACATTCA AATATGTATC
CGCTCATGAG ACAATAACCC TGATAATGTC TTCAATAATA TTGAAAAGG AAGAGTATGA
GTATTCAACA TTTCCGTGTC GCCCTTATTG CCTTTTTGTC GGCATTTGTC CTTCTGTT
TTGCTCACCC AGAAACGCTG GTGAAAGTAA AAGATGCTGA AGATCAGTTG GGTGCACGAG
TGGGTTACAT CGAACTGGAT CTCAACAGCG GTAAGATCCT TGAGAGTTT CGCCCCGAAG
AACGTTTCC AATGATGAGC ACTTTAAAG TTCTGCTATG TGGCGCGGTAA TTATCCGTG
TTGACGCCGG GCAAGAGCAA CTCGGTCGCC GCATACACTA TTCTCAGAAAT GACTGGTTG
AGTACTCACC AGTCACAGAA AAGCATCTTA CGGATGGCAT GACAGTAAGA GAATTATGCA
GTGCTGCCAT AACCATGAGT GATAACACTG CGGCCAACTT ACTTCTGACA ACGATCGGAG
GACCGAAGGA GCTAACCGCT TTTTGACACA ACATGGGGGA TCATGTAAC CGCCTTGATC
GTTGGGAACC GGAGCTGAAT GAAGCCATAC CAAACGACGA GCGTGACACC ACGATGCCTG
CAGCAATGGC AACAACGTT CGCAAACAT TAATGGCGA ACTACTTACT CTAGCTTCCC
GGCAACAATT AATAGACTGG ATGGAGGCAGG ATAAAGTGC AGGACCACTT CTGCGCTCGG
CCCTTCCGGC TGGCTGGTT ATTGCTGATA AATCTGGAGC CGGTGAGCGT GGGTCTCGCG
GTATCATTGC AGCACTGGGG CCAGATGGTA AGCCCTCCCG TATCGTAGTT ATCTACACGA
CGGGGAGTCA GGCAACTATG GATGAACGAA ATAGACAGAT CGCTGAGATA GGTGCCTCAC
TGATTAAGCA TTGGTAACTG TCAGACCAAG TTTACTCATA TATACTTTAG ATTGATTAA
AACTTCATTG TTAATTAAA AGGATCTAGG TGAAGATCCT TTTTGATAAT CTCATGACCA
AAATCCCTTA ACGTGAGTTT TCGTCCACT GAGCGTCAGA CCCCGTAGAA AAGATCAAAG
GATCTTCTG AGATCCTTTT TTTCTGCGCG TAATCTGCTG CTTGCAAACA AAAAACCAC
CGCTACCAGC GGTGGTTGT TTGCGGATC AAGAGCTACC AACTCTTTT CCGAAGGTAA
CTGGCTTCAG CAGAGCGCAG ATACCAAATA CTGTCCTCT AGTGTAGCCG TAGTTAGGCC

ACCACTTCAA GAACTCTGTA GCACCGCCTA CATAACCTCGC TCTGCTAATC CTGTTACCAAG
TGGCTGCTGC CAGTGGCGAT AAGTCGTGTC TTACCGGGTT GGACTCAAGA CGATAGTTAC
CGGATAAGGC GCAGCGGTGCG GGCTGAACGG GGGGTTCGTG CACACAGCCC AGCTTGGAGC
GAACGACCTA CACCGAACTG AGATAACCTAC AGCGTGAGCT ATGAGAAAGC GCCACGCTTC
CCGAAGGGAG AAAGGCGGAC AGGTATCCGG TAAGCGGCAG GGTGGAAACA GGAGAGCGA
CGAGGGAGCT TCCAGGGGGA AACGCCTGGT ATCTTTATAG TCCTGTCGGG TTTGCCACC
TCTGACTTGA GCGTCGATT TTGTGATGCT CGTCAGGGGG GCGGAGCCTA TGGAAAAACG
CCAGCAACGC GGCCTTTTA CGGTTCTGG CCTTTGCTG GCCTTTGCTCACATGTTCT
TTCCTGCGTT ATCCCCTGAT TCTGTGGATA ACCGTATTAC CGCCTTTGAG TGAGCTGATA
CCGCTCGCCG CAGCCGAACG ACCGAGCGA GCGAGTCAGT GAGCGAGGAA GCGGAAGAGC
GCCTGATGCG GTATTTCTC CTTACGCATC TGTGCGGTAT TTCACACCGC ATAAATTCCG
ACACCATCGA ATGGTGAAA ACCTTCGCG GTATGGCATG ATAGCGCCCG GAAGAGAGTC
AATTCAAGGGT GGTGAATGTG AAACCAGTAA CGTTATACGA TGTGCGAGAG TATGCCGGTG
TCTCTTATCA GACCCTTCC CGCGTGGTGA ACCAGGCCAG CCACGTTCT GCGAAAACGC
GGGAAAAAGT GGAAGCGGCG ATGGCGGAGC TGAATTACAT TCCCAACCGC GTGGCACAAAC
AACTGGCGGG CAAACAGTCG TTGCTGATTG GCGTTGCCAC CTCCAGTCTG GCCCTGCACG
CGCCGTCGCA AATTGTCGCG GCGATTAAT CTCGCGCCGA TCAACTGGGT GCCAGCGTGG
TGGTGTGCGAT GGTAGAACGA AGCGCGTCG AAGCCTGTAA AGCGCGGGTG CACAATCTTC
TCGCGCAACG CGTCAGTGGG CTGATCATTAA ACTATCCGCT GGATGACCAG GATGCCATTG
CTGTGGAAGC TGCCTGCACT AATGTTCCGG CGTTATTCT TGATGTCTCT GACCAGACAC
CCATCAACAG TATTATTTTC TCCCATGAAG ACGGTACGCG ACTGGCGGTG GAGCATCTGG
TCGCATTGGG TCACCAGCAA ATCGCGCTGT TAGCGGGCCC ATTAAGTTCT GTCTCGGCC
GTCTGCGTCT GGCTGGCTGG CATAAATATC TCACTCGCAA TCAAATTCAAG CCGATAGCGG
AACGGGAAGG CGACTGGAGT GCCATGTCCG GTTTCAACA AACCATGCAA ATGCTGAATG
AGGGCATTGCT TCCCCACTGCG ATGCTGGTTG CCAACGATCA GATGGCGCTG GGCGCAATGC
GCGCCATTAC CGAGTCCGGG CTGCGCGTTG GTGCGGATAT CTCGGTAGTG GGATACGACG
ATACCGAAGA CAGCTCATGT TATATCCGC CGTTAACAC CATCAAACAG GATTTCGCC
TGCTGGGCA AACCAAGCGT GACCGCTTGC TGCAACTCTC TCAGGGCCAG GCGGTGAAGG
GCAATCAGCT GTTGCCCGTC TCACTGGTGA AAAGAAAAAC CACCCTGGCG CCCAATACGC
AAACCGCCTC TCCCCGCGCG TTGGCCGATT CATTATGCA GCTGGCACGA CAGGTTCCC
GACTGGAAAG CGGGCAGTGA GCGCAACGCA ATTAATGTGA GTTAGCTCAC TCATTAGGCA
CCCCAGGCTT TACACTTAT GCTTCCGGCT CGTATGTGT GTGGAATTGT GAGGGATAA
CAATTTCACA CAGGAAACAG CTATGACCAT GATTACGGAT TCACTGGCCG TCGTTTACA
ACGTCGTGAC TGGGAAAACC CTGGCGTTAC CCAACTTAAT CGCCTTGCAG CACATCCCC
TTTCGCCAGC TGGCGTAATA GCGAAGAGGC CCGCACCGAT CGCCCTTCCC AACAGTTGCG
CAGCCTGAAT GGCGAATGGC GCTTGCCTG GTTCCGGCA CCAGAAGCGG TGCCGGAAAG
CTGGCTGGAG TGCGATCTTC CTGAGGCCGA TACTGTCGTC GTCCCTCAA ACTGGCAGAT
GCACGGTTAC GATGCGCCA TCTACACCAA CGTAACCTAT CCCATTACGG TCAATCCGCC
GTTTGTTCAC AGGGAGAATC CGACGGTTG TTACTCGCTC ACATTTAATG TTGATGAAAG
CTGGCTACAG GAAGGCCAGA CGCGAATTAT TTTGATGGC GTTGBAATT

PGEX4T1-p37hAUF1

ACGTTATCGA CTGCACGGTG CACCAATGCT TCTGGCGTCA GGCAGCCATC GGAAGCTGTG
GTATGGCTGT GCAGGTCGTA AATCACTGCA TAATTCGTGT CGCTCAAGGC GCACTCCCGT
TCTGGATAAT GTTTTTGCG CCGACATCAT AACGGTTCTG GCAAATATTG TGAAATGAGC
TGTTGACAAT TAATCATCGG CTCGTATAAT GTGTGGAATT GTGAGCGGGAT AACAAATTCA
CACAGGAAAC AGTATTCATG TCCCCATAC TAGGTTATTG GAAAATTAAG GGCCTTGTGC
AACCCACTCG ACTTCTTTG GAATATCTG AAGAAAAATA TGAAGAGCAT TTGTATGAGC
GCGATGAAGG TGATAATGG CGAAACAAAA AGTTGAATT GGGTTGGAG TTTCCAATC

TTCCTTATTA TATTGATGGT GATGTAAAT TAACACAGTC TATGCCATC ATACGTTATA
TAGCTGACAA GCACAACATG TTGGTGGTT GTCCAAAAGA CGGTGCAGAG ATTTCAATGC
TTGAAGGAGC GGTTTGGAT ATTAGATACG GTGTTCGAG AATTGCATAT AGTAAAGACT
TTGAAACTCT CAAAGTTGAT TTTCTTAGCA AGCTACCTGA AATGCTGAAA ATGTCGAAG
ATCGTTATG TCATAAAAACA TATTAAATG GTGATCATGT AACCCATCCT GACTCATGT
TGTATGACGC TCTTGATGTT GTTTTATACA TGGACCCAAT GTGCCTGGAT GCGTCCCAA
AATTAGTTG TTTAAAAAAA CGTATTGAAG CTATCCCACA AATTGATAAG TACTTGAAT
CCAGCAAGTA TATAGCATGG CCTTGCAAG GCTGGCAAGC CACGTTGGT GGTGGCGACC
ATCCTCCAAA ATCGGATCTG GTTCCCGGTG GATCCCCGA ATTCAAGCACT ATGTCGGAGG
AGCAGTTCGG CGGGGACGGG CGGGCGGCAG CGGCAACGGC GGCCTGGGC GGCTCGGC
GCGAGCAGGA GGGAGCCATG GTGGCGCGA CACAGGGGC AGCGGCGGC GCGGAAGCG
GAGCCGGGAC CGGGGGCGGA ACCCGTCTG GAGGCACCGA AGGGGGCAGC GCCGAGTCGG
AGGGGGCGAA GATTGACGCC AGTAAGAACG AGGAGGATGA AGGGAAAATG TTTATAGGAG
GCCTTAGCTG GGACACTACA AAGAAAGATC TGAAGGACTA CTTTCCAAA TTTGGTGAAG
TTGTAGACTG CACTCTGAAG TTAGATCCTA TCACAGGGCG ATCAAGGGGT TTTGGCTTTG
TGCTATTAA AGAATCGGAG AGTGTAGATA AGGTCACTGAA TCAAAAAGAA CATAAATTGA
ATGGGAAGGT GATTGATCCT AAAAGGCCA AAGCCATGAA AACAAAAGAG CCGGTTAAAA
AAATTTTGTG TGGTGGCCTT TCTCCAGATA CACCTGAAGA GAAAATAAGG GAGTACTTTG
GTGGTTTTGG TGAGGTGGAA TCCATAGAGC TCCCCATGGA CAACAAGACC AATAAGAGGC
GTGGGTTCTG CTTTATTACC TTTAAGGAAG AAGAACCACT GAAGAAGATA ATGGAAAAGA
AATACCACAA TGTTGGCTT AGTAAATGTG AAATAAAAGT AGCCATGTG AAGGAACAAT
ATCAGCAACA GCAACAGTGG GGATCTAGAG GAGGATTGCA AGGAAGAGCT CGTGGAAAGAG
GTGGTACCA GCAGAGTGGT TATGGGAAGG TATCCAGCG AGGTGGTCAT CAAAATAGCT
ACAAACCATA CTAAGGATCT TATTAAAGCA GAACCTGTT ATTGCAGCTT ATAATGGTTA
CAAATAAACG AATAGCATCA CAAATTTCAC AAATAAAAGCA TTTTTTCAC TGCATTCTAG
TTGTGGTTG TCCAAACTCA TCAATGTATC TTATCATGTC TGTATCATGT CTGGTCACT
CGAGCGGCCG CATCGTACT GACTGACGAT CTGCCTCGCG CGTTCTGGTG ATGACGGTGA
AAACCTCTGA CACATGCAGC TCCCAGGAGAC GGTACAGCT TGTCTGTAAG CGGATGCCGG
GAGCAGACAA GCCCGTCAGG GCGCGTCAGC GGGTGGTGGC GGGTGTGGG GCGCAGCCAT
GACCCAGTCA CGTAGCGATA CGGGAGTGTGTA TAATTCTGAA AGACGAAAGG GCCTCGTGT
ACGCCTATT TTATAGGTT ATGTCATGAT AATAATGGTT TCTTAGACGT CAGGTGGCAC
TTTCGGGGA AATGTGCGCG GAACCCCTAT TTGTTTATT TTCTAAATAC ATTCAAATAT
GTATCCGCTC ATGAGACAAT AACCTGATA AATGCTCAA TAATATTGAA AAAGGAAGAG
TATGAGTATT CAACATTCC GTGTCGCCCT TATTCCCTT TTTGCGGCAT TTTGCCTTCC
TGTTTTGCT CACCCAGAAA CGCTGGTGAAG AGTAAAAGAT GCTGAAGATC AGTTGGGTGC
ACGAGTGGGT TACATCGAAC TGGATCTCAA CAGCGGTAAAG ATCCTTGAGA GTTTCGCCC
CGAAGAACGT TTTCCAATGA TGAGCACTTT TAAAGTTCTG CTATGTGGCG CGGTATTATC
CCGTGTTGAC GCCGGGCAAG AGCAACTCGG TCGCCGCATA CACTATTCTC AGAATGACTT
GGTTGAGTAC TCACCAAGTCA CAGAAAAGCA TCTTACGGAT GGCATGACAG TAAGAGAATT
ATGCAGTGTCT GCCATAACCA TGAGTGATAA CACTGCGGCC AACTTACTTC TGACAAAGAT
CGGAGGACCG AAGGAGCTAA CCGCTTTTT GCACAAACATG GGGGATCATG TAACTCGCCT
TGATCGTTGG GAACCGGAGC TGAATGAAGC CATAACAAAC GACGAGCGTG ACACCACGAT
GCCTGCAGCA ATGGCAACAA CGTTGCGCAA ACTATTAACG GGCAGACTAC TTACTCTAGC
TTCCCGGCAA CAATTAATAG ACTGGATGGA GGCAGGATAAA GTTGCAGGAC CACTCTGCG
CTCGGCCCTT CCGGCTGGCT GGTTTATTGC TGATAAAATCT GGAGCCGGTG AGCGTGGGT
TCGCGGTATC ATTGCAGCAC TGGGGCCAGA TGGTAAGCCC TCCCGTATCG TAGTTATCTA
CACGACGGGG AGTCAGGCAA CTATGGATGA ACGAAATAGA CAGATCGCTG AGATAGGTGC
CTCACTGATT AAGCATTGGT AACTGTCAGA CCAAGTTAC TCATATATAC TTTAGATTGA
TTAAGGACTT CATTGAGATC TTAAAGGAT CTAGGTGAAG ATCCTTTTG ATAATCTCAT
GACCAAAATC CCTTAACGTG AGTTTCGTT CCAGTGAGCG TCAGACCCCG TAGAAAAGAT
CAAAGGATCT TCTTGAGATC CTTTTTCT GCGCGTAATC TGCTGCTTGC AAACAAAAAA

ACCACCGCTA CCAGCGGTGG TTTGTTGCC GGATCAAGAG CTACCAACTC TTTTCCGAA
GGTAACGGC TTCAGCAGAG CGCAGATAAC AAATACTGTC CTTCTAGTGT AGCCGTAGTT
AGGCCACCAC TTCAAGAACT CTGTAGCACC GCCTACATAC CTCGCTCTGC TAATCCTGTT
ACCAGTGGCT GCTGCCAGTG GCGATAAGTC GTGTCTTACC GGGTTGGACT CAAGACGATA
GT TACCGGAT AAGGCGCAGC GGTGGGCTG AACGGGGGT TCGTGCACAC AGCCAGCTT
GGAGCGAACG ACCTACACCG AACTGAGATA CCTACAGCGT GAGCTATGAG AAAGGCCAC
GCTTCCCAGA GGGAGAAAGG CGGACAGGT A TCCGGTAAGC GGCAGGGTCG GAACAGGAGA
GCGCACGAGG GAGCTTCCAG GGGGAAACGC CTGGTATCTT TATAGTCCTG TCGGGTTTCG
CCACCTCTGA CTTGAGCGTC GATTTTGTG ATGCTCGTCA GGGGGGCGGA GCCTATGGAA
AAACGCCAGC AACGCGGCCT TTTTACGGTT CCTGGCCTT TGCTGGCCTT TTGCTCACAT
GTTCTTCCT GCGTTATCCC CTGATTCTGT GGATAACCCT ATTACCGCCT TTGAGTGAGC
TGATACCCTG CGCCGCAGCC GAACGACCGA GCGCAGCGAG TCAGTGAGCG AGGAAGCGGA
AGAGCGCCTG ATGCGGTATT TTCTCCTTAC GCATCTGTGC GGTATTTCAC ACCGCATAAA
TTCCGACACC ATCGAATGGT GCAAAACCTT TCGCGGTATG GCATGATAGC GCCCGGAAGA
GAGTCAATTC AGGGTGGTGA ATGTGAAACC AGTAACGTTA TACGATGTGC CAGAGTATGC
CGGTGTCTCT TATCAGACCG TTTCCCGGT GGTGAACCG GCCAGCCACG TTTCTGCAA
AACCGGGAA AAAGTGAAG CGGCGATGGC GGAGCTGAAT TACATTCCCA ACCCGTGGC
ACAACAAC TG CGGGCAAAC AGTCGTTGCT GATTGGCGTT GCCACCTCCA GTCTGGCCCT
GCACGCGCCG TCGCAAATTG TCGCGCGAT TAAATCTCGC GCCGATCAAC TGGGTGCCAG
CGTGGTGGTG TCGATGGTAG AACGAAGCGG CGTGAAGGCC TGTAAGCGG CGGTGCACAA
TCTTCTCGCG CAACCGTCA GTGGGCTGAT CATTAACTAT CCGCTGGATG ACCAGGATGC
CATTGCTGTG GAAGCTGCCT GCACTAATGT TCCGGCGTTA TTTCTTGATG TCTCTGACCA
GACACCCATC AACAGTATT A TTTCTCCCA TGAAGACGGT ACGCGACTGG GCGTGGAGCA
TCTGGTCGCA TTGGGTCA CC AGCAAATCGC GCTGTTAGCG GGCCCATTA GTTCTGTCTC
GGCGCGTCTG CGTCTGGCTG GCTGGCATAA ATATCTCACT CGCAATCAA TTCAGCCGAT
AGCGGAACGG GAAGGCGACT GGAGTCCAT GTCCGGTTT CAACAAACCA TGCAAATGCT
GAATGAGGGC ATCGTTCCCA CTGCGATGCT GTTGCACAC GATCAGATGG CGCTGGCGC
AATGCGCGCC ATTACCGAGT CCGGGCTGCG CGTTGGTGC GATATCTCGG TAGTGGGATA
CGACGATAAC GAAGACAGCT CATGTTATAT CCCGCCGTTA ACCACCATCA AACAGGATT
TCGCCTGCTG GGGCAAACCA GCGTGGACCG CTTGCTGCAA CTCTCTCAGG GCCAGGCGGT
GAAGGGCAAT CAGCTGTTGC CCGTCTCACT GGTGAAAAGA AAAACCACCC TGGGCCCAA
TACGCAAACC GCCTCTCCCC GCGCGTTGGC CGATTCTTA ATGCAGCTGG CACGACAGGT
TTCCCGACTG GAAAGCGGGC AGTGAGCGA ACGCAATTAA TGTGAGTTAG CTCACTCATT
AGGCACCCCA GGCTTTACAC TTTATGCTTC CGGCTCGTAT GTTGTGTGGA ATTGTGAGCG
GATAACAATT TCACACAGGA AACAGCTATG ACCATGATTA CGGATTCACT GGCGTCGTT
TTACAACGTC GTGACTGGGA AAACCCGGC GTTACCCAAAC TTAATCGCCT TGCAGCACAT
CCCCCTTCG CCAGCTGGCG TAATAGCGAA GAGGCCCGCA CCGATCGCCC TTCCCAACAG
TTGCGCAGCC TGAATGGCGA ATGGCGTTT GCCTGGTTTC CGGCACCAGA AGCGGTGCCG
GAAAGCTGGC TGGAGTGCAGA TCTTCTGAG GCCGATACTG TCGTCGTCCC CTCAAACCTGG
CAGATGCACG GTTACGATGC GCCCATCTAC ACCAACGTA CCTATCCCAT TACGGTCAAT
CCGCCGTTTG TTCCCACGGA GAATCCGACG GGTTGTTACT CGCTCACATT TAATGTTGAT
GAAAGCTGGC TACAGGAAGG CCAGACGCGA ATTATTTTG ATGGCGTTGG AATT

PGEX4T1-p45hAUF1

ACGTTATCGA CTGCACGGTG CACCAATGCT TCTGGCGTCA GGCAGCCATC GGAAGCTGTG
GTATGGCTGT GCAGGTGCGTA AATCACTGCA TAATTCGTGT CGCTCAAGGC GCACCTCCGT
TCTGGATAAT GTTTTTGCG CCGACATCAT AACGGTTCTG GCAAATATTG TGAAATGAGC
TGTTGACAAT TAATCATCGG CTCGTATAAT GTGTGGAATT GTGAGCGGAT AACAAATTCA
CACAGGAAAC AGTATTCA **TCCCCATAC TAGGTTATTG GAAAATTAAG GGCCTGTGC**

AACCCACTCG ACTTCTTTG GAATATCTTG AAGAAAAATA TGAAGAGCAT TTGTATGAGC
GCGATGAAGG TGATAAAATGG CGAACAAAAA AGTTGAATT GGGTTGGAG TTTCCAATC
TTCCTTATTA TATTGATGGT GATGTTAAAT TAACACAGTC TATGCCATC ATACGTTATA
TAGCTGACAA GCACAACATG TTGGTGGTT GTCCAAAAGA GCGTGCAGAG ATTTCAATGC
TTGAAGGAGC GGTTTGGAT ATTAGATAACG GTGTTCGAG AATTGCATAT AGTAAAGACT
TTGAAACTCT CAAAGTTGAT TTTCTTAGCA AGCTACCTGA AATGCTGAAA ATGTCGAAG
ATCGTTTATG TCATAAAAACA TATTAAATG GTGATCATGT AACCCATCCT GACTTCATGT
TGTATGACGC TCTTGATGTT GTTTATACA TGGACCCAAT GTGCCTGGAT GCGTCCCCAA
AATTAGTTG TTTAAAAAAA CGTATTGAAG CTATCCCACA AATTGATAAG TACTTGAAAT
CCAGCAAGTA TATAGCATGG CCTTGCAAGG GCTGGCAAGC CACGTTGGT GGTGGCGACC
ATCCTCCAAA ATCGGATCTG GTTCCCGTGT GATCCCCGA ATTCAAGCACT **ATGTCGGAGG**
AGCAGTTCGG CGGGGACGGG GCGGCGGCAG CGGCAACGGC GCGGGTAGGC GGCTCGCGG
GCGAGCAGGA GGGAGCCATG GTGGCGCGA CACAGGGGC AGCGGCGGGC GCAGGAAGCG
GAGCCGGGAC CGGGGGCGGA ACCCGTCTG GAGGCACCGA AGGGGGCAGC GCCGAGTCGG
AGGGGGCGAA GATTGACGCC AGTAAGAACG AGGAGGATGA AGGCCATTCA AACTCCTCCC
CACGACACTC TGAAGCAGCG ACGGCACAGC GGGAAAGAATG GAAAATGTTT ATAGGAGGCC
TTAGCTGGGA CACTACAAAG AAAGATCTGA AGGACTACTT TTCCAAATTG GGTGAAGTTG
TAGACTGCAC TCTGAAGTTA GATCCATCA CAGGGCGATC AAGGGGTTT GGCTTGTGC
TATTAAAGA ATCGGAGAGT GTAGATAAGG TCATGGATCA AAAAGAACAT AAATTGAATG
GGAAGGTGAT TGATCCTAAA AGGGCCAAAG CCATGAAAAC AAAAGAGCCG GTTAAAAAAA
TTTTTGTGG TGGCCTTTCT CCAGATACAC CTGAAGAGAA AATAAGGGAG TACTTGGTG
GTGGGGTGA GGTGGAATCC ATAGAGCTCC CCATGGACAA CAAGACCAAT AAGAGCGTG
GGTTCTGCTT TATTACCTTT AAGGAAGAAC AACCAGTGA GAAGATAATG GAAAAGAAAT
ACCACAATGT TGGTCTTAGT AAATGTGAAA TAAAAGTAGC CATGTCGAAG GAACAATATC
AGCAACAGCA ACAGTGGGG A TCTAGAGGAG GATTTGCAGG AAGAGCTCGT GGAAGAGGTG
GTGGCCCCAG TCAAAACTGG AACCAAGGAT ATAGTAACCA TTGGAATCAA GGCTATGGCA
ACTATGGATA TAACAGCCAA GGTTACGGTG GTTATGGAGG ATATGACTAC ACTGGTTACA
ACAACACTA TGGATATGGT GATTATAGCA ACCAGCAGAG TGGTTATGGG AAGGTATCCA
GGCGAGGTGG **TCATCAAAAT** AGCTACAAAC CATACTAAGG ATCTTATTAA AGCAGAACTT
GTTTATTGCA GCTTATAATG GTTACAAATA AAGCAATAGC ATCACAAATT TCACAAATAA
AGCATTTTT TCACTGCATT CTAGTTGTGG TTTGTCCAAA CTCATCAATG TATCTTATCA
TGTCTGTATC ATGTCTGGTC GACTCGAGCG GCCGCATCGT GACTGACTGA CGATCTGCCT
CGCGCGTTTC GGTGATGACG GTGAAAACCT CTGACACATG CAGCTCCGG AGACGGTCAC
AGCTTGTCTG TAAGCGGATG CCGGGAGCAG ACAAGCCGT CAGGGCGCGT CAGGGGTGT
TGGCGGGTGT CGGGGCGCAG CCATGACCCA GTCACGTAGC GATAGCGGAG TGTATAATT
TTGAAGACGA AAGGGCCTCG TGATACGCCT ATTTTATAG GTTAATGTCA TGATAATAAT
GGTTTCTTAG ACGTCAAGGTG GCACTTTCG GGGAAATGTG CGCGGAACCC CTATTGTTT
ATTTTCTAA ATACATTCAA ATATGTATCC GTCATGAGA CAATAACCT GATAAATGCT
TCAATAATAT TGAAAAGGA AGAGTATGAG TATTCAACAT TTCCGTGTG CCCTTATTCC
CTTTTTGCG GCATTTGCC TTCCTGTTT TGCTCACCA GAAACGCTGG TGAAAGTAAA
AGATGCTGAA GATCAGTTGG GTGCACGAGT GGGTTACATC GAACTGGATC TCAACAGCGG
TAAGATCCCT GAGAGTTTC GCCCCGAAGA ACGTTTCCA ATGATGAGCA CTTTAAAGT
TCTGCTATGT GGCGCGGTAT TATCCCGTGT TGACGCCGG CAAGAGCAAC TCGGTCGCCG
CATACACTAT TCTCAGAATG ACTTGGTTGA GTACTCACCA GTCACAGAAA AGCATCTTAC
GGATGGCATG ACAGTAAGAG AATTATGCAG TGCTGCCATA ACCATGAGTG ATAACACTGC
GGCCAACCTA CTTCTGACAA CGATCGGAGG ACCGAAGGAG CTAACCGCTT TTTGCACAA
CATGGGGGAT CATGTAACTC GCCTTGATCG TTGGGAACCG GAGCTGAATG AAGCCATACC
AAACGACGAG CGTGACACCA CGATGCCGT AGCAATGGCA ACAACGTTGC GCAAACATT
AACTGGCAA CTACTTACTC TAGCTCCCG GCAACAATTA ATAGACTGGA TGGAGGCGGA
TAAAGTTGCA GGACCACTTC TGCGCTCGGC CCTTCCGGCT GGCTGGTTA TTGCTGATAA
ATCTGGAGCC GGTGAGCGTG GGTCTCGCGT TATCATTGCA GCACTGGGGC CAGATGGTAA
GCCCTCCCGT ATCGTAGTTA TCTACACGAC GGGGAGTCAG GCAACTATGG ATGAACGAAA

TAGACAGATC GCTGAGATAG GTGCCTCACT GATTAAGCAT TGGTAACTGT CAGACCAAGT
TTACTCATAT ATACTTTAGA TTGATTAAA ACTTCATTT TAATTAAAAA GGATCTAGGT
GAAGATCCTT TTTGATAATC TCATGACCAA AATCCCTAA CGTGAGTTT CGTCCACTG
AGCGTCAGAC CCCGTAGAAA AGATCAAAGG ATCTTCTGA GATCCTTTT TTCTGCGCGT
AATCTGCTGC TTGCAAACAA AAAAACACC GCTACCAGCG GTGGTTTGT TGCGGGATCA
AGAGCTACCA ACTCTTTTC CGAAGGTAAC TGGCTTCAGC AGAGCGCAGA TACCAAATAC
TGTCCCTCTA GTGTAGCCGT AGTTAGGCCA CCACTTCAAG AACTCTGTAG CACCGCCTAC
ATACCTCGCT CTGCTAATCC TGTTACCAGT GGCTGCTGCC AGTGGCGATA AGTCGTGTCT
TACCGGGTTG GACTCAAGAC GATAGTTACC GGATAAGGCG CAGCGGTCGG GCTGAACGGG
GGGTTCGTGC ACACAGCCC GCTTGAGCG AACGACCTAC ACCGAACGTG GATAACCTACA
GCGTGAGCTA TGAGAAAGCG CCACGCTTCC CGAAGGGAGA AAGGCGGACA GGTATCCGGT
AAGCGGCAGG GTGCGAACAG GAGAGCGCAC GAGGGAGCTT CCAGGGGGAA ACGCCTGGTA
TCCTTATAGT CCTGTCGGGT TTCGCCACCT CTGACTTGAG CGTCGATT TTGTGATGCTC
GTCAGGGGGG CGGAGCCTAT GGAAAAACGC CAGCAACGCG GCCTTTTAC GGTTCTGGC
CTTTGCTGG CCTTTGCTC ACATGTTCTT TCCTGCGTTA TCCCCTGATT CTGTTGATAA
CCGTATTACC GCCTTGAGT GAGCTGATAC CGCTCGCCGC AGCCGAACGA CCGAGCGCAG
CGAGTCAGTG AGCGAGGAAG CGGAAGAGCG CCTGATGCCG TATTTCTCC TTACGCATCT
GTGCGGTATT TCACACCGCA TAAATTCCGA CACCATCGAA TGGTGCAAA CCTTCGCGG
TATGGCATGA TAGGCCCGG AAGAGAGTCA ATTCAAGGGTG GTGAATGTGA AACCAGTAAC
GTTATACGAT GTCGCAGAGT ATGCCGGTGT CTCTTATCAG ACCGTTTCCC GCGTGGTGA
CCAGGCCAGC CACGTTCTG CGAAAACGCG GGAAAAGTG GAAGCGGCGA TGGGGAGCT
GAATTACATT CCCAACCGCG TGGCACACA ACTGGCGGGC AAACAGTCGT TGCTGATTGG
CGTTGCCACC TCCAGTCTGG CCCTGCACGC GCCGTCGCAA ATTGTCGCGG CGATTAATC
TCGCGCCGAT CAACTGGGTG CCAGCGTGGT GGTGTCGATG GTAGAACGAA GCGGCGTCGA
AGCCTGTAAA GCGGCGGTGC ACAATCTCT CGCGCAACGC GTCAGTGGG TGATCATTAA
CTATCCGCTG GATGACCAGG ATGCCATTGC TGTGGAAGCT GCCTGCACTA ATGTTCCGGC
GTTATTCTT GATGTCCTG ACCAGACACC CATCAACAGT ATTATTTCT CCCATGAAGA
CGGTACGCGA CTGGCGTGG AGCATCTGGT CGCATTGGT CACCAGCAA TCGCGCTGTT
AGCGGGCCA TTAAGTCTG TCTCGCGCG TCTGCGTCTG GCTGGCTGGC ATAAATATCT
CACTCGCAAT CAAATTCAAGC CGATAGCGGA ACAGGGAAAGGC GACTGGAGTG CCATGTCCGG
TTTCAACAA ACCATGCAA TGCTGAATGA GGGCATCGTT CCCACTGCGA TGCTGGTTGC
CAACGATCAG ATGGCGCTGG CGCAATCGCG CGCCATTACC GAGTCCGGGC TGCGCGTTGG
TGC GGATATC TCGGTAGTGG GATACGACGA TACCGAAGAC AGCTCATGTT ATATCCGCC
GTTAACACC ACCAACAGG ATTTCGCCT GCTGGGGCAA ACCAGCGTGG ACCGCTTGCT
GCAACTCTCT CAGGGCCAGG CGGTGAAGGG CAATCAGCTG TTGCCCGTCACTGGTGA
AAGAAAAACC ACCCTGGCGC CCAATACGCA AACCGCCTCT CCCCAGCGGT TGGCCGATTC
ATTAATGCAG CTGGCACGAC AGGTTCCCG ACTGGAAAGC GGGCAGTGGAG CGCAACGCAA
TTAATGTGAG TTAGCTCACT CATTAGGCAC CCCAGGCTT ACACCTTATG CTTCCGGCTC
GTATGTTGTG TGGAATTGTG AGCGGATAAC AATTCACAC AGGAAACAGC TATGACCATG
ATTACGGATT CACTGGCCGT CGTTTACAA CGTCGTGACT GGGAAAACCC TGGCGTTACC
CAACTTAATC GCCTTGCGAGC ACATCCCCCT TTCGCCAGCT GGCAGTAATAG CGAAGAGGCC
CGCACCGATC GCCCTTCCCA ACAGTGCAGC AGCCTGAATG GCGAATGGCG CTTTGCTGG
TTTCCGGCAC CAGAACCGGT GCCGGAAAGC TGGCTGGAGT GCGATCTTCC TGAGGCCGAT
ACTGTCGTCG TCCCCCTCAA CTGGCAGATG CACGGTTACG ATGCGCCCAT CTACACCAAC
GTAACCTATC CCATTACGGT CAATCCGCCG TTTGTTCCCA CGGAGAATCC GACGGGTTGT
TACTCGCTCA CATTAAATGT TGATGAAAGC TGGCTACAGG AAGGCCAGAC GCGAATTATT
TTTGATGGCG TTGGAATT

PGEX4T1-p37rAUF1

ACGTTATCGA CTGCACGGTG CACCAATGCT TCTGGCGTCA GGCAGCCATC GGAAGCTGTG
GTATGGCTGT GCAGGTCGTA AATCACTGCA TAATTCTGT CGCTCAAGGC GCACCTCCGT
TCTGGATAAT GTTTTTGCG CCGACATCAT AACGGTTCTG GCAAATATTG TGAAATGAGC
TGTTGACAAT TAATCATCGG CTCGTATAAT GTGTGGAATT GTGAGCAGGAT AACAAATTCA
CACAGGAAAC AGTATTCA**TG** TCCCCTATAC TAGGTTATTG GAAAATTAAAG GGCCTGTGC
AACCCACTCG ACTTCTTTG GAATATCTTG AAGAAAAATA TGAAGAGCAT TTGTATGAGC
GCGATGAAGG TGATAAAATGG CGAAACAAAA AGTTGAATT GGGTTGGAG TTTCCAATC
TTCCTTATTA TATTGATGGT GATGTTAAAT TAACACAGTC TATGCCATC ATACGTTATA
TAGCTGACAA GCACAACATG TTGGGTGGTT GTCCAAAAGA GCGTGCAGAG ATTTCAATGC
TTGAAGGAGC GGTTTGGAT ATTAGATACG GTGTTTCGAG AATTGCATAT AGTAAAGACT
TTGAAACTCT CAAAGTTGAT TTTCTTAGCA AGCTACCTGA AATGCTGAAA ATGTCGAAG
ATCGTTATG TCATAAAACA TATTAAATG GTGATCATGT AACCCATCCT GACTTCATGT
TGTATGACGC TCTTGATGTT GTTTTATACA TGGACCCAAT GTGCCTGGAT GCGTCCCAA
AATTAGTTG TTTAAAAAA CGTATTGAAG CTATCCCACA AATTGATAAG TACTTGAAAT
CCAGCAAGTA TATAGCATGG CCTTTGCAGG GCTGGCAAGC CACGTTGGT GGTGGCGACC
ATCCTCCAAA ATCGGATCTG GTTCCCGGTG GATCCCCG**GA** ATTCA**G**ACT **ATGTCGGAGG**
AGCAGTTCGG AGGGGACGGG CGGGCGCGG CGGCAACGGC GGCGTAGGC GGCTCGCGG
GCGAGCAGGA GGGAGCCATG GTGGCGCGG CGCAGGGGGC AGCGGCGGCG GCGGGAAAGCG
GGAGCGCGG CGGCTCTGCG GCCGGAGGCA CGAAGGAGG CAGCACCGAG GCAGAGGGAG
CGAAGATCGA CGCCAGTAAG AATGAGGAGG ATGAAGGGAA AATGTTATA GGAGGCCTA
GCTGGGACAC CACAAAGAAA GACCTGAAGG ACTACTTTG CAAATTGGG GATGTTGTAG
ACTGCACTCT GAAGTTAGAT CCTATCACAG GGCGATCAAG GGGTTTGGC TTTGTGCTAT
TTAAAGAGTC GGAGAGTGTGATAAAGGTCA TGGATCAGAA AGAACATAAA TTGAATGGGA
AAGTCATTGATCCTAAAAGG GCCAAAGCCA TGAAACAAA AGAGCCCGTC **AAAAAAATTT**
TTGTTGGTGG CCTTTCTCCA GACACACCTG AAGAAAAAAAT AAGAGAGTAC TTTGGTGGTT
TTGGTGAGGT TGAATCCATA GAGCTGCCTA TGGACAACAA GACCAATAAG AGGGTGGGT
TCTGTTCAT TACCTTAAG GAAGAGGAAC CAGTGAAGAA GATAATGGAG AAGAAATACC
ACAATGTTGG TCTTAGTAAA TGTGAAATAA AAGTAGCCAT GTCGAAGGAG CAGTATCAGC
AGCAGCAGCA GTGGGGATCT AGAGGAGGTT TTGCAGGAAG AGCTCGCGGA AGAGCGGTG
ATCAGCAGAG TGGTTATGGG AAAGTATCCA GACGAGGTGG TCATCAA**AAAT AGCTACAAAC**
CATACTAAGG ATCTTATTAA AGCAGAACCT GTTTATTGCA GCTTATAATG GTTACAAATA
AAGCAATAGC ATCACAAATT TCACAAATAA AGCATTTTT TCACTGCATT CTAGTTGTGG
TTTGTCCAAA CTCATCAATG TATCTTATCA TGTCTG**CTCG** ACTCGAGCGG CCGCATCGT
ACTGACTGAC GATCTGCCTC GCGCGTTCG GTGATGACGG TGAAAACCTC TGACACATGC
AGCTCCCGGA GACGGTCACA GCTTGTCTGT AAGCGGATGC CGGGAGCAGA CAAGCCCGTC
AGGGCGCGTC AGCGGGTGTG GGCAGGTGTC GGGCGCAGC CATGACCCAG TCACGTAGCG
ATAGCGGAGT GTATAATTCT TGAAGACGAA AGGGCCTCGT GATACGCCTA TTTTTATAGG
TTAATGTCAT GATAATAATG GTTTCTTAGA CGTCAGGTGG CACTTTTCGG GGAAATGTGC
GCGGAACCCC TATTGTTA TTTTCTAAA TACATTAAA TATGTATCCG CTCATGAGAC
AATAACCCGT ATAAATGCTT CAATAATATT GAAAAGGAA GAGTATGAGT ATTCAACATT
TCCGTGTCGC CCTTATTCCC TTTTGTGCGG CATTTCGCT TCCTGTTTT GCTCACCCAG
AAACGCTGGT GAAAGTAAA GATGCTGAAG ATCAGTTGGG TGACAGAGTG GGTTACATCG
AACTGGATCT CAACAGCGGT AAGATCCTG AGAGTTTCG CCCCAGAAGAA CGTTTCCAA
TGATGAGCAC TTTAAAGTT CTGCTATGTG GCGCGGTATT ATCCCGTGT GACGCCGGC
AAGAGCAACT CGGTGCGCCGC ATACACTATT CTCAGAATGA CTTGGTTGAG TACTCACCAG
TCACAGAAA GCATCTTACG GATGGCATGA CAGTAAGAGA ATTATGCAGT GCTGCCATAA
CCATGAGTGA TAACACTGCG GCCAACTTAC TTCTGACAAC GATCGGAGGA CCGAAGGAGC
TAACCGCTT TTTGCACAAAC ATGGGGGATC ATGTAACTCG CTTGATCGT TGGGAACCAGG

AGCTGAATGA AGCCATACCA AACGACGAGC GTGACACCAC GATGCCTGCA GCAATGGCAA
CAACGTTGCG CAAACTATTAA ACTGGCGAAC TACTTACTCT AGCTTCCC GG CAACAATTAA
TAGACTGGAT GGAGGCGGAT AAAGTTGCAG GACCACTTCT GCGCTCGGCC CTTCCGGCTG
GCTGGTTTAT TGCTGATAAAA TCTGGAGCCG GTGAGCGTGG GTCTCGCGGT ATCATTGCAG
CACTGGGGCC AGATGGTAAG CCCTCCCGTA TCGTAGTTAT CTACACGACG GGGAGTCAGG
CAACTATGGA TGAACGAAAT AGACAGATCG CTGAGATAGG TGCCTCACTG ATTAAGCATT
GGTAACTGTC AGACCAAGTT TACTCATATA TACTTTAGAT TGATTAAAAA CTTCATTTTT
AATTAAAAG GATCTAGGTG AAGATCCTT TTGATAATCT CATGACCAAA ATCCCTAAC
GTGAGTTTC GTTCCACTGA GCGTCAGACC CCGTAGAAAAA GATCAAAGGA TCTTCTTGAG
ATCCTTTTT TCTGCGCGTA ATCTGCTGCT TGCAAACAAA AAAACCACCG CTACCAGCGG
TGGTTGTTT GCCGGATCAA GAGCTACCAA CTCTTTTCC GAAGGTAACT GGCTTCAGCA
GAGCGCAGAT ACCAAATACT GTCCTCTAG TGTAGCGTA GTTAGGCCAC CACTCAAGA
ACTCTGTAGC ACCGCCTACA TACCTCGCTC TGCTAACCT GTTACCAAGTG GCTGCTGCCA
GTGGCGATAA GTCGTGTCTT ACCGGGTTGG ACTCAAGACG ATAGTTACCG GATAAGGC
AGCGGTGCGG CTGAACGGGG GGTCTGTGCA CACAGCCAG CTTGGAGCGA ACGACCTACA
CCGAACGTAG ATACCTACAG CGTGAGCTAT GAGAAAGCGC CACGCTTCCC GAAGGGAGAA
AGGCGGACAG GTATCCGGTA AGCGGCAGGG TCGGAACAGG AGAGCGCACG AGGGAGCTC
CAGGGGAAA CGCCTGGTAT CTTTATAGTC CTGTCGGGTT TCGCCACCTC TGACTTGAGC
GTCGATTTT GTGATGCTCG TCAGGGGGC GGAGCCTATG GAAAAACGCC AGCAACGCC
CCTTTTACG GTTCCCTGGCC TTTTGTGGC CTTTGCTCA CATGTTCTT CCTCGTTAT
CCCCTGATTC TGTGGATAAC CGTATTACCG CTTTGAGTG AGCTGATACC GCTGCCCGCA
GCCGAACGAC CGAGCGCAGC GAGTCAGTGA GCGAGGAAGC GGAAGAGCGC CTGATGCGGT
ATTTCTCCT TACGCATCTG TGCAGTATT CACACCGCAT AAATTCCGAC ACCATCGAAT
GGTCAAAAC CTTCGCGGT ATGGCATGAT AGCGCCCGGA AGAGAGTCAA TTCAGGGTGG
TGAATGTGAA ACCAGTAACG TTATACGATG TCGCAGAGTA TGCCGGTGT TCTTATCAGA
CCGTTCCCG CGTGGTGAAC CAGGCCAGCC ACGTTCTGC GAAAACGCC GAAAAGTGG
AAGCGGCGAT GGCGGAGCTG AATTACATTC CCAACCGCGT GGCAACAACAA CTGGGGGCA
AACAGTCGTT GCTGATTGGC GTTGCCACCT CCAGTCTGGC CCTGCACGCG CCGTCGCAAA
TTGTCGCGC GATTAATCT CGCGCCGATC AACTGGGTGC CAGCGTGGT GTGTCGATGG
TAGAACGAAG CGCGCTCGAA GCCTGTAAAG CGCGGTGCA CAATCTTCTC GCGCAACGCG
TCAGTGGGCT GATCATTAAC TATCCGCTGG ATGACCAGGA TGCCATTGCT GTGGAAGCTG
CCTGCACTAA TGTTCCGGCG TTATTCTTG ATGTCCTGCA CCAGACACCC ATCAACAGTA
TTATTTCTC CCATGAAGAC GGTACCGAC TGGCGTGGG GCATCTGGC GCATTGGTC
ACCAGCAAAT CGCGCTGTTA GCGGGCCAT TAAGTTCTGT CTCGGCGCGT CTGCGTCTGG
CTGGCTGGCA TAAATATCTC ACTCGAATC AAATTAGCC GATAGCGGAA CGGAAAGGCG
ACTGGAGTGC CATGTCCGGT TTTCAACAAA CCATGAAAT GCTGAATGAG GGCATCGTTC
CCACTGCGAT GCTGGTTGCC AACGATCAGA TGGCGTGGG CGCAATGCGC GCCATTACCG
AGTCCGGGCT GCGCGTTGGT GCGGATATCT CGGTAGTGGG ATACGACGAT ACCGAAGACA
GCTCATGTA TATCCCGCCG TTAACCACCA TCAAACAGGA TTTTCGCCTG CTGGGGCAAA
CCAGCGTGA CCGCTGCTG CAACTCTCTC AGGGCCAGGC GGTGAAGGGC AATCAGCTGT
TGCCCCTC ACTGGTGAAA AGAAAAACCA CCCTGGCGCC CAATACGCAA ACCGCCTCTC
CCCGCGCGTT GGCGGATTCA TTAATGCAGC TGGCACGACA GGTTTCCCGA CTGGAAAGCG
GGCAGTGAGC GCAACGCAAT TAATGTGAGT TAGCTCACTC ATTAGGCACC CCAGGCTTTA
CACTTTATGC TTCCGGCTCG TATGTTGTGT GGAATTGTGA GCGGATAACA ATTCACACCA
GGAAACAGCT ATGACCATGA TTACGGATTG ACTGGCGTC GTTTTACAAC GTCGTGACTG
GGAAAACCTT GGC GTTACCC AACTTAATCG CCTTGAGCA CATCCCCCTT TCGCCAGCTG
GCGTAATAGC GAAGAGGCC GCACCGATCG CCCTTCCCAA CAGTTGCGCA GCCTGAATGG
CGAATGGCGC TTTGCCTGGT TTCCGGCACC AGAAGCGGTG CCGGAAAGCT GGCTGGAGTG
CGATCTTCTC GAGGCCGATA CTGTCGTCGT CCCCTCAAC TGGCAGATGC ACGGTTACGA
TGCGCCCATC TACACCAACG TAACCTATCC CATTACGGTC AATCCGCCGT TTGTTCCCAC
GGAGAATCCG ACGGGTTGTT ACTCGCTCAC ATTAAATGTT GATGAAAGCT GGCTACAGGA
AGGCCAGACG CGAATTATT TTGATGGCGT TGAATT

ANEXO II

ALINEAMIENTO DE SECUENCIAS

Secuencias de AUF1 obtenidas por PCR, utilizando como templado el ADNc de células PC12 (P26AUF1, p26A C28 y p26D C4) y las secuencias completas de AUF1 clonadas en el vector pSG5HA (C1,C2, C3 y C4) alineadas contra la secuencia reportada de p45rAUF1 y p37rAUF1. Para los alineamientos se utilizo el programa ClustalW.

Regiones destacadas en el texto:

GCC : Texto en rojo destacando el contenido de G y C en los exones 1 y 2.

---- : Texto resaltado en amarillo representa la región de tamaño variable ausente en los productos de PCR.

GATC : Texto resaltado en Gris representa los exones 2 y 7.

p37rAUF1	ATGT CGGAGGGAGCAGTT CGGAGGGACGGGGCGGGCGGC AACGGCGGCTAGGC	60
p45rAUF1	ATGT CGGAGGGAGCAGTT CGGAGGGACGGGGCGGGCGGC AACGGCGGCTAGGC	60
P26AUF	ATGT CGGAGGGAGCAGTT CGGAGGGACGGGGCGGGCGGC AACGGCGGCTAGGC	59
P26D C4	ATGT CGGAGGGAGCAGTT CGGAGGGACGGGGCGGGCGGC AACGGCGGCTAGGC	59
P26A C28	ATGT CGGAGGGAGCAGTT CGGAGGGACGGGGCGGGCGGC AACGGCGGCTAGGC	59
C1	ATGT CGGAGGGAGCAGTT CGGAGGGACGGGGCGGGCGGC -----	38
C2	ATGT CGGAGGGAGCAGTT CGGAGGGACGGGGCGGGCGGC -----	54
C3	ATGT CGGAGGGAGCAGTT CGGAGGGACGGGGCGGGCGGC AACGGCGGCTAGGC	59
C4	ATGT CGGAGGGAGCAGTT CGGAGGGACGGGGCGGGCGGC -----	23
p37rAUF1	GGCT CGGCGGGCGAGCAGGA GGGAGCCATGGTGGCGGCGCGAGGGGGCAGCGGCCG	120
p45rAUF1	GGCT CGGCGGGCGAGCAGGA GGGAGCCATGGTGGCGGCGCGAGGGGGCAGCGGCCG	120
P26AUF	-----	59
P26D C4	-----	59
P26A C28	-----	59
C1	-----	38
C2	-----	54
C3	-----	59
C4	-----	23
p37rAUF1	GC GGGAAAGCGGGAGCGGGCGGCT CTGCGGCCGGAGGCACCGAA GGAGGCAGCACCGAG	180
p45rAUF1	GC GGGAAAGCGGGAGCGGGCGGCT CTGCGGCCGGAGGCACCGAA GGAGGCAGCACCGAG	180
P26AUF	----- AGGCAGCACCGAG	72
P26D C4	----- AGGCAGCACCGAG	72
P26A C28	----- AGGCAGCACCGAG	72
C1	----- GGCGCTCTGCGGCCGGAGGCACCGAA GGAGGCAGCACCGAG	80
C2	----- AGGCAGCACCGAG	54
C3	----- AGGCAGCACCGAG	72
C4	-----	23

p37rAUF1	GCAGAGGGAGCGAAGATCGACGCCAGTAAGAATGAGGAGGATGAA GG-----	227
p45rAUF1	GCAGAGGGAGCGAAGATCGACGCCAGTAAGAATGAGGAGGATGAA GGCCATTCAAACCTCC	240
P26AUF	GCAGAGGGAGCGAAGATCGACGCCAGTAAGAATGAGGAGGATGAA GGCCATTCAAACCTCC	132
P26D C4	GCAGAGGGAGCGAAGATCGACGCCAGTAAGAATGAGGAGGATGAA GG-----	119
P26A C28	GCAGAGGGAGCGAAGATCGACGCCAGTAAGAATGAGGAGGATGAA GGCCATTCAAACCTCC	132
C1	GCAGAGGGAGCGAAGATCGACGCCAGTAAGAATGAGGAGGATGAA GGCCATTCAAACCTCC	140
C2	-----CATTCAAAACCTCC	66
C3	GCAGAGGGAGCGAAGATCGACGCCAGTAAGAATGAGGAGGATGAA GGCCATTCAAACCTCC	132
C4	-----CAGAGGGAGCGAAGATCGACGCCAGTAAGAATGAGGAGGATGAA GGCCATTCAAACCTCC	82

p37rAUF1	-----GAAAATGTTTATAGGA	243
p45rAUF1	TCCCCACGACACACTGAAGCAGCGACGGCAAGCGGGAAAGAATG GAAAATGTTTATAGGA	300
P26AUF	TCCCCACGACACACTGAAGCAGCGACGGCAAGCGGGAAAGAATG GAAAATGTTTATAGGA	192
P26D C4	-----GAAAATGTTTATAGGA	135
P26A C28	TCCCCACGACACACTGAAGCAGCGACGGCAAGCGGGAAAGAATG GAAAATGTTTATAGGA	192
C1	TCCCCACGACACACTGAAGCAGCGACGGCAAGCGGGAAAGAATG GAAAATGTTTATAGGA	200
C2	TCCCCACGACACACTGAAGCAGCGACGGCAAGCGGGAAAGAATG GAAAATGTTTATAGGA	126
C3	TCCCCACGACACACTGAAGCAGCGACGGCAAGCGGGAAAGAATG GAAAATGTTTATAGGA	192
C4	TCCCCACGACACACTGAAGCAGCGACGGCAAGCGGGAAAGAATG GAAAATGTTTATAGGA	142

p37rAUF1	GGCCTTAGCTGGGACACCACAAAGAACAGACCTGAAAGGACTACTTT TCCAAATTGGGAT	303
p45rAUF1	GGCCTTAGCTGGGACACCACAAAGAACAGACCTGAAAGGACTACTTT TCCAAATTGGGAC	360
P26AUF	GGCCTTAGCTGGGACACCACAAAGAACAGACCTGAAAGGACTACTTT TCCAAATTGGGAC	252
P26D C4	GGCCTTAGCTGGGACACCACAAAGAACAGACCTGAAAGGACTACTTT TCCAAATTGGGAC	195
P26A C28	GGCCTTAGCTGGGACACCACAAAGAACAGACCTGAAAGGACTACTTT TCCAAATTGGGAC	252
C1	GGCCTTAGCTGGGACACCACAAAGAACAGACCTGAAAGGACTACTTT TCCGAATTGGGAC	260
C2	GGCCTTAGCTGGGACACCACAAAGAACAGACCTGAAAGGACTACTTT TCCAAATTGGGAC	286
C3	GGCCTTAGCTGGGACACCACAAAGAACAGACCTGAAAGGACTACTTT TCCAAATTGGGAC	252
C4	GGCCTTAGCTGGGACACCACAAAGAACAGACCTGAAAGGACTACTTT TCCAAATTGGGAC	202

p37rAUF1	GTTGTAGACTGCACTCTGAAGTTAGATCCTATCACAGGGC GATCAAGGGGTTTG GGT TT	363
p45rAUF1	GTTGTAGACTGCACTCTGAAGTTAGATCCTATCACAGGGC GATCAAGGGGTTTG GGT TT	420
P26AUF	GTTGTAGACTGCACTCTGAAGTTAGATCCTATCACAGGGC GATCAAGGGGTTTG GGT TT	312
P26D C4	GTTGTAGACTGCACTCTGAAGTTAGATCCTATCACAGGGC GATCAAGGGGTTTG GGT TT	255
P26A C28	GTTGTAGACTGCACTCTGAAGTTAGATCCTATCACAGGGC GATCAAGGGGTTTG GGT TT	312
C1	GTTGTAGACTGCACTCGGAAGTTAGATCCTATCACAGGGC GATCAAGGGGTTTG GGT TT	320
C2	GTTGTAGACTGCACTCGGAAGTTAGATCCTATCACAGGGC GATCAAGGGGTTTG GGT TT	346
C3	GTTGTAGACTGCACTCTGAAGTTAGATCCTATCACAGGGC GATCAAGGGGTTTG GGT TT	312
C4	GTTGTAGACTGCACTCTGAAGTTAGATCCTATCACAGGGC GATCAAGGGGTTTG GGT TT	262

p37rAUF1	G TGCTATTTAAAGAGTCGGAGAGTG TAGATAAGGT CATGGATCAGAAAGAACATAAATTG	423
p45rAUF1	G TGCTATTTAAAGAGTCGGAGAGTG TAGATAAGGT CATGGATCAGAAAGAACATAAATTG	480
P26AUF	G TGCTATTTAAAGAGTCGGAGAGTG TAGATAAGGT CATGGATCAGAAAGAACATAAATTG	372
P26D C4	G TGCTATTTAAAGAGTCGGAGAGTG TAGATAAGGT CATGGATCAGAAAGAACATAAATTG	315
P26A C28	G TGCTATTTAAAGAGTCGGAGAGTG TAGATAAGGT CATGGATCAGAAAGAACATAAATTG	372
C1	G TGCTATTTAAAGAGTCGGAGAGTG TAGATAAGGT CATGGATCAGAAAGAACATAAATTG	380
C2	G TGCTATTTAAAGAGTCGGAGAGTG TAGATAAGGT CATGGATCAGAAAGAACATAAATTG	406
C3	G TGCTATTTAAAGAGTCGGAGAGTG TAGATAAGGT CATGGATCAGAAAGAACATAAATTG	372
C4	G TGCTATTTAAAGAGTCGGGGAGGTG TAGATAAGGT CATGGATCAGAAAGAACATAAATTG	322

p37rAUF1	AATGGGAAAGTCATTGATCTAAAAGGCCAAAGCCATGAAAACAAAGAGCCC GTCAA	483
p45rAUF1	AATGGGAAAGTCATTGATCTAAAAGGCCAAAGCCATGAAAACAAAGAGCCC GTCAA	540
P26AUF	AATGGGAAAGTCATTGATCTAAAAGGCCAAAGCCATGAAAACAAAGAGCCC GTCAA	432
P26D C4	AATGGGAAAGTCATTGATCTAAAAGGCCAAAGCCATGAAAACAAAGAGCCC GTCAA	375
P26A C28	AATGGGAAAGTCATTGATCTAAAAGGCCAAAGCCATGAAAACAAAGAGCCC GTCAA	432
C1	AATGGGAAAGTCATTGATCTAAAAGGCCAAAGCCATGAAAACAAAGAGCCC GTCAA	440
C2	AATGGGAAAGTCATTGATCTAAAAGGCCAAAGCCATGAAAACAAAGAGCCC GTCAA	466
C3	AATGGGAAAGTCATTGATCTAAAAGGCCAAAGCCATGAAAACAAAGAGCCC GTCAA	432
C4	AATGGGAAAGTCATTGATCTAAAAGGCCAAAGCCATGAAAACAAAGAGCCC GTCAA	382

p37rAUF1	AAAATT TTTGTTGGT GGCCT TTCTC CAGACACACC TGAAGAAAAATAAGAGAGTACTTT	543
p45rAUF1	AAAATT TTTGTTGGT GGCCT TTCTC CAGACACACC TGAAGAAAAATAAGAGAGTACTTT	600
P26AUF	AAAATT TTTGTTGGT GGCCT TTCTC CAGACACACC TGAAGAAAAATAAGAGAGTACTTT	492
P26D C4	AAAATT TTTGTTGGT GGCCT TTCTC CAGACACACC TGAAGAAAAATAAGAGAGTACTTT	435
P26A C28	AAAATT TTTGTTGGT GGCCT TTCTC CAGACACACC TGAAGAAAAATAAGAGAGTACTTT	492
C1	AAAATT TTTGTTGGT GGCCT TTCTC CAGACACACC TGAAGAAAAATAAGAGAGTACTTT	500
C2	AAAATT TTTGTTGGT GGCCT TTCTC CAGACACACC TGAAGAAAAATAAGAGAGTACTTT	526
C3	AAAATT TTTGTTGGT GGCCT TTCTC CAGACACACC TGAAGAAAAATAAGAGAGTACTTT	492
C4	AAAATT TTTGTTGGT GGCCT TTCTC CAGACACACC TGAAGAAAAATAAGAGAGTACTTT	442
p37rAUF1	GGTGGTTTGGTGAGGTTGAATCCA TAGAGCTGCC TATGGACAACAAAGACCAATAAGAGG	603
p45rAUF1	GGTGGTTTGGTGAGGTTGAATCCA TAGAGCTGCC TATGGACAACAAAGACCAATAAGAGG	660
P26AUF	GGTGGTTTGGTGAGGTTGAATCCA TAGAGCTGCC TATGGACAACAAAGACCAATAAGAGG	552
P26D C4	GGTGGTTTGGTGAGGTTGAATCCA TAGAGCTGCC TATGGACAACAAAGACCAATAAGAGG	495
P26A C28	GGTGGTTTGGTGAGGTTGAATCCA TAGAGCTGCC TATGGACAACAAAGACCAATAAGAGG	552
C1	GGTGGTTTGGTGAGGTTGAATCCA TAGAGCTGCC TATGGACAACAAAGACCAATAAGAGG	560
C2	GGTGGTTTGGTGAGGTTGAATCCA TAGAGCTGCC TATGGACAACAAAGACCAATAAGAGG	586
C3	GGTGGTTTGGTGAGGTTGAATCCA TAGAGCTGCC TATGGACAACAAAGACCAATAAGAGG	552
C4	GGTGGTTTGGTGAGGTTGAATCCA TAGAGCTGCC TATGGACAACAAAGACCAATAAGAGG	502
p37rAUF1	CGTGGGTTCCTGTTCATTACCTTAAGGAAGAGGAACCAGTGAAGAAGATAATGGAGAAG	663
p45rAUF1	CGTGGGTTCCTGTTCATTACCTTAAGGAAGAGGAACCAGTGAAGAAGATAATGGAGAAG	720
P26AUF	CGTGGGTTCCTGTTCATTACCTTAAGGAAGAGGAACCAGTGAAGAAGATAATGGAGAAG	612
P26D C4	CGTGGGTTCCTGTTCATTACCTTAAGGAAGAGGAACCAGTGAAGAGGATAATGGAGAAG	555
P26A C28	CGTGGGTTCCTGTTCATTACCTTAAGGAAGAGGAACCAGTGAAGAAGATAATGGAGAAG	612
C1	CGTGGGTTCCTGTTCATTACCTTAAGGAAGAGGAACCAGTGAAGAAGATAATGGAGAAG	620
C2	CGTGGGTTCCTGTTCATTACCTTAAGGAAGAGGAACCAGTGAAGAAGATAATGGAGAAG	646
C3	CGTGGGTTCCTGTTCATTACCTTAAGGAAGAGGAACCAGTGAAGAAGATAATGGAGAAG	612
C4	CGTGGGTTCCTGTTCATTACCTTAAGGAAGAGGAACCAGTGAAGAAGATAATGGAGAAG	562
p37rAUF1	AAATACCACAATGTTGGTCT TAGTAAATGT GAAATAAAAGTAGCCATGTCGAAGGAGCAG	723
p45rAUF1	AAATACCACAATGTTGGTCT TAGTAAATGT GAAATAAAAGTAGCCATGTCGAAGGAGCAG	780
P26AUF	AAATACCACAATGTTGGTCT TAGTAAATGT GAAATAAAAGTAGCCATGTCGAAGGAGCAG	672
P26D C4	AAATACCACAATGTTGGTCT TAGTAAATGT GAAATAAAAGTAGCCATGTCGAAGGAGCAG	615
P26A C28	AAATACCACAATGTTGGTCT TAGTAAATGT GAAATAAAAGTAGCCATGTCGAAGGAGCAG	672
C1	AAATACCACAATGTTGGTCT TAGTAAATGT GAAATAAAAGTAGCCATGTCGAAGGAGCAG	680
C2	AAATACCACAATGTTGGTCT TAGTAAATGT GAAATAAAAGTAGCCATGTCGAAGGAGCAG	706
C3	AAATACCACAATGTTGGTCT TAGTAAATGT GAAATAAAAGTAGCCATGTCGAAGGAGCAG	672
C4	AAATACCACAATGTTGGTCT TAGTAAATGT GAAATAAAAGTAGCCATGTCGAAGGAGCAG	622
p37rAUF1	TATCAGCAGCAGCAGCAGTGGGGATCTAGAGGAGGGTTGCAGGAAGAGCTCGCGGAAGA	783
p45rAUF1	TATCAGCAGCAGCAGCAGTGGGGATCTAGAGGAGGGTTGCAGGAAGAGCTCGCGGAAGA	840
P26AUF	TATCAGCAGCAGCAGCAGTGGGGATCTAGAGGAGGGTTGCAGGAAGAGCTCGCGGAAGA	732
P26D C4	TATCAGCAGCAGCAGCAGTGGGGATCTAGAGGAGGGTTGCAGGAAGAGCTCGCGGAAGA	675
P26A C28	TATCAGCAGCAGCAGCAGTGGGGATCTAGAGGAGGGTTGCAGGAAGAGCTCGCGGAAGA	732
C1	TATCAGCAGCAGCAGCAGTGGGGATCTAGAGGAGGGTTGCAGGAAGAGCTCGCGGAAGA	740
C2	TATCAGCAGCAGCAGCAGTGGGGATCTAGAGGAGGGTTGCAGGAAGAGCTCGCGGAAGA	766
C3	TATCAGCAGCAGCAGCAGTGGGGATCTAGAGGAGGGTTGCAGGAAGAGCTCGCGGAAGA	732
C4	TATCAGCAGCAGCAGCAGTGGGGATCTAGAGGAGGGTTGCAGGAAGAGCTCGCGGAAGA	682
p37rAUF1	GGCGGTG-----	790
p45rAUF1	GGCGGTGGCCCCAGTCAAAACTGGAACCGAGGGATA TAGTAAC TAT TGGAAACCAAGGCTAT	900
P26AUF	GGCGGTG-----	739
P26D C4	GGCGGTG-----	682
P26A C28	GGCGGTGGCCCCAGTCAAAACTGGAACCGAGGGATA TAGTAAC TAT TGGAAACCAAGGCTAT	792
C1	GGCGGTG-----	747
C2	GGCGGTG-----	773
C3	GGCGGTG-----	739
C4	GGCGGTG-----	689

p37rAUF1	-----	790
p45rAUF1	GGCAGCTATGGATATAACAGCCAAGGGTACGGTGGTTATGGAGGA	960
P26AUF	-----	739
P26D C4	-----	682
P26A C28	GGCAGCTATGGATATAACAGCCAAGGGTACGGTGGTTATGGAGGA	852
C1	-----	747
C2	-----	773
C3	-----	739
C4	-----	689

p37rAUF1	-----	ATCAGCAGAGTGGTTATGGGAAAGTA	816
p45rAUF1	TACAACAGCTACTATGGATA	TCAGCAGAGTGGTTATGGGAAAGTA	1020
P26AUF	-----	ATCAGCAGAGTGGTTATGGGAAAGTA	765
P26D C4	-----	ATCAGCAGAGTGGTTATGGGAAAGTA	708
P26A C28	TACAACAGCTACTATGGAT	TCAGCAGAGTGGTTATGGGAAAGTA	912
C1	-----	ATCAGCAGAGCGGTTATGGGAAAGTA	773
C2	-----	ATCAGCAGAGCGGTTATGGGAAAGTA	799
C3	-----	ATCAGCAGAGCGGTTATGGGAAAGTA	765
C4	-----	ATCAGCAGAGCGGTTATGGGAAAGTA	715

p37rAUF1	TCCAGACGAGGTGGTCATCAAAATAGCTACAAACCATACTAA	858
p45rAUF1	TCCAGACGAGGTGGTCATCAAAATAGCTACAAACCATACTAA	1062
P26AUF	TCCAGACGAGGTGGTCATCAAAATAGCTACAAACCATACTAA	807
P26D C4	TCCAGACGAGGTGGTCATCAAAATAGCTACAAACCATACTAA	750
P26A C28	TCCAGACGAGGTGGTCATCAAAATAGCTACAAACCATACTAA	954
C1	TCCAGACGAGGTGGTCATCAAAATAGCTACAAACCATACTAA	815
C2	TCCAGACGAGGTGGTCATCAAAATAGCTACAAACCATACTAA	841
C3	TCCAGACGAGGTGGTCATCAAAATAGCTACAAACCATACTAA	807
C4	TCCAGACGAGGTGGTCATCAAAATAGCTACAAACCATACTAA	757

REFERENCIAS BIBLIOGRAFICAS

1. DeMaria CT, Brewer G. *AUF1 binding affinity to A+U rich elements correlates with rapid mRNA degradation.* The journal of biological chemistry. 1996 May 24;271(21):12179-84
2. DeMaria CT, Sun Y, Long L, Wagner BJ, Brewer G. *Structural determinants in AUF1 required for high affinity binding to A+U rich elements.* The Journal of Biological Chemistry. 1997 Oct 31;272(44):27635-43
3. Wilson GM, Brewer G. *The search for trans-acting factors controlling messenger RNA decay.* Progress in acid nucleic research and molecular biology. 1999;62:257-91
4. Blaxall BC, Pende A, Wu SC, Port JD. *Correlation between intrinsic mRNA stability and the affinity of AUF1 (hnRNP D) and HuR for A+U rich mRNAs.* Molecular and cellular biochemistry. 2002 Mar;232(1-2):1-11
5. Burns C. Blaxall, Lori D. Dwyer-Nield, Alison K. Bauer, Teresa J. Bohlmeier, Alvin M. Malkinson y J. David Port. *Differential expression and localization of the mRNA Binding proteins, AU-rich element mRNA binding protein (AUF1) and Hu antigen R (HuR), in neoplastic lung tissue.* Mol Carcinog. 2000 Jun;28(2):76-83
6. Ines Rainieri, Daniel Wegmueller, Brigitte Gross, Ulrich Certa y Christoph Moroni. *Roles of AUF1 isoforms, HuR, BRF1 in ARE-dependent mRNA turnover studied by RNA interference.* Nucleic Acids Res. 2004 Feb 19;32(4):1279-88. Print 2004
7. Ashish Lal, Krystyna Mazan-Mamczarz, Tomoko Kawai, Xiaoling Yang, Jennifer L Martindale y Myriam Gorospe. *Current versus individual binding of HuR and AUF1 to common labile target mRNAs.* EMBO J. 2004 Aug 4;23(15):3092-102. Epub 2004 Jul 15.
8. Briata P, Ilengo Corte G, Moroni C, Rosenfeld MG, Chen CY, Gherzi R. *The wnt/B-catenin -> Pitx2 pathway controls the turnover of Pitx2 and other unstable mRNAs.* Mol Cell. 2003 Nov; 12(5):1201-11.
9. Roberto Gherzi, Michele Trabucchi, Marco Ponassi, Tina Ruggiero, Giorgio Corte, Christoph Moroni, Ching-Yi Chen, Khalid S. Khabar, Jens S. Andersen, Paola Briata. *The RNA-Binding Protein KSRP Promotes Decay of B-catenin mRNA and Is Inactivated by PI3K-AKT Signaling.* PLoS Biol. 2006 Dec;5(1):e5.
10. Tina Ruggiero, Michele Trabucchi, Marco Ponassi, Giorgio Corte, Ching-Yi Chen, Latifa al-Haj, Khalid SA Khabar, Paola Briata y Roberto Gherzi. *Identification of a set of KSRP target transcripts upregulated by PI3K-AKT signaling.* BMC Mol Biol. 2007 Apr 16;8:28.
11. He C, Schneider R. *14-3-3 sigma is a p37 auf1-binding protein that facilitates AUF1 transport and AU-rich mRNA decay.* EMBO J. 2006 Aug 23;25(16):3823-31.
12. Ikeda S., Kishida S., Yamamoto H., Murai H., Koyama S., Kikuchi A. *Axin, a negative regulator of the Wnt signaling pathway forms a complex with GSK-3beta and beta-catenin and promotes GSK-3beta-dependent phosphorylation of beta-catenin.* EMBO journal. 1998 Mar 2;17(5):1371-1384

13. Nakamura T., Hamada F., Ishidat T., Anai K., Kawahara K., Toyoshima K., Akiyama T. *Axin, inhibitor of the Wnt signalling pathway interacts with beta-catenin, GSK3beta and APC and reduces the beta-catenin level.* Genes to Cells 1998 Jun; 3(6):395-403
14. Hedgepeth C. M., Deardorff M. A., Rankin K., Klein P. S. *Regulation of glycogen synthase kinase-3beta and downstream Wnt signaling by Axin.* Molecular and Cellular Biology 1999 Oct; 19(10):7147-7157
15. Behrens J., J.P. Kries, M. Kuelh, L. Bruhn, D. Wedlich, R. Grossched and W. Birchmeier. *Functional interaction of B-catenin with the transcription factor Lef-1.* Nature 1996 382:638-642
16. Molenaar M., M van de Wetering, M. O. Osterwegel, J. Roose, O. Destree and H. Clevers. *XTcf-3 transcription factor mediates B-catenin induced axis formation in Xenopus embryos.* Cell 1996 86:391-399
17. Morin P.J., A. Sparks, V. Korinek, N. Barker, H. Clevers, B. Vogelstein and K. Kinzler. *Activation of B-catenin-Tcf signaling in colon cancer by mutations in B-catenin or APC.* Science 1997 275:1787-1790
18. Clarke A.R. *Wnt signaling in the mouse intestine.* Oncogene 2006 Dec 4 ;25(57):7512-7521
19. Pinto D., Gregorieff A., Begthel H., Clevers H. *Canonical Wnt signals are essential for homeostasis of the intestinal epithelium.* Genes & Development 2003 Jul 15;17(14): 1709-1713
20. Kuhnert F., Davis C.R., Wang H.T., Chu P., Lee M., Yuan J. Nusse R., Kuo C.J. *Essential requirement for Wnt signaling in proliferation of adult small intestine and colon revealed by adenoviral expression of Dickkopf-1.* PNAS USA. 2004 Jan 06:101(1):266-271
21. Renou J.P., Bierie B., Miyoshi K., Cui Y., Djiane J., Reichenstein M., Shani M., Hennighausen L. *Identification of genes differentially expressed in mouse epithelium transformed by an activated b-catenin.* Oncogene 2003 Jul 17;22(29):4594-4610
22. Polakis P. *Wnt signaling and cancer.* Genes & Development 2000 Aug 1;14(15):1837-1851
23. Brantjes H., Barker N., van Es J., Clevers H. TCF. *Lady Justice casting the final verdict on the outcome of Wnt signaling.* Biological chemistry 2002 Feb;383(2):255-261
24. Lin S.Y., Xia W., Wang J.C., Kwong K.Y., Spohn B., Wen Y., Pestel R.G., Hung M.C. Beta-catenin, a novel prognostic marker for breast cancer: its roles in Cyclin D1 expression and cancer progression. PNAS USA 2000 Apr 11;97(8):4262-4266
25. Chen C.Y., Gherzi R., Ong S.E., Chan E.L. Rajmakers R., Pruijn G.J., Stoecklin G., Moroni C., Mann M., Karim M. *AU binding proteins recruit the exosome to degrade ARE-containing mRNAs.* Cell 2001 Nov 16;107(4):451-464
26. Haile S., Estevez A.M., Clayton C. *A role for the exosome in the in vivo degradation of unstable mRNAs.* RNA 2003 Dec; 9(12):1491-1501

27. Zang W., Wagner B.J., Ehrenman K., Schaefer A.W., DeMaria C.T., Crater D., DeHaven K., Long L. Brewer G. *Purification, characterization and cDNA cloning of an AU-rich element RNA-binding protein, AUF1*. Mol Cell Biol 1993 Jun;13(12):7652-7665
28. Wagner B.J., Long L., Rao P.N., Pettenati M.J., Brewer G. *Localization and physical mapping of genes encoding the A+U-rich element RNA-binding protein AUF1 to human chromosomes 4 and X*. Genomics. 1996 Jun;1;34(2):219-222
29. Wagner B.J., DeMaria C.T., Sun Y., Wilson G.M., Brewer G. *Structure and genomic organization of the human AUF1 gene: alternative pre-mRNA splicing generates four protein isoforms*. Genomics. 1998 Mar;1;48(2):195-202
30. Laroia G., Schneider R.J. Alternate exon insertion controls selective ubiquitination and degradation of different AUF1 protein isoforms. Nucleic Acids Research 2002 Jul 15;30(14):3052-3058
31. Suzuki M., Iijima M., Nishimura A., Tomozoe Y., Kamei D., Yamada M. *Two separate regions essential for nuclear import of the hnRNP D nucleocytoplasmic shuttling sequence*. FEBS J. 2005 Aug;272(15):3975-3987
32. Sarkar B., Lu J.Y., Schneider R.J. *Nuclear import and export functions in different isoforms of the AUF1/heterogeneous nuclear ribonucleoprotein protein family*. J. Biol Chem Jun 6;278(23): 20700-20707
33. Arao Y., Kuriyama R., Kayama F. and Kato S. *A nuclear matrix-associated factor, SAF-B, interacts with specific isoforms of AUF1/hnRNP D*. Arch Biochem Biophys. 2000 Aug 15; 380(2):228-236.
34. Wilson G.M., Lu J., Sutphen K., Suarez Y., Sinha S., Brewer B., Villanueva-Feliciano E.C., Ysla R.M., Charles S., Brewer G. *Phosphorylation of p40AUF1 regulates binding to A + U-rich mRNA destabilizing elements and protein-induced changes in ribonucleoprotein structure*. J. Biol. Chem. 2003 Aug 29;278(35):33039-33048
35. Wilson G.M., Sutphen K., Chuang Ky., Brewer G. *Folding of A+U rich elements modulates AUF1 binding. Potential roles in regulation of mRNA turnover*. J. Biol. Chem. 2001 Mar 23;276(12):8095-8704
36. Wilson G.M., Sun Y., Sellers J., Lu H., Penkar N., Dillard G., Brewer G. *Regulation of AUF1 expression via conserved alternatively spliced elements in the 3' untranslated region*. Mol. Cell. Biol. 1999 Jun;19(6):4056-4064
37. Agarwal R.K. and Perl A. *PCR amplification of highly GC-rich template after denaturation by NaOH*. Nucleic Acids Research 1993 ;21(22):5283-5284
38. Musso M, Bocciardi R, Parodi S, Ravazzolo R, Ceccherini I. *Betaine, Dimethyl Sulfoxide, and 7-Deaza-dGTP, a Powerful Mixture for Amplification of GC-Rich DNA Sequences*. J Mol Diagn 2006;8:544-550
39. Chakravarti D, Mailander P. *Formation of Template-Switching Artifacts by Linear Amplification*. J Biomol Tech 2008;19:184-188

40. Patel R, Lin C, Laney M, Kurn N, Rose S, Ullman EF. *Formation of chimeric DNA primer extension products by template switching onto an annealed downstream oligonucleotide*. Proc Natl Acad Sci USA 1996;93:2969-2974
41. Odelberg SJ, Weiss RB, Hata A, White R. *Template-switching during DNA synthesis by Thermos aquaticus DNA polymerase I*. Nucleic Acids Res 1995;23:2049-2057